

本資料のうち、枠囲みの内容は営業秘密又は防護上の観点から公開できません。

| | |
|------------------|-----------------|
| 東海第二発電所 工事計画審査資料 | |
| 資料番号 | 補足-60-1 改 43 |
| 提出年月日 | 平成 30 年 6 月 1 日 |

東海第二発電所

工事計画に係る説明資料

(V-1-1-2-2 津波への配慮に関する説明書)

平成 30 年 6 月

日本原子力発電株式会社

改定履歴

| 改定 | 改定日 (提出年月日) | 改定内容 |
|-----|----------------|--|
| 改0 | H30.2.5 | <ul style="list-style-type: none"> ・新規制定 ・「6.1.3 止水機構に関する補足説明」を新規作成し、追加 |
| 改1 | H30.2.7 | <ul style="list-style-type: none"> ・「1.1 潮位観測記録の考え方について」及び「1.3 港湾内の局所的な海面の励起について」を新規作成し、追加 |
| 改2 | H30.2.8 | <ul style="list-style-type: none"> ・改0の「6.1.3 止水機構に関する補足説明」を改定 |
| 改3 | H30.2.9 | <ul style="list-style-type: none"> ・改1に、「1.6 SA用海水ピットの構造を踏まえた影響の有無の検討」を新規作成し、追加（「1.1 潮位観測記録の考え方について」及び「1.3 港湾内の局所的な海面の励起について」は、変更なし） |
| 改4 | H30.2.13 | <ul style="list-style-type: none"> ・改3の内、「1.1 潮位観測記録の考え方について」及び「1.3 港湾内の局所的な海面の励起について」を改定（「1.6 SA用海水ピットの構造を踏まえた影響の有無の検討」は、変更なし） |
| 改5 | H30.2.13 | <ul style="list-style-type: none"> ・「5.11 浸水防護施設の設計における評価対象断面の選定について」及び「5.17 強度計算における津波時及び重畳時の荷重作用状況について」を新規作成し、追加 |
| 改6 | H30.2.15 | <ul style="list-style-type: none"> ・「5.7 自然現象を考慮する浸水防護施設の選定について」及び「5.19 津波荷重の算出における高潮の考慮について」を新規作成し、追加 |
| 改7 | H30.2.19 | <ul style="list-style-type: none"> ・改6に、「5.1 地震と津波の組合せで考慮する荷重について」を新規作成し、追加（「5.7 自然現象を考慮する浸水防護施設の選定について」及び「5.19 津波荷重の算出における高潮の考慮について」は、変更なし） |
| 改8 | H30.2.19 | <ul style="list-style-type: none"> ・「5.9 浸水防護施設の評価に係る地盤物性値及び地質構造について」及び「5.14 防潮堤止水ジョイント部材及び鋼製防護壁止水シールについて」を新規作成し、追加 |
| 改9 | H30.2.22 | <ul style="list-style-type: none"> ・改8の「5.9 浸水防護施設の評価に係る地盤物性値及び地質構造について」を改定（「5.14 防潮堤止水ジョイント部材及び鋼製防護壁止水シールについて」は、変更なし） |
| 改10 | H30.2.23 | <ul style="list-style-type: none"> ・改2の「6.1.3 止水機構に関する補足説明」を改定 |
| 改11 | H30.2.27 | <ul style="list-style-type: none"> ・「4.1 設計に用いる遡上波の流速について」及び「5.4 津波波力の選定に用いた規格・基準類の適用性について」を新規作成し、追加 |
| 改12 | H30.3.1 | <ul style="list-style-type: none"> ・「1.2 遡上・浸水域の評価の考え方について」、「1.4 津波シミュレーションにおける解析モデルについて」、「4.2 漂流物による影響確認について」、「5.2 耐津波設計における現場確認プロセスについて」及び「5.6 浸水量評価について」を新規作成し、追加 ・改4の内、「1.6 SA用海水ピットの構造を踏まえた影響の有無の検討」を改定 |
| 改13 | H30.3.6 | <ul style="list-style-type: none"> ・改12の内、「1.6 SA用海水ピットの構造を踏まえた影響の有無の検討」を改定 |
| 改14 | H30.3.6 | <ul style="list-style-type: none"> ・改5の内、「5.11 浸水防護施設の設計における評価対象断面の選定について」を改定（「5.11 浸水防護施設の設計における評価対象断面の選定について」のうち、「5.11.5 鋼管杭鉄筋コンクリート防潮壁」を新規作成） ・改9の内、「5.14 防潮堤止水ジョイント部材及び鋼製防護壁止水シールについて」を改定 |

| 改定 | 改定日 (提出年月日) | 改定内容 |
|------|----------------|---|
| 改 15 | H30. 3. 9 | <ul style="list-style-type: none"> 資料番号を「補足-60」→「補足-60-1」に変更（改定番号は継続） 改 7 の内、「5. 7 自然現象を考慮する浸水防護施設の選定について」を改定 改 10 の「6. 1. 3 止水機構に関する補足説明」を改定 |
| 改 16 | H30. 3. 12 | <ul style="list-style-type: none"> 改 14 の内、「5. 14 防潮堤止水ジョイント部材及び鋼製防護壁止水シールについて」を改定 |
| 改 17 | H30. 3. 22 | <ul style="list-style-type: none"> 改 15 の内、「6. 1. 3 止水機構に関する補足説明」を改定 |
| 改 18 | H30. 3. 30 | <ul style="list-style-type: none"> 「1. 5 入力津波のパラメータスタディの考慮について」、「3. 1 砂移動による影響確認について」、「6. 5. 1 防潮扉の設計に関する補足説明」及び「放水路ゲートに関する補足説明」を新規作成し追加 改 17 の「6. 1. 3 止水機構に関する補足説明」を改定 |
| 改 19 | H30. 4. 3 | <ul style="list-style-type: none"> 改 18 の「6. 1. 3 止水機構に関する補足説明」を改定 |
| 改 20 | H30. 4. 4 | <ul style="list-style-type: none"> 改 11 の内「4. 1 設計に用いる遡上波の流速について」を改定 「5. 10 浸水防護施設の強度計算における津波荷重、余震荷重及び漂流物荷重の組合せについて」を新規作成し追加 |
| 改 21 | H30. 4. 6 | <ul style="list-style-type: none"> 改 11 の内「5. 4 津波波力の選定に用いた規格・基準類の適用性について」を改定 改 16 の内「5. 14 防潮堤止水ジョイント部材及び鋼製防護壁シール材について」を改定（「5. 14 防潮堤止水ジョイント部材及び鋼製防護壁シール材について」のうち「5. 14. 2 鋼製防護壁シール材について」を新規作成） |
| 改 22 | H30. 4. 6 | <ul style="list-style-type: none"> 「6. 9. 2 逆止弁を構成する各部材の評価及び機能維持の確認方法について」を新規作成し追加 |
| 改 23 | H30. 4. 10 | <ul style="list-style-type: none"> 改 18 の「6. 5. 1 防潮扉の設計に関する補足説明」及び「6. 6. 1 放水路ゲートに関する補足説明」を改訂 改 21 の「6. 1. 3 止水機構に関する補足説明」を改定 |
| 改 24 | H30. 4. 11 | <ul style="list-style-type: none"> 改 5 の内、「5. 11 浸水防護施設の設計における評価対象断面の選定について」を改定（「5. 11 浸水防護施設の設計における評価対象断面の選定について」のうち、「5. 11. 4 防潮堤（鉄筋コンクリート防潮壁（放水路エリア）」を改定） 改 14 の内、「5. 11 浸水防護施設の設計における評価対象断面の選定について」を改定（「5. 11 浸水防護施設の設計における評価対象断面の選定について」のうち、「5. 11. 5 鋼管杭鉄筋コンクリート防潮壁」を改定） 改 20 の内、「4. 1 設計に用いる遡上波の流速について」を改定 「5. 15 東海発電所の取放水路の埋戻の施工管理要領について」を新規作成し追加 「6. 2. 1 鉄筋コンクリート防潮壁の設計に関する補足説明」を新規作成し追加 「6. 3. 1 鉄筋コンクリート防潮壁（放水路エリア）の設計に関する補足説明」を新規作成し追加 「6. 4. 1 鋼管杭鉄筋コンクリート防潮壁の設計に関する補足説明」を新規作成し追加 「6. 8. 1 貯留堰の設計に関する補足説明」を新規作成し追加 |
| 改 25 | H30. 4. 12 | <ul style="list-style-type: none"> 改 23 の「6. 1. 3 止水機構に関する補足説明」を改定 |
| 改 26 | H30. 4. 13 | <ul style="list-style-type: none"> 改 12 の内、「4. 2 漂流物による影響確認について」及び「5. 6 浸水量評価について」を改定 |
| 改 27 | H30. 4. 18 | <ul style="list-style-type: none"> 改 25 の「6. 1. 3 止水機構に関する補足説明」を改定 |

| 改定 | 改定日 (提出年月日) | 改定内容 |
|------|----------------|--|
| 改 28 | H30. 4. 19 | <ul style="list-style-type: none"> ・改 5 の内, 「5. 11 浸水防護施設の設計における評価対象断面の選定について」を改定(「5. 11. 7 防潮扉」を改定) ・改 24 の内, 「4. 1 設計に用いる遡上波の流速について」を改定 ・改 21 の内, 「5. 4 津波波力の選定に用いた規格・基準類の適用性について」 ・「5. 13 スロッシングによる貯留堰貯水量に対する影響評価について」を新規作成し, 追加 ・「5. 18 津波に対する止水性能を有する施設の評価について」を新規作成し, 追加 ・「6. 5. 1 防潮扉の設計に関する補足説明」(土木)を新規作成し, 追加 ・「6. 8. 2 貯留堰取付護岸に関する補足説明」を新規作成し, 追加 |
| 改 29 | H30. 4. 19 | <ul style="list-style-type: none"> ・改 18 の内, 「1. 5 入力津波のパラメータスタディの考慮について」を改定 |
| 改 30 | H30. 4. 27 | <ul style="list-style-type: none"> ・H30. 4. 23 時点での最新版一式として, 改 29 (H30. 4. 19) までの最新版をとりまとめ, 一式版を作成 |
| 改 31 | H30. 4. 26 | <ul style="list-style-type: none"> ・改 28 の内, 「4. 1 設計に用いる遡上波の流速について」を改定 ・改 28 の内, 「5. 4 津波波力の選定に用いた規格・基準類の適用性について」 ・改 5 の内, 「5. 11 浸水防護施設の設計における評価対象断面の選定について」を改定(「5. 11. 2 防潮堤(鋼製防護壁)」, 「5. 11. 3 防潮堤(鉄筋コンクリート防潮壁)」を改定) ・「6. 12 止水ジョイント部の相対変位量に関する補足説明」を新規作成し, 追加 ・「6. 13 止水ジョイント部の漂流物対策に関する補足説明」を新規作成し, 追加 |
| 改 32 | H30. 5. 1 | <ul style="list-style-type: none"> ・改 31 の内, 「4. 1 設計に用いる遡上波の流速について」を改定 ・「5. 9 浸水防護施設の評価に係る地盤物性値及び地質構造について」を削除し, 5. 9 以降の番号を繰り上げ ・改 5 の内, 「5. 10 浸水防護施設の設計における評価対象断面の選定について」を改定(「5. 10. 8 構内排水路逆流防止設備」を改定) ・改 21 の内, 「5. 13 防潮堤止水ジョイント部材及び鋼製防護壁シール材について」を改定(「5. 13. 2 鋼製防護壁シール材について」を改定) ・「6. 1. 1. 1 鋼製防護壁の耐震計算書に関する補足説明」を新規作成し, 追加 ・「6. 7. 1. 1 構内排水路逆流防止設備の耐震計算書に関する補足説明」を新規作成し, 追加 |
| 改 33 | H30. 5. 7 | <ul style="list-style-type: none"> ・改 5 の内, 「5. 16 強度計算における津波時及び重畳時の荷重作用状況について」を改定 ・「6. 2. 1. 2 鉄筋コンクリート防潮壁の強度計算書に関する補足説明資料」を新規作成し, 追加 ・「6. 3. 1. 2 鉄筋コンクリート防潮壁(放水路エリア)の強度計算書に関する補足説明」を新規作成し, 追加 ・「6. 4. 1. 2 鋼管杭鉄筋コンクリート防潮壁の強度計算書に関する補足説明」を新規作成し, 追加 ・「6. 8. 1. 2 貯留堰の強度計算書に関する補足説明」を新規作成し, 追加 |

| 改定 | 改定日 (提出年月日) | 改定内容 |
|------|----------------|---|
| 改 34 | H30. 5. 7 | <ul style="list-style-type: none"> ・改 27 の「6. 1. 3 止水機構に関する補足説明」を改定 ・「6. 7. 1 構内排水路逆流防止設備の設計に関する補足説明」を新規作成し、追加 |
| 改 35 | H30. 5. 14 | <ul style="list-style-type: none"> ・改 34 の「6. 1. 3 止水機構に関する補足説明」を改定 止水機構の実証試験の記載等について適正化 |
| 改 36 | H30. 5. 17 | <ul style="list-style-type: none"> ・「5. 19 許容応力度法における許容限界について」を新規追加 ・「6. 1. 1. 2 鋼製防護壁の強度計算書に関する補足説明」を新規作成し、追加 ・「6. 5. 1. 2 防潮扉の強度計算書に関する補足説明」を新規作成し、追加 |
| 改 37 | H30. 5. 17 | <ul style="list-style-type: none"> ・改 4 の内、「1. 1 潮位観測記録の考え方について」及び「1. 3 港湾内の局所的な海面の励起について」を改定 ・改 18 の内、「3. 1 砂移動による影響確認について」を改定 ・「6. 9. 1 浸水防止蓋, 水密ハッチ, 水密扉, 逆止弁及び貫通部止水処置の設計に関する補足説明」に名称を変更 |
| 改 38 | H30. 5. 18 | <ul style="list-style-type: none"> ・改 24 の内、「5. 10 浸水防護施設の設計における評価対象断面の選定について」を改定（「5. 10. 5 防潮堤（鋼管杭鉄筋コンクリート防潮壁）」を改定） ・改 31 の内、「5. 10 浸水防護施設の設計における評価対象断面の選定について」を改定（「5. 10. 3 防潮堤（鉄筋コンクリート防潮壁）」を改定） ・改 31 の内、「6. 12 止水ジョイント部の相対変位量に関する補足説明」を改定 |
| 改 39 | H30. 5. 22 | <ul style="list-style-type: none"> ・改 35 の「6. 1. 3 止水機構に関する補足説明」を改定 止水機構の解析結果及び実証試験結果について記載を追記。 ・改 34 「6. 7. 1 構内排水路逆流防止設備の設計に関する補足説明」を改訂 |
| 改 40 | H30. 5. 25 | <ul style="list-style-type: none"> ・「6. 9. 1 浸水防止蓋, 水密ハッチ, 水密扉, 逆止弁及び貫通部止水処置の設計に関する補足説明」を新規作成し、追加 ・改 22 の「6. 9. 2 逆止弁を構成する各部材の評価及び機能維持の確認方法について」を改定 |
| 改 41 | H30. 5. 29 | <ul style="list-style-type: none"> ・改 40 の「6. 9. 1 浸水防止蓋, 水密ハッチ, 水密扉, 逆止弁及び貫通部止水処置の設計に関する補足説明」を改定 |
| 改 42 | H30. 5. 31 | <ul style="list-style-type: none"> ・改 5 の内、「5. 10 浸水防護施設の設計における評価対象断面の選定について」を改定（「5. 10. 6 貯留堰及び貯留堰取付護岸」を改定） ・改 24 の内、「6. 4. 1. 1 鋼管杭鉄筋コンクリート防潮壁の耐震計算書に関する補足説明」を改定 ・改 24 の内、「6. 8. 1. 1 貯留堰の耐震計算書に関する補足説明」を改定 ・改 28 の内、「5. 12 スロッシングによる貯留堰貯水量に対する影響評価について」を改定 |
| 改 43 | H30. 6. 1 | <ul style="list-style-type: none"> ・改 41 の「6. 9. 1 浸水防止蓋, 水密ハッチ, 水密扉, 逆止弁及び貫通部止水処置の設計に関する補足説明」を改定 |

下線は、今回提出資料を示す。

目 次

[]内は、当該箇所を提出
(最新)したときの改訂を示
す。

1. 入力津波の評価
 - 1.1 潮位観測記録の考え方について[改 37 H30. 5. 17]
 - 1.2 遡上・浸水域の評価の考え方について[改 12 H30. 3. 1]
 - 1.3 港湾内の局所的な海面の励起について[改 37 H30. 5. 17]
 - 1.4 津波シミュレーションにおける解析モデルについて[改 12 H30. 3. 1]
 - 1.5 入力津波のパラメータスタディの考慮について[改 29 H30. 4. 19]
 - 1.6 SA用海水ピットの構造を踏まえた影響の有無の検討[改 13 H30. 3. 6]
2. 津波防護対象設備
 - 2.1 津波防護対象設備の選定及び配置について
3. 取水性に関する考慮事項
 - 3.1 砂移動による影響確認について[改 37 H30. 5. 17]
 - 3.2 海水ポンプの波力に対する強度評価について
 - 3.3 電源喪失による除塵装置の機能喪失に伴う取水性の影響について
4. 漂流物に関する考慮事項
 - 4.1 設計に用いる遡上波の流速について[改 32 H30. 5. 1]
 - 4.2 漂流物による影響確認について[改 26 H30. 4. 13]
 - 4.3 漂流物衝突力について
5. 設計における考慮事項
 - 5.1 地震と津波の組合せで考慮する荷重について[改 7 H30. 2. 19]
 - 5.2 耐津波設計における現場確認プロセスについて[改 12 H30. 3. 1]
 - 5.3 強度計算に用いた規格・基準について
 - 5.4 津波波力の選定に用いた規格・基準類の適用性について[改 31 H30. 4. 26]
 - 5.5 津波防護施設のアンカーの設計に用いる規格・基準類の適用性について
 - 5.6 浸水量評価について[改 26 H30. 4. 13]
 - 5.7 自然現象を考慮する浸水防護施設の選定について[改 15 H30. 3. 9]
 - 5.8 浸水防護に関する施設の機能設計・構造設計に係る許容限界について
 - 5.9 浸水防護施設の強度計算における津波荷重、余震荷重及び漂流物荷重の組合せについて[改 20 H30. 4. 4]
 - 5.10 浸水防護施設の設計における評価対象断面の選定について
 - 5.10.1 概要[改 5 H30. 2. 13]
 - 5.10.2 防潮堤（鋼製防護壁）[改 31 H30. 4. 26]
 - 5.10.3 防潮堤（鉄筋コンクリート防潮壁）[改 38 H30. 5. 18]
 - 5.10.4 防潮堤（鉄筋コンクリート防潮壁（放水路エリア））[改 24 H30. 4. 11]
 - 5.10.5 防潮堤（鋼管杭鉄筋コンクリート防潮壁）[改 38 H30. 5. 18]
 - 5.10.6 貯留堰及び貯留堰取付護岸[改 42 H30. 5. 31]
 - 5.10.7 防潮扉[改 28 H30. 4. 19]
 - 5.10.8 構内排水路逆流防止設備[改 32 H30. 5. 1]

- 5.11 浸水防護施設の評価における衝突荷重，風荷重及び積雪荷重について
- 5.12 スロッシングによる貯留堰貯水量に対する影響評価について[改 42 H30. 5. 31]
- 5.13 防潮堤止水ジョイント部材及び鋼製防護壁シール材について
 - 5.13.1 防潮堤止水ジョイント部材について[改 16 H30. 3. 19]
 - 5.13.2 鋼製防護壁シール材について[改 32 H30. 5. 1]
- 5.14 東海発電所の取放水路の埋戻の施工管理要領について[改 24 H30. 4. 11]
- 5.15 地殻変動後の基準津波襲来時における海水ポンプの取水性への影響について
- 5.16 強度計算における津波時及び重畳時の荷重作用状況について[改 33 H30. 5. 7]
- 5.17 津波に対する止水性能を有する施設の評価について[改 28 H30. 4. 19]
- 5.18 津波荷重の算出における高潮の考慮について[改 7 H30. 2. 19]
- 5.19 許容応力度法における許容限界について[改 36 H30. 5. 17]

[]内は，当該箇所を提出
(最新)したときの改訂を示
す。

6. 浸水防護施設に関する補足資料

- 6.1 鋼製防護壁に関する補足説明
 - 6.1.1 鋼製防護壁の設計に関する補足説明
 - 6.1.1.1 鋼製防護壁の耐震計算書に関する補足説明[改 32 H30. 5. 1]
 - 6.1.1.2 鋼製防護壁の強度計算書に関する補足説明[改 36 H30. 5. 17]
 - 6.1.2 鋼製防護壁アンカーに関する補足説明
 - 6.1.3 止水機構に関する補足説明[改 39 H30. 5. 22]
- 6.2 鉄筋コンクリート防潮壁に関する補足説明
 - 6.2.1 鉄筋コンクリート防潮壁の設計に関する補足説明
 - 6.2.1.1 鉄筋コンクリート防潮壁の耐震計算書に関する補足説明資料[改 24 H30. 4. 11]
 - 6.2.1.2 鉄筋コンクリート防潮壁の強度計算書に関する補足説明資料[改 33 H30. 5. 7]
 - 6.2.2 フラップゲートに関する補足説明
- 6.3 鉄筋コンクリート防潮壁（放水路エリア）に関する補足説明
 - 6.3.1 鉄筋コンクリート防潮壁（放水路エリア）の設計に関する補足説明
 - 6.3.1.1 鉄筋コンクリート防潮壁（放水路エリア）の耐震計算書に関する補足説明[改 24 H30. 4. 11]
 - 6.3.1.2 鉄筋コンクリート防潮壁（放水路エリア）の強度計算書に関する補足説明[改 33 H30. 5. 7]
- 6.4 鋼管杭鉄筋コンクリート防潮壁に関する補足説明
 - 6.4.1 鋼管杭鉄筋コンクリート防潮壁の設計に関する補足説明
 - 6.4.1.1 鋼管杭鉄筋コンクリート防潮壁の耐震計算書に関する補足説明[改 42 H30. 5. 31]
 - 6.4.1.2 鋼管杭鉄筋コンクリート防潮壁の強度計算書に関する補足説明[改 33 H30. 5. 7]
- 6.5 防潮扉に関する補足説明
 - 6.5.1 防潮扉の設計に関する補足説明[改 23 H30. 4. 10]
 - 6.5.1.1 防潮扉の耐震計算書に関する補足説明[改 28 H30. 4. 19]（土木）
 - 6.5.1.2 防潮扉の強度計算書に関する補足説明[改 36 H30. 5. 17]
- 6.6 放水路ゲートに関する補足説明
 - 6.6.1 放水路ゲートの設計に関する補足説明[改 23 H30. 4. 10]

- 6.7 構内排水路逆流防止設備に関する補足説明
 - 6.7.1 構内排水路逆流防止設備の設計に関する補足説明[改 39 H30. 5. 22]
 - 6.7.1.1 構内排水路逆流防止設備の耐震計算書に関する補足説明[改 32 H30. 5. 1]
 - 6.7.1.2 構内排水路逆流防止設備の強度計算書に関する補足説明
- 6.8 貯留堰に関する補足説明
 - 6.8.1 貯留堰の設計に関する補足説明
 - 6.8.1.1 貯留堰の耐震計算書に関する補足説明[改 42 H30. 5. 31]
 - 6.8.1.2 貯留堰の強度計算書に関する補足説明[改 33 H30. 5. 7]
 - 6.8.2 貯留堰取付護岸に関する補足説明[改 28 H30. 4. 19]
- 6.9 浸水防護設備に関する補足説明
 - 6.9.1 浸水防止蓋, 水密ハッチ, 水密扉, 逆止弁及び貫通部止水処置の設計に関する補足説明[改 43 H30. 6. 1]
 - 6.9.2 逆止弁を構成する各部材の評価及び機能維持の確認方法について[改 40 H30. 5. 25]
 - 6.9.3 津波荷重(突き上げ)の強度評価における鉛直方向荷重の考え方について
- 6.10 津波監視設備に関する補足説明
 - 6.10.1 津波監視カメラの設計に関する補足説明
 - 6.10.2 取水ピット水位計及び潮位計の設計に関する補足説明
 - 6.10.3 加振試験の条件について
 - 6.10.4 津波監視設備の設備構成及び電源構成について
- 6.11 耐震計算における材料物性値のばらつきの影響に関する補足説明
- 6.12 止水ジョイント部の相対変位量に関する補足説明[改 38 H30. 5. 18]
- 6.13 止水ジョイント部の漂流物対策に関する補足説明[改 31 H30. 4. 26]

[]内は、当該箇所を提出
(最新)したときの改訂を示
す。

6.9 浸水防護設備に関する補足説明

6.9.1 浸水防止蓋，水密ハッチ，水密扉，逆止弁及び貫通部止水処置の設計に関する補足説明

(1) 概要

本資料は，浸水防護施設のうち浸水防止蓋，水密ハッチ，水密扉，逆止弁及び貫通部止水処置の耐震計算及び強度計算の詳細について説明するものであり，耐震計算に当たっては，添付資料V-2-1-9「機能維持の基本方針」にて設定している構造強度及び機能維持の設計方針に基づき，強度計算に当たっては，添付資料V-3-別添3-1「津波への配慮が必要な施設の強度計算の方針」にて設定している構造強度及び機能維持の設計方針に基づき，浸水防護施設のうち浸水防止蓋，水密ハッチ，水密扉，逆止弁及び貫通部止水処置の耐震計算書及び強度計算書に示した評価について補足するものである。対象となる浸水防止蓋，水密ハッチ，水密扉，逆止弁及び貫通部止水処置の配置を図6.9.1-1に示す。

: 浸水防止蓋, 水密ハッチ, 水密扉, 逆止弁及び貫通部止水処置

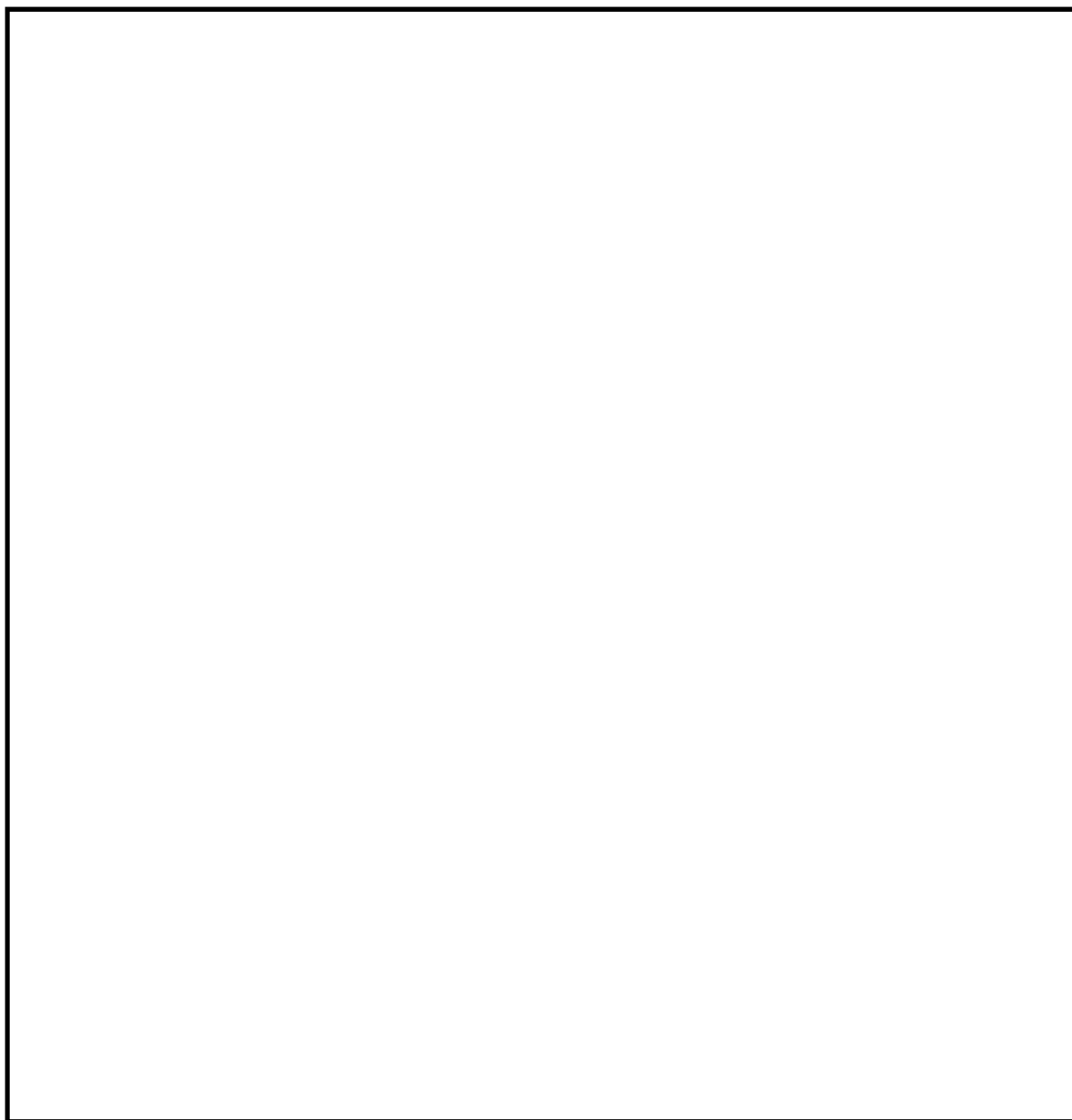


図 6.9.1-1 浸水防止蓋, 水密ハッチ, 水密扉, 逆止弁及び貫通部止水処置の配置図 (1/5)

: 浸水防止蓋, 水密ハッチ, 水密扉, 逆止弁及び貫通部止水処置

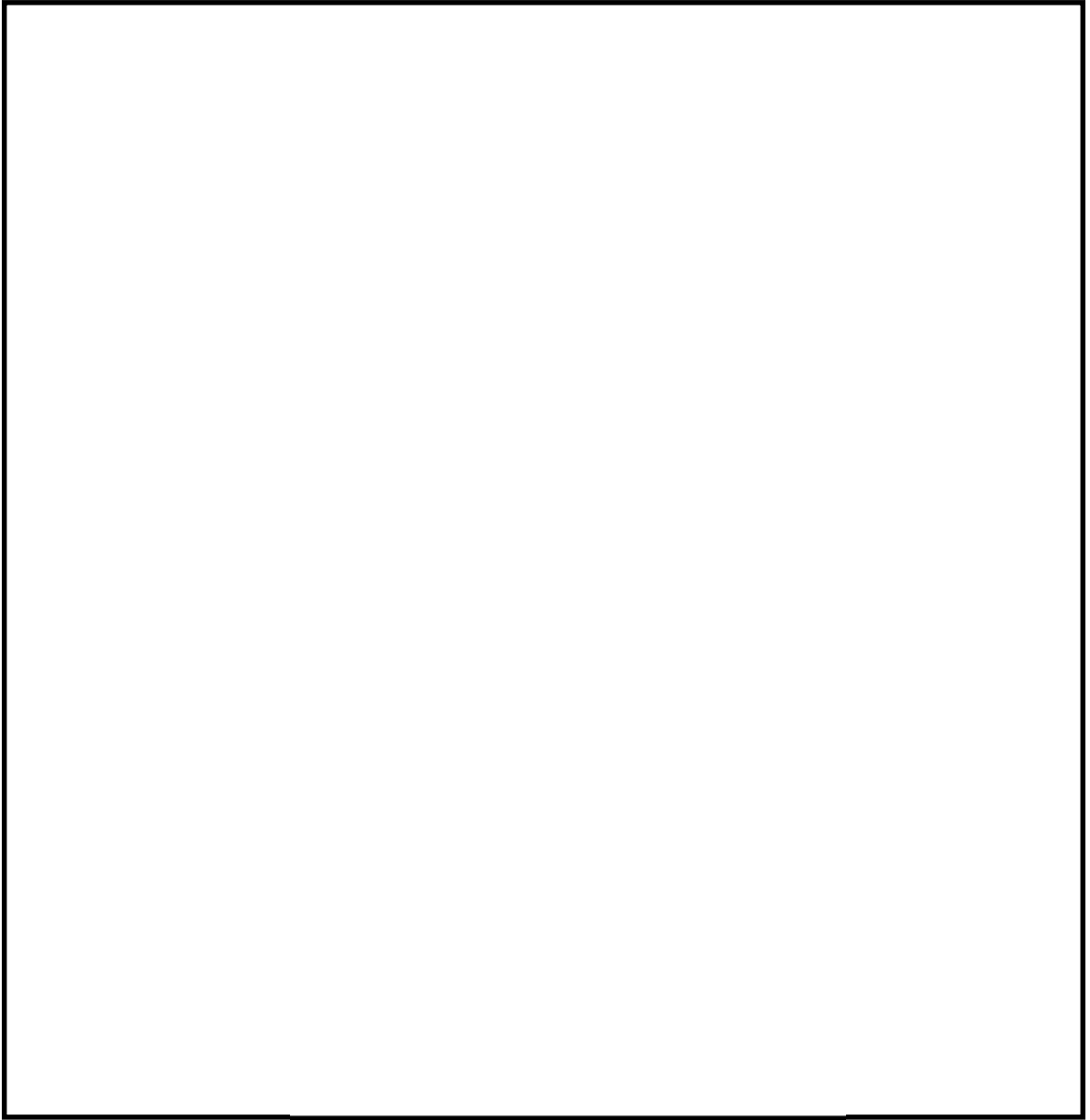



図 6.9.1-1 浸水防止蓋, 水密ハッチ, 水密扉, 逆止弁及び貫通部止水処置の配置図 (2/5)

 : 浸水防止蓋, 水密ハッチ, 水密扉, 逆止弁及び貫通部止水処置

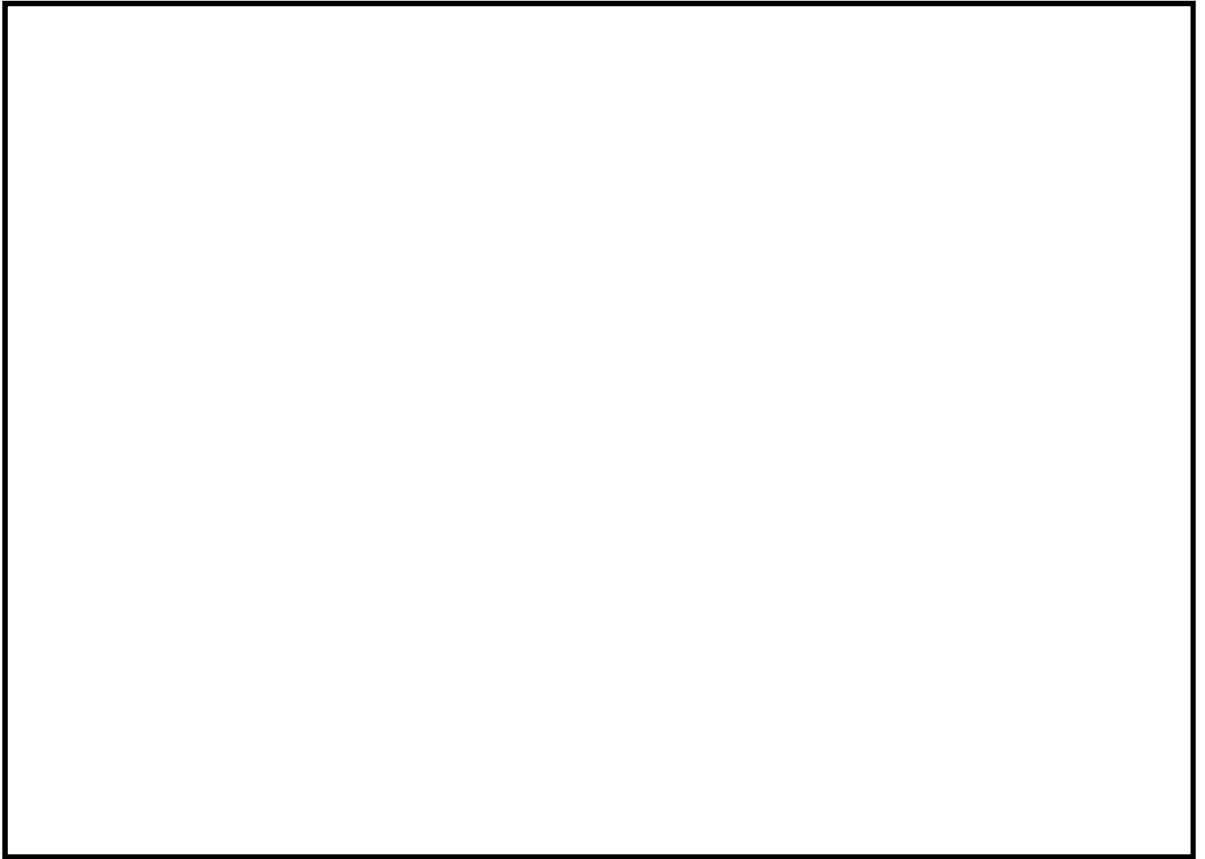



図 6.9.1-1 浸水防止蓋, 水密ハッチ, 水密扉, 逆止弁及び貫通部止水処置の配置図 (3/5)

 : 浸水防止蓋, 水密ハッチ, 水密扉, 逆止弁及び貫通部止水処置

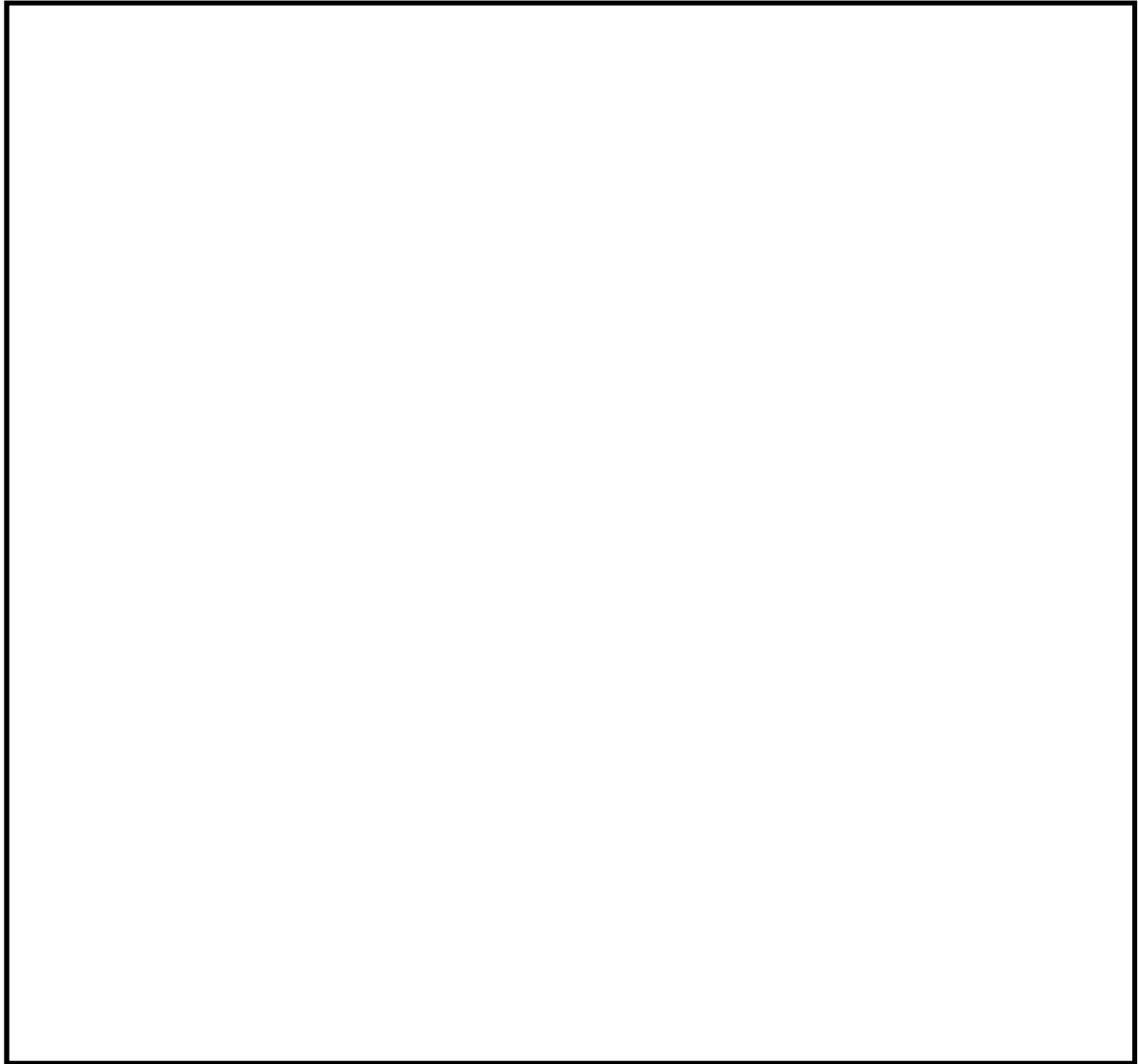



図 6.9.1-1 浸水防止蓋, 水密ハッチ, 水密扉, 逆止弁及び貫通部止水処置の配置図 (4/5)

 : 浸水防止蓋, 水密ハッチ, 水密扉, 逆止弁及び貫通部止水処置

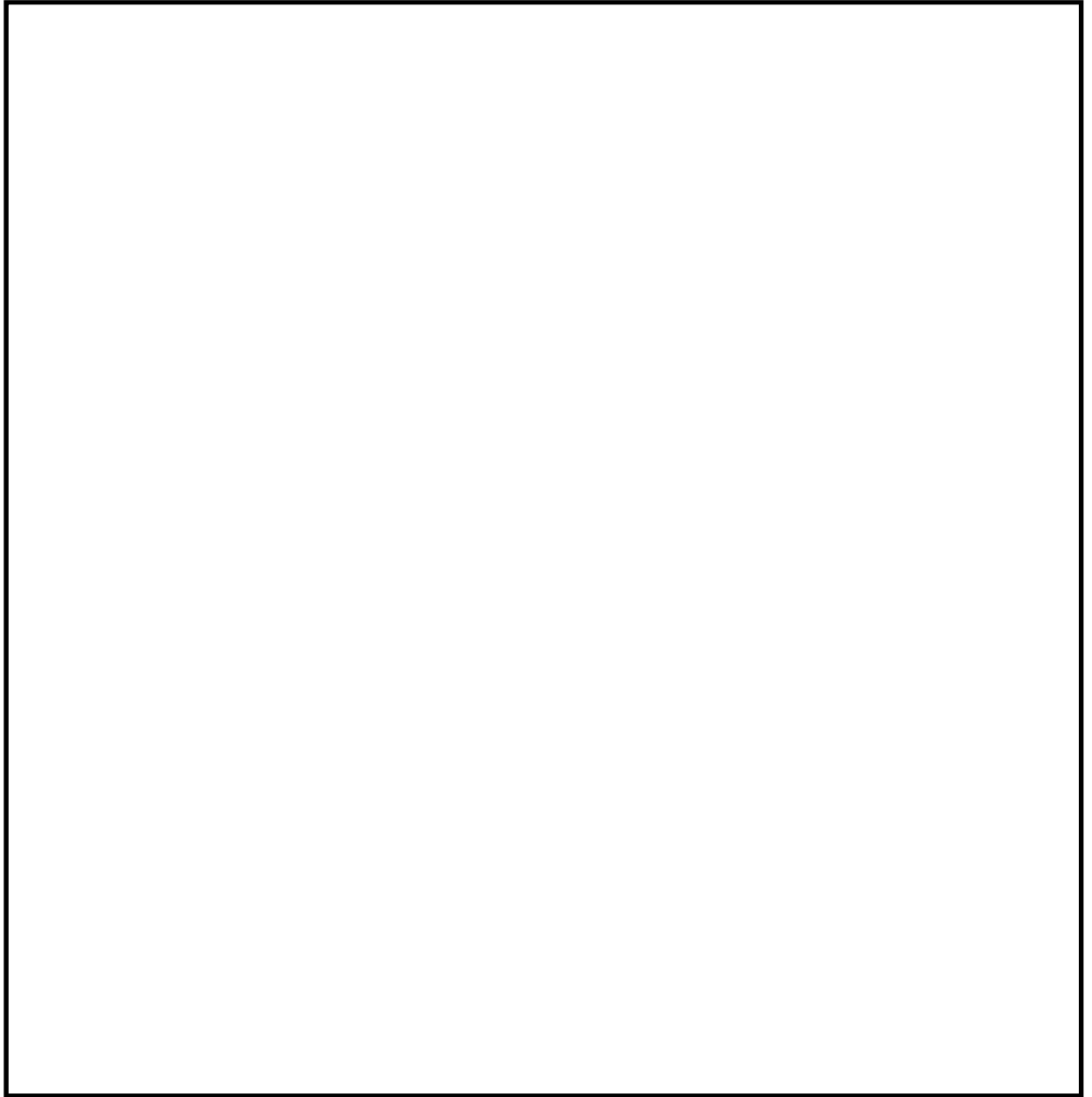


図 6.9.1-1 浸水防止蓋, 水密ハッチ, 水密扉, 逆止弁及び貫通部止水処置の配置図 (5/5)

耐震計算及び強度計算の詳細の説明に当たっては、浸水防護施設毎の構造、外郭防護又は内郭防護の種類を踏まえ代表の設備を選定し、選定した代表の設備に対する耐震計算及び強度計算の評価結果を説明する。

浸水防止蓋及び水密ハッチのうち、桁がないタイプの構造であり、設備に対し下側から水圧が作用する浸水防止蓋の代表として、取水路点検用開口部浸水防止蓋を選定し、桁があるタイプの構造であり、設備に対し下側から水圧が作用する浸水防止蓋の代表として、放水路ゲート点検用開口部浸水防止蓋を選定する。また、桁がないタイプの構造であり、設備に対し上側から水圧が作用する浸水防止蓋の代表として、格納容器圧力逃がし装置格納槽点検用水密ハッチを選定し、桁があるタイプの構造であり、設備に対し上側から水圧が作用する浸水防止蓋の代表として、緊急用海水ポンプ点検用開口部浸水防止蓋を選定する。さらに、専ら内郭防護用の浸水防止蓋の代表として、海水ポンプ室ケーブル点検口浸水防止蓋を選定する。浸水防護設備の内、浸水防止蓋の構造及び防護区分を踏まえた代表選定結果を表 6.9-1 に示す。

逆止弁のうち、フランジ（弁箱がない）タイプの逆止弁の代表として、海水ポンプグラウンドドレン排出口逆止弁を選定し、弁箱があるタイプの逆止弁の代表として取水ピット空気抜き配管逆止弁を選定する。浸水防護設備の内、逆止弁の構造を踏まえた代表選定結果を表 6.9-1 に示す。

表 6.9.1-1 設備の構造及び防護区分を踏まえた浸水防護設備の代表選定結果 (1/2)

| 分類 | 構造形式 | | 防護区分 | | | | | | 設備名称 | 代表 |
|---------|------|-----|------|----|-----------|----|---|--------------------------|------|----|
| | 桁あり | 桁なし | 基準津波 | | 敷地に遡上する津波 | | | | | |
| | | | 外郭 | 内郭 | 外郭 | 内郭 | | | | |
| 浸水防止蓋 1 | - | ○ | ○ | - | ○ | - | - | 取水路点検用開口部浸水防止蓋 | ○ | |
| 浸水防止蓋 2 | ○ | - | ○ | - | ○ | - | - | 放水路ゲート点検用開口部浸水防止蓋 | ○ | |
| 浸水防止蓋 3 | ○ | - | - | ○ | ○ | ○ | ○ | S.A用海水ピット開口部浸水防止蓋 | - | |
| 浸水防止蓋 4 | - | ○ | - | ○ | ○ | - | - | 緊急用海水ポンプピット点検用開口部浸水防止蓋 | - | |
| 浸水防止蓋 5 | - | ○ | - | ○ | - | - | - | 緊急用海水ポンプ点検用開口部浸水防止蓋 | ○ | |
| | | | | | | | | 緊急用海水ポンプ人員用開口部浸水防止蓋 | - | |
| | | | | | | | | 格納容器圧力逃がし装置格納槽点検用水密ハッチ | ○ | |
| | | | | | | | | 常設低圧代替注水系格納槽点検用水密ハッチ | - | |
| | | | | | | | | 常設低圧代替注水系格納槽可搬型ポンプ用水密ハッチ | - | |
| | | | | | | | | 海水ポンプ室ケーブル点検口浸水防止蓋 | ○ | |

表 6.9.1-1 設備の構造及び防護区分を踏まえた浸水防護設備の代表選定結果 (2/2)

| 分類 | 構造形式 | | 防護区分 | | | | | | 設備名称 | 代表 |
|-------|------------|------------|------|----|-----------|----|---|------------------------|------|----|
| | フラン ジあり | フランジ なし | 基準津波 | | 敷地に遡上する津波 | | | | | |
| | | | 外郭 | 内郭 | 外郭 | 内郭 | | | | |
| 逆止弁 1 | - | ○ | ○ | - | ○ | - | - | 海水ポンプグラウンドドレン排出口逆止弁 | ○ | |
| 逆止弁 2 | ○ | - | ○ | - | ○ | - | - | 緊急用海水ポンプグラウンドドレン排出口逆止弁 | - | |
| | | | | | | | | 緊急用海水ポンプ室床ドレン排出口逆止弁 | - | |
| | | | | | | | | 取水ピット空気抜き配管逆止弁 | ○ | |

a. 取水路点検用開口部浸水防止蓋の設計に関する補足説明

(a) 固有値解析

イ. 固有振動数の計算

蓋は、たて方向に基礎ボルトにより支持されていることから、たて方向で支持された蓋端間の両端単純支持ばりとしてモデル化する。両端単純支持ばりの一次固有振動数は、「機械工学便覧(1986年), 日本機械学会」より、次のとおり与えられる。

$$f = \lambda^2 / (2\pi \cdot L^2) \cdot \sqrt{E \cdot I / (\rho \cdot A)}$$

ここで、

f : 一次固有振動数 (Hz)

λ : 振動数係数 = π

L : はりの長さ (m) 蓋 (1, 10) = 0.87
蓋 (2, 3, 4, 5, 6, 7, 8, 9) = 1.535

E : 縦弾性係数 (Pa) = 1.94×10^{11}

JSME S NC1-2005/2007 付録材料図表 Part6 表 1 を用いて計算する。温度 40 °Cにおけるオーステナイト系ステンレス鋼の縦弾性係数は、温度 20 °Cの縦弾性係数 195000 MPa と、温度 50 °Cの縦弾性係数 193000 MPa より、比例法を用いて計算する。

$$195000 + (193000 - 195000) \times (40 - 20) / (50 - 20) = 193667 \text{ MPa} = 1.94 \times 10^{11}$$

I : 断面二次モーメント (m⁴) 蓋 (1, 10) = 8.382×10^{-6}
蓋 (2, 3, 4, 5, 6, 7, 8, 9) = 1.303×10^{-5}

$$I = b \cdot h^3 / 12$$

ここで、

b : はりの幅 (m) 蓋 (1, 10) = 3.82
蓋 (2, 3, 4, 5, 6, 7, 8, 9) = 1.27

h : はりのせい (蓋の厚さ) (m) 蓋 (1, 10) = 0.02975
蓋 (2, 3, 4, 5, 6, 7, 8, 9) = 0.04975

J I Sによる蓋厚の製造公差-0.25 mmを考慮する。

蓋 (1, 10)

$$h = 0.030 - 0.00025 \\ = 0.02975 \text{ m}$$

蓋 (2, 3, 4, 5, 6, 7, 8, 9)

$$h = 0.050 - 0.00025 \\ = 0.04975 \text{ m}$$

以上より、

蓋 (1, 10)

$$I = b \cdot h^3 / 12 \\ = 3.82 \times 0.02975^3 / 12 \\ = 8.38191 \times 10^{-6} \text{ m}^4 = 8.382 \times 10^{-6} \text{ m}^4$$

蓋 (2, 3, 4, 5, 6, 7, 8, 9)

$$\begin{aligned}
 I &= b \cdot h^3 / 12 \\
 &= 1.27 \times 0.04975^3 / 12 \\
 &= 1.30317 \times 10^{-5} \text{ m}^4 = 1.303 \times 10^{-6} \text{ m}^4
 \end{aligned}$$

$$\begin{aligned}
 \rho : \text{はりの単位体積質量 (kg/m}^3\text{)} &= 7.93 \times 10^3 \\
 A : \text{はりの断面積 (m}^2\text{)} \quad \text{蓋 (1, 10)} &= 1.136 \times 10^{-6} \\
 \text{蓋 (2, 3, 4, 5, 6, 7, 8, 9)} &= 6.318 \times 10^{-2}
 \end{aligned}$$

$$\begin{aligned}
 \text{蓋 (1, 10)} \\
 A &= b \cdot h \\
 &= 3.82 \times 0.02975 \\
 &= 0.113645 \text{ m}^2 = 1.136 \times 10^{-6} \text{ m}^2
 \end{aligned}$$

$$\begin{aligned}
 \text{蓋 (2, 3, 4, 5, 6, 7, 8, 9)} \\
 A &= b \cdot h \\
 &= 1.27 \times 0.04975 \\
 &= 0.0631825 \text{ m}^2 = 6.318 \times 10^{-2} \text{ m}^2
 \end{aligned}$$

以上より,

$$\begin{aligned}
 \text{蓋 (1, 10)} \\
 f &= \pi^2 / (2\pi \cdot 0.87^2) \cdot \sqrt{(1.94 \times 10^{11} \times 8.382 \times 10^{-6} / (7.93 \times 10^3 \times 1.136 \times 10^{-1}))} \\
 &= 88.1719 \text{ Hz} = 88 \text{ Hz}
 \end{aligned}$$

$$\begin{aligned}
 \text{蓋 (2, 3, 4, 5, 6, 7, 8, 9)} \\
 f &= \pi^2 / (2\pi \cdot 1.535^2) \cdot \sqrt{(1.94 \times 10^{11} \times 1.303 \times 10^{-5} / (7.93 \times 10^3 \times 6.318 \times 10^{-2}))} \\
 &= 47.3532 \text{ Hz} = 47 \text{ Hz}
 \end{aligned}$$

ロ. 固有値解析結果

蓋 (1, 10)

固有振動数は 88 Hz であり, 20 Hz 以上であることから, 剛構造である。

蓋 (2, 3, 4, 5, 6, 7, 8, 9)

固有振動数は 47 Hz であり, 20 Hz 以上であることから, 剛構造である。

(b) 応力計算

イ. 常時

(イ) 荷重条件

(a-1) 固定荷重

固定荷重は以下のとおりとする。

$$w_0 = (m_0/A) \cdot g$$

ここで,

w_0 : 固定荷重による鉛直等分布荷重 (MPa)

m_0 : 蓋の質量 (kg)

A : 蓋の面積 (mm²)

g : 重力加速度 (m/s²) = 9.80665

$$m_D = A \cdot t \cdot \rho$$

ここで,

A : 蓋の面積 (mm²)

t : 蓋の厚さ (mm) 蓋 (1, 10) = 30

蓋 (2, 3, 4, 5, 6, 7, 8, 9) = 50

ρ : 蓋の単位体積質量 (kg/mm³) = 7.93×10^{-6}

以上より,

蓋 (1, 10)

$$A_1 = 870 \times 3820$$

$$= 3323400 \text{ mm}^2 = 3.323 \times 10^6 \text{ mm}^2 = 3.323 \text{ m}^2$$

$$m_D = 3.323 \times 10^6 \times 30 \times 7.93 \times 10^{-6}$$

$$= 790.541 \text{ kg}$$

保守的に 1000 kg とする。

$$m_D = (1000 / 3.323 \times 10^6) \times 9.80665$$

$$= 2.95114 \times 10^{-3} \text{ MPa}$$

蓋 (2, 3, 4, 5, 6, 7, 8, 9)

$$A_2 = 870 \times 3820 + 665 \times 1270$$

$$= 4167950 \text{ mm}^2 = 4.168 \times 10^6 \text{ mm}^2 = 4.168 \text{ m}^2$$

$$m_D = 4.168 \times 10^6 \times 50 \times 7.93 \times 10^{-6}$$

$$= 1652.61 \text{ kg}$$

保守的に 2000 kg とする。

$$m_D = (2000 / 4.168 \times 10^6) \times 9.80665$$

$$= 4.70568 \times 10^{-3} \text{ MPa}$$

(a-2) 積雪荷重

積雪荷重は以下のとおりとする。

$$w_s = (m_s/A) \cdot g$$

ここで、

w_s : 常時の積雪荷重による鉛直等分布荷重 (MPa)

m_s : 常時の積雪荷重による質量 (kg)

A : 蓋の面積 (mm^2)

g : 重力加速度 (m/s^2) = 9.80665

$$m_s = (0.35 \cdot S/10^6) \cdot A$$

ここで、

S : 積雪質量 (kg/m^2)

垂直積雪量 30 cm, 単位荷重 20 Pa/cm より, 600 Pa

600 Pa/g = 61.1829 kg/m^2 → 保守的に 62 kg/m^2 とする。

A : 蓋の面積 (mm^2)

以上より、

蓋 (1, 10)

$$A_1 = 3.323 \times 10^6 \text{ mm}^2$$

$$m_s = (0.35 \times 62/10^6) \times 3.323 \times 10^6$$

$$= 72.1091 \text{ kg}$$

$$w_s = (72.1091/3.323 \times 10^6) \times 9.80665$$

$$= 2.12804 \times 10^{-4} \text{ MPa}$$

蓋 (2, 3, 4, 5, 6, 7, 8, 9)

$$A_2 = 4.168 \times 10^6 \text{ mm}^2$$

$$m_s = (0.35 \times 62/10^6) \times 4.168 \times 10^6$$

$$= 90.44456 \text{ kg}$$

$$w_s = (90.44456/4.168 \times 10^6) \times 9.80665$$

$$= 2.12804 \times 10^{-4} \text{ MPa}$$

(イ) 各部の応力計算

(a-1) 蓋

蓋に作用する鉛直荷重（鉛直下向き）は、コンクリート躯体に支持される。
蓋は蓋端間で等分布荷重を受ける両端単純支持ばりとして検討を行う。

(a-1-1) 蓋 (1, 10)

(a-1-1-1) 発生荷重<常時>

蓋の固定荷重による鉛直等分布荷重

$$w_D = 2.95114 \times 10^{-3} \text{ MPa}$$

蓋の積雪荷重による鉛直等分布荷重

$$w_S = 2.12804 \times 10^{-4} \text{ MPa}$$

蓋に作用する鉛直等分布荷重

$$w = w_D + w_S$$

$$= 2.95114 \times 10^{-3} + 2.12804 \times 10^{-4}$$

$$= 3.16394 \times 10^{-3} \text{ MPa}$$

支点間距離

$$L = 0.870 \times 10^3 \text{ mm}$$

単位幅当たり曲げモーメント

$$M = w \cdot L^2 / 8$$

$$= 3.16394 \times 10^{-3} \times (0.87 \times 10^3)^2 / 8$$

$$= 299.348 \text{ N}\cdot\text{mm}/\text{mm}$$

単位幅当たりせん断力

$$Q = w \cdot L / 2$$

$$= 3.16394 \times 10^{-3} \times 870 / 2$$

$$= 1.37631 \text{ N}/\text{mm}$$

(a-1-1-2) 断面性能

J I Sによる蓋厚の製造公差 -0.25 mm を考慮する。

蓋の厚さ

$$t = 30 - 0.25$$

$$= 29.75 \text{ mm}$$

蓋の単位幅当たりの断面係数

$$Z = t^2 / 6$$

$$= 29.75^2 / 6$$

$$= 147.510 \text{ mm}^3/\text{mm}$$

蓋の単位幅当たりのせん断断面積 $A_s = t$

$$= 29.75 \text{ mm}^2/\text{mm}$$

(a-1-1-3) 発生応力<常時>

単位幅当たり曲げモーメント

$$M = 299.348 \text{ N}\cdot\text{mm}/\text{mm}$$

単位幅当たりせん断力

$$Q = 1.37631 \text{ N}/\text{mm}$$

曲げ応力

$$\sigma_b = M / Z$$

$$= 299.348 / 147.510$$

$$\begin{aligned}
&=2.02934 \text{ MPa}=3\text{MPa} \\
\text{せん断応力} \quad \tau &=Q/A_s \\
&=1.37631/29.75 \\
&=0.0462625 \text{ MPa}=1\text{MPa} \\
\text{組合せ応力 (垂直+せん断)} \quad \sigma &=\sqrt{(\sigma_b^2+3 \cdot \tau^2)} \\
&=\sqrt{(3^2+3 \times 1^2)} \\
&=3.46410 \text{ MPa}=4 \text{ MPa}
\end{aligned}$$

(a-1-2) 蓋 (2, 3, 4, 5, 6, 7, 8, 9)

(a-1-2-1) 発生荷重<常時>

蓋の固定荷重による鉛直等分布荷重

$$w_D=4.70568 \times 10^{-3} \text{ MPa}$$

蓋の積雪荷重による鉛直等分布荷重

$$w_S=2.12804 \times 10^{-4} \text{ MPa}$$

蓋に作用する鉛直等分布荷重

$$w=w_D+w_S$$

$$=4.70568 \times 10^{-3}+2.12804 \times 10^{-4}$$

$$=4.91848 \times 10^{-3} \text{ MPa}$$

支点間距離

$$L=1.535 \times 10^3 \text{ mm}$$

単位幅当たり曲げモーメント

$$M=w \cdot L^2/8$$

$$=4.91848 \times 10^{-3} \times (1.535 \times 10^3)^2/8$$

$$=1448.63 \text{ N}\cdot\text{mm}/\text{mm}$$

単位幅当たりせん断力

$$Q=w \cdot L/2$$

$$=4.91848 \times 10^{-3} \times 1.535 \times 10^3/2$$

$$=3.77493 \text{ N}/\text{mm}$$

(a-1-2-2) 断面性能

J I Sによる蓋厚の製造公差 -0.25 mm を考慮する。

蓋の厚さ

$$t=50-0.25$$

$$=49.75 \text{ mm}$$

蓋の単位幅当たりの断面係数

$$Z=t^2/6$$

$$=49.75^2/6$$

$$=412.510 \text{ mm}^3/\text{mm}$$

蓋の単位幅当たりのせん断断面積

$$A_s=t$$

$$=49.75 \text{ mm}^2/\text{mm}$$

(a-1-2-3) 発生応力<常時>

単位幅当たり曲げモーメント

$$M=1448.63 \text{ N}\cdot\text{mm}/\text{mm}$$

単位幅当たりせん断力

$$Q=3.77493 \text{ N}/\text{mm}$$

| | |
|---------------|---|
| 曲げ応力 | $\sigma_b = M/Z$ $= 1448.63 / 412.510$ $= 3.51174 \text{ MPa} = 4 \text{ MPa}$ |
| せん断応力 | $\tau = Q/A_s$ $= 3.77493 / 49.75$ $= 0.0758779 \text{ MPa} = 1 \text{ MPa}$ |
| 組合せ応力（垂直+せん断） | $\sigma = \sqrt{(\sigma_b^2 + 3 \cdot \tau^2)}$ $= \sqrt{(4^2 + 3 \times 1^2)}$ $= 4.35889 \text{ MPa} = 5 \text{ MPa}$ |

(a-2) 基礎ボルト

蓋は基礎ボルトにより，コンクリート躯体に固定される。

常時では，基礎ボルトに力は作用しない。

ロ. 基準津波時

(イ) 荷重条件

(a-1) 固定荷重

固定荷重は基準津波荷重を緩和する方向に作用することから、考慮しない。

(a-2) 積雪荷重

積雪荷重は基準津波荷重を緩和する方向に作用することから、考慮しない。

(a-3) 基準津波荷重

基準津波荷重は以下のとおりとする。

$$P_{kt} = (\rho \cdot g \cdot h + 1/2 \cdot C_D \cdot \rho \cdot U^2) / 10^6$$

ここで、

P_{kt} : 基準津波荷重 (MPa)

$$\rho : \text{海水の密度 (kg/m}^3\text{)} = 1030$$

$$g : \text{重力加速度 (m/s}^2\text{)} = 9.80665$$

$$h : \text{津波荷重水位 (m)} = 22.0$$

(基準津波の水位に対し、参照する裕度である+0.65mを含めても十分に保守的である水位として設定した津波荷重水位)

$$C_D : \text{抗力係数} = 2.01$$

$$U : \text{流速 (m/s)} = 2.0$$

以上より、

$$\begin{aligned} P_{kt} &= (1030 \times 9.80665 \times 22.0 + 1/2 \times 2.01 \times 1030 \times 2.0^2) / 10^6 \\ &= 0.226359 \text{ MPa} \end{aligned}$$

(ロ) 各部の応力計算

蓋に作用する基準津波荷重(鉛直上向き)は、蓋を介して基礎ボルトに伝達し、基礎ボルトを介してコンクリート躯体に伝達するものとする。

(a-1) 蓋

蓋は、蓋端間で等分布荷重を受ける両端単純支持ばりとして検討を行う。

(a-1-1) 蓋 (1, 10)

(a-1-1-1) 発生荷重<基準津波時>

| | |
|---------------|--|
| 基準津波波圧 | $w = P_{kt}$ $= 0.226359 \text{ MPa}$ |
| 支点間距離 | $L = 0.87 \times 10^3 \text{ mm}$ |
| 単位幅当たり曲げモーメント | $M = w \cdot L^2/8$ $= 0.226359 \times (0.87 \times 10^3)^2/8$ $= 21416.3 \text{ N}\cdot\text{mm}/\text{mm}$ |
| 単位幅当たりせん断力 | $Q = w \cdot L/2$ $= 0.226359 \times 870/2$ $= 98.4661 \text{ N}/\text{mm}$ |

(a-1-1-2) 断面性能

J I Sによる蓋厚の製造公差 -0.25 mm を考慮する。

| | |
|-----------------|--|
| 蓋の厚さ | $t = 30 - 0.25$ $= 29.75 \text{ mm}$ |
| 蓋の単位幅当たりの断面係数 | $Z = t^2/6$ $= 29.75^2/6$ $= 147.510 \text{ mm}^3/\text{mm}$ |
| 蓋の単位幅当たりのせん断断面積 | $A_s = t$ $= 29.75 \text{ mm}^2/\text{mm}$ |

(a-1-1-3) 発生応力<基準津波時>

| | |
|---------------|---|
| 単位幅当たり曲げモーメント | $M = 21416.3 \text{ N}\cdot\text{mm}/\text{mm}$ |
| 単位幅当たりせん断力 | $Q = 98.4661 \text{ N}/\text{mm}$ |
| 曲げ応力 | $\sigma_b = M/Z$ $= 21416.3/147.510$ $= 145.185 \text{ MPa} = 146 \text{ MPa}$ |
| せん断応力 | $\tau = Q/A_s$ $= 98.4661/29.75$ $= 3.30978 \text{ MPa} = 4 \text{ MPa}$ |
| 組合せ応力(垂直+せん断) | $\sigma = \sqrt{(\sigma_b^2 + 3 \cdot \tau^2)}$ $= \sqrt{(146^2 + 3 \times 4^2)}$ $= 146.164 \text{ MPa} = 147 \text{ MPa}$ |

(a-1-2) 蓋 (2, 3, 4, 5, 6, 7, 8, 9)

(a-1-2-1) 発生荷重<基準津波時>

| | |
|---------------|---|
| 基準津波波圧 | $w = P_{kt}$ $= 0.226359 \text{ MPa}$ |
| 支点間距離 | $L = 1.535 \times 10^3 \text{ mm}$ |
| 単位幅当たり曲げモーメント | $M = w \cdot L^2/8$ $= 0.226359 \times (1.535 \times 10^3)^2/8$ $= 66669.0 \text{ N}\cdot\text{mm}/\text{mm}$ |
| 単位幅当たりせん断力 | $Q = w \cdot L/2$ $= 0.226359 \times 1.535 \times 10^3/2$ $= 173.730 \text{ N}/\text{mm}$ |

(a-1-2-2) 断面性能

J I Sによる蓋厚の製造公差 -0.25 mm を考慮する。

| | |
|-----------------|--|
| 蓋の厚さ | $t = 50 - 0.25$ $= 49.75 \text{ mm}$ |
| 蓋の単位幅当たりの断面係数 | $Z = t^2/6$ $= 49.75^2/6$ $= 412.510 \text{ mm}^3/\text{mm}$ |
| 蓋の単位幅当たりのせん断断面積 | $A_s = t$ $= 49.75 \text{ mm}^2/\text{mm}$ |

(a-1-2-2) 発生応力<基準津波時>

| | |
|----------------|---|
| 単位幅当たり曲げモーメント | $M = 66669.0 \text{ N}\cdot\text{mm}/\text{mm}$ |
| 単位幅当たりせん断力 | $Q = 173.730 \text{ N}/\text{mm}$ |
| 曲げ応力 | $\sigma_b = M/Z$ $= 66669.0/412.510$ $= 161.617 \text{ MPa} = 162 \text{ MPa}$ |
| せん断応力 | $\tau = Q/A_s$ $= 173.730/49.75$ $= 3.49206 \text{ MPa} = 4 \text{ MPa}$ |
| 組合せ応力 (垂直+せん断) | $\sigma = \sqrt{(\sigma_b^2 + 3 \cdot \tau^2)}$ $= \sqrt{(162^2 + 3 \times 4^2)}$ $= 162.148 \text{ MPa} = 163 \text{ MPa}$ |

(a-2) 基礎ボルト

蓋に作用する基準津波荷重は、蓋を介して基礎ボルトに伝達するものとする。

(a-2-1) 蓋 (1, 10)

(a-2-1-1) 発生荷重<基準津波時>

(a-2-1-1-1) 支点間距離 $L=870$ mm (基礎ボルトの負担幅 249 mm)

$$\begin{aligned} \text{基準津波波圧} \quad w &= P_{kt} \\ &= 0.226359 \text{ MPa} \end{aligned}$$

$$\text{支点間距離} \quad L = 0.87 \times 10^3 \text{ mm}$$

蓋の端部に生じる単位幅当たりのせん断力

$$\begin{aligned} Q &= w \cdot L/2 \\ &= 0.226359 \times 0.87 \times 10^3 / 2 \\ &= 98.4661 \text{ N/mm} \end{aligned}$$

$$\text{基礎ボルトの負担幅 (mm)} \quad b = 249 \text{ mm}$$

$$\begin{aligned} \text{基礎ボルトの引張荷重} \quad P_{tb} &= Q \cdot b \\ &= 98.4661 \times 249 \\ &= 24518.0 \text{ N} \end{aligned}$$

(a-2-1-1-2) 支点間距離 $L=870$ mm (基礎ボルトの負担幅 218 mm)

$$\begin{aligned} \text{基準津波波圧} \quad w &= P_{kt} \\ &= 0.226359 \text{ MPa} \end{aligned}$$

$$\text{支点間距離} \quad L = 0.87 \times 10^3 \text{ mm}$$

蓋の端部に生じる単位幅当たりのせん断力

$$\begin{aligned} Q &= w \cdot L/2 \\ &= 0.226359 \times 0.87 \times 10^3 / 2 \\ &= 98.4661 \text{ N/mm} \end{aligned}$$

$$\text{基礎ボルトの負担幅 (mm)} \quad b = 218 \text{ mm}$$

$$\begin{aligned} \text{基礎ボルトの引張荷重} \quad P_{tb} &= Q \cdot b \\ &= 98.4661 \times 218 \\ &= 21465.6 \text{ N} \end{aligned}$$

(a-2-1-1-3) 支点間距離 $L=870$ mm (基礎ボルトの負担幅 187 mm)

$$\begin{aligned} \text{基準津波波圧} \quad w &= P_{kt} \\ &= 0.226359 \text{ MPa} \end{aligned}$$

$$\text{支点間距離} \quad L = 0.87 \times 10^3 \text{ mm}$$

蓋の端部に生じる単位幅当たりのせん断力

$$\begin{aligned} Q &= w \cdot L/2 \\ &= 0.226359 \times 0.87 \times 10^3 / 2 \end{aligned}$$

$$=98.4661 \text{ N/mm}$$

$$\text{基礎ボルトの負担幅 (mm)} \quad b = 187 \text{ mm}$$

$$\begin{aligned} \text{基礎ボルトの引張荷重} \quad P_{tb} &= Q \cdot b \\ &= 98.4661 \times 187 \\ &= 18413.1 \text{ N} \end{aligned}$$

(a-2-1-2) 断面性能

$$\text{基礎ボルトの呼び径 (M16)} \quad \phi = 16 \text{ mm}$$

$$\begin{aligned} \text{基礎ボルトの呼び径断面積} \quad A_m &= \pi/4 \cdot \phi^2 \\ &= 201.061 \text{ mm}^2 \end{aligned}$$

(a-2-1-3) 発生応力<基準津波時>

(a-2-1-3-1) 支点間距離 $L=870 \text{ mm}$ (基礎ボルトの負担幅 249 mm)

$$\begin{aligned} \text{基礎ボルトの引張応力} \quad \sigma_t &= P_{tb}/A_m \\ &= 24518.0/201.061 \\ &= 121.943 \text{ MPa} = 122 \text{ MPa} \end{aligned}$$

(a-2-1-3-2) 支点間距離 $L=870 \text{ mm}$ (基礎ボルトの負担幅 218 mm)

$$\begin{aligned} \text{基礎ボルトの引張応力} \quad \sigma_t &= P_{tb}/A_m \\ &= 21465.6/201.061 \\ &= 106.761 \text{ MPa} = 107 \text{ MPa} \end{aligned}$$

(a-2-1-3-3) 支点間距離 $L=870 \text{ mm}$ (基礎ボルトの負担幅 187 mm)

$$\begin{aligned} \text{基礎ボルトの引張応力} \quad \sigma_t &= P_{tb}/A_m \\ &= 18413.1/201.061 \\ &= 91.5796 \text{ MPa} = 92 \text{ MPa} \end{aligned}$$

(a-2-2) 蓋 (2, 3, 4, 5, 6, 7, 8, 9)

(a-2-2-1) 発生荷重<基準津波時>

(a-2-2-1-1) 支点間距離 $L=1535 \text{ mm}$ (基礎ボルトの負担幅 140 mm)

$$\begin{aligned} \text{基準津波波圧} \quad w &= P_{kt} \\ &= 0.226359 \text{ MPa} \end{aligned}$$

$$\text{支点間距離} \quad L = 1.535 \times 10^3 \text{ mm}$$

蓋の端部に生じる単位幅当たりのせん断力

$$\begin{aligned} Q &= w \cdot L/2 \\ &= 0.226359 \times 1.535 \times 10^3 / 2 \\ &= 173.730 \text{ N/mm} \end{aligned}$$

$$\text{基礎ボルトの負担幅 (mm)} \quad b = 140 \text{ mm}$$

$$\text{基礎ボルトの引張荷重} \quad P_{tb} = Q \cdot b$$

$$= 173.730 \times 140$$

$$= 24322.2 \text{ N}$$

(a-2-2-1-2) 支点間距離 $L=870 \text{ mm}$ (基礎ボルトの負担幅 249 mm)

基準津波波圧 $w = P_{kt}$

$$= 0.226359 \text{ MPa}$$

支点間距離 $L = 0.87 \times 10^3 \text{ mm}$

蓋の端部に生じる単位幅当たりのせん断力

$$Q = w \cdot L/2$$

$$= 0.226359 \times 0.87 \times 10^3 / 2$$

$$= 98.4661 \text{ N/mm}$$

基礎ボルトの負担幅 (mm) $b = 249 \text{ mm}$

基礎ボルトの引張荷重 $P_{tb} = Q \cdot b$

$$= 98.4661 \times 249$$

$$= 24518.0 \text{ N}$$

(a-2-2-1-3) 支点間距離 $L=870 \text{ mm}$ (基礎ボルトの負担幅 194.5 mm)

基準津波波圧 $w = P_{kt}$

$$= 0.226359 \text{ MPa}$$

支点間距離 $L = 0.87 \times 10^3 \text{ mm}$

蓋の端部に生じる単位幅当たりのせん断力

$$Q = w \cdot L/2$$

$$= 0.226359 \times 870 / 2$$

$$= 98.4661 \text{ N/mm}$$

基礎ボルトの負担幅 (mm) $b = 194.5 \text{ mm}$

基礎ボルトの引張荷重 $P_{tb} = Q \cdot b$

$$= 98.4661 \times 194.5$$

$$= 19151.6 \text{ N}$$

(a-2-2-1-4) 支点間距離 $L=870 \text{ mm}$ (基礎ボルトの負担幅 165 mm)

基準津波波圧 $w = P_{kt}$

$$= 0.226359 \text{ MPa}$$

支点間距離 $L = 0.87 \times 10^3 \text{ mm}$

蓋の端部に生じる単位幅当たりのせん断力

$$Q = w \cdot L/2$$

$$= 0.226359 \times 870 / 2$$

$$= 98.4661 \text{ N/mm}$$

基礎ボルトの負担幅 (mm) $b = 165 \text{ mm}$

基礎ボルトの引張荷重 $P_{tb} = Q \cdot b$

$$=98.4661 \times 165$$

$$=16246.9 \text{ N}$$

(a-2-2-2) 断面性能

基礎ボルトの呼び径 (M16) $\phi = 16 \text{ mm}$

基礎ボルトの呼び径断面積 $A_m = \pi/4 \cdot \phi^2$

$$=201.061 \text{ mm}^2$$

(a-2-2-3) 発生応力<基準津波時>

(a-2-2-3-1) 支点間距離 $L=1535 \text{ mm}$ (基礎ボルトの負担幅 140 mm)

基礎ボルトの引張応力 $\sigma_t = P_{tb}/A_m$

$$=24322.2/201.061$$

$$=120.969 \text{ MPa} = 121 \text{ MPa}$$

(a-2-2-3-2) 支点間距離 $L=870 \text{ mm}$ (基礎ボルトの負担幅 249 mm)

基礎ボルトの引張応力 $\sigma_t = P_{tb}/A_m$

$$=24518.0/201.061$$

$$=121.943 \text{ MPa} = 122 \text{ MPa}$$

(a-2-2-3-3) 支点間距離 $L=870 \text{ mm}$ (基礎ボルトの負担幅 194.5 mm)

基礎ボルトの引張応力 $\sigma_t = P_{tb}/A_m$

$$=19151.6/201.061$$

$$=95.2526 \text{ MPa} = 96 \text{ MPa}$$

(a-2-2-3-4) 支点間距離 $L=870 \text{ mm}$ (基礎ボルトの負担幅 165 mm)

基礎ボルトの引張応力 $\sigma_t = P_{tb}/A_m$

$$=16246.9/201.061$$

$$=80.8058 \text{ MPa} = 81 \text{ MPa}$$

(a-3) コンクリート躯体部基礎ボルト

蓋に作用する基準津波荷重は、蓋を介してコンクリート躯体部基礎ボルトに伝達されるものとする。

(a-3-1) 蓋 (1, 10)

(a-3-1-1) 発生荷重<基準津波時>

(a-3-1-1-1) 支点間距離 $L=870$ mm 箇所 (基礎ボルトの負担幅 249 mm 箇所)

$$\begin{aligned} \text{コンクリート躯体部基礎ボルトの引張荷重 : } P_{tb} &= 24518.0 \text{ N} \\ &= 2.452 \times 10^4 \text{ N} \end{aligned}$$

(a-3-1-1-2) 支点間距離 $L=870$ mm 箇所 (基礎ボルトの負担幅 218 mm 箇所)

$$\begin{aligned} \text{コンクリート躯体部基礎ボルトの引張荷重 : } P_{tb} &= 21465.6 \text{ N} \\ &= 2.147 \times 10^4 \text{ N} \end{aligned}$$

(a-3-1-1-3) 支点間距離 $L=870$ mm 箇所 (基礎ボルトの負担幅 187 mm 箇所)

$$\begin{aligned} \text{コンクリート躯体部基礎ボルトの引張荷重 : } P_{tb} &= 18413.1 \text{ N} \\ &= 1.841 \times 10^4 \text{ N} \end{aligned}$$

(a-3-2) 蓋 (2, 3, 4, 5, 6, 7, 8, 9)

(a-3-2-1) 発生荷重<基準津波時>

(a-3-2-1-1) 支点間距離 $L=1535$ mm 箇所 (基礎ボルトの負担幅 140 mm 箇所)

$$\begin{aligned} \text{コンクリート躯体部基礎ボルトの引張荷重 : } P_{tb} &= 24322.2 \text{ N} \\ &= 2.432 \times 10^4 \text{ N} \end{aligned}$$

(a-3-2-1-2) 支点間距離 $L=870$ mm 箇所 (基礎ボルトの負担幅 249 mm 箇所)

$$\begin{aligned} \text{コンクリート躯体部基礎ボルトの引張荷重 : } P_{tb} &= 24518.0 \text{ N} \\ &= 2.452 \times 10^4 \text{ N} \end{aligned}$$

(a-3-2-1-3) 支点間距離 $L=870$ mm 箇所 (基礎ボルトの負担幅 194.5 mm 箇所)

$$\begin{aligned} \text{コンクリート躯体部基礎ボルトの引張荷重 : } P_{tb} &= 19151.6 \text{ N} \\ &= 1.915 \times 10^4 \text{ N} \end{aligned}$$

(a-3-2-1-4) 支点間距離 $L=870$ mm 箇所 (基礎ボルトの負担幅 165 mm 箇所)

$$\begin{aligned} \text{コンクリート躯体部基礎ボルトの引張荷重 : } P_{tb} &= 16246.9 \text{ N} \\ &= 1.625 \times 10^4 \text{ N} \end{aligned}$$

ハ. S_s 地震時

(イ) 荷重条件

(a-1) 固定荷重

固定荷重は以下のとおりとする。

$$w_D = (m_D/A) \cdot g$$

ここで、

w_D : 固定荷重による鉛直等分布荷重 (MPa)

m_D : 蓋の質量 (kg)

A : 蓋の面積 (mm^2)

g : 重力加速度 (m/s^2) = 9.80665

$$m_D = A \cdot t \cdot \rho$$

ここで、

A : 蓋の面積 (mm^2)

t : 蓋の厚さ (mm) 蓋 (1, 10) = 30,

蓋 (2, 3, 4, 5, 6, 7, 8, 9) = 50

ρ : 蓋の単位体積質量 (kg/mm^3) = 7.93×10^{-6}

以上より、

蓋 (1, 10)

$$A_1 = 870 \times 3820$$

$$= 3323400 \text{ mm}^2 = 3.323 \times 10^6 \text{ mm}^2$$

$$m_D = 3.323 \times 10^6 \times 30 \times 7.93 \times 10^{-6}$$

$$= 790.541 \text{ kg}$$

保守的に 1000 kg とする。

$$w_D = (1000/3.323 \times 10^6) \times 9.80665$$

$$= 2.95114 \times 10^{-3} \text{ MPa}$$

蓋 (2, 3, 4, 5, 6, 7, 8, 9)

$$A_2 = 870 \times 3820 + 665 \times 1270$$

$$= 4.168 \times 10^6 \text{ mm}^2$$

$$m_D = 4.168 \times 10^6 \times 50 \times 7.93 \times 10^{-6}$$

$$= 1652.61 \text{ kg}$$

保守的に 2000 kg とする。

$$w_D = (2000/4.168 \times 10^6) \times 9.80665$$

$$= 4.70568 \times 10^{-3} \text{ MPa}$$

(a-2) 積雪荷重

積雪荷重は以下のとおりとする。

$$w_s = (m_s/A) \cdot g$$

ここで、

w_s : S_s 地震時の積雪荷重による鉛直等分布荷重 (MPa)

m_s : S_s 地震時の積雪荷重による質量 (kg)

A : 蓋の面積 (mm^2)

g : 重力加速度 (m/s^2) = 9.80665

$$m_s = (0.35 \cdot S/10^6) \cdot A$$

ここで、

S : 積雪質量 (kg/m^2)

垂直積雪量 30 cm, 単位荷重 20 Pa/cm より, 600 Pa

$600 \text{ Pa/g} = 61.1829 \text{ kg/m}^2 \rightarrow$ 保守的に 62 kg/m^2 とする。

A : 蓋の面積 (mm^2)

以上より、

蓋 (1, 10)

$$A_1 = 3323400 \text{ mm}^2 = 3.323 \times 10^6 \text{ mm}^2$$

$$m_s = (0.35 \times 62/10^6) \times 3323400$$

$$= 72.1091 \text{ kg}$$

$$w_s = (72.1091/3.323 \times 10^6) \times 9.80665$$

$$= 2.12804 \times 10^{-4} \text{ MPa}$$

蓋 (2, 3, 4, 5, 6, 7, 8, 9)

$$A_2 = 4167950 \text{ mm}^2 = 4.168 \times 10^6 \text{ mm}^2$$

$$m_s = (0.35 \times 62/10^6) \times 4.168 \times 10^6$$

$$= 90.4456 \text{ kg}$$

$$w_s = (90.4456/4.168 \times 10^6) \times 9.80665$$

$$= 2.12804 \times 10^{-4} \text{ MPa}$$

(a-3) S_s 地震荷重

基準地震動 S_s に伴う最大床応答加速度を表 6.9.1-2 に、応力評価に用いる S_s 地震荷重の最大静的震度を表 6.9.1-3 に示す。

震度は水平方向及び鉛直方向の最大床応答加速度を採用する。

鉛直地震荷重は鉛直震度が 1G を超えないため、固定荷重及び積雪荷重と同じ方向の鉛直下向きのみを考慮する。

水平地震荷重は、固定質量及び積雪質量による水平地震慣性力を考慮する。

表 6.9.1-2 基準地震動 S_s に伴う最大床応答加速度

| 基準地震動 | 水平地震動 | 鉛直地震動 | 最大床応答加速度 (Gal) | |
|------------|-------|-------|-------------------|------|
| | | | 水平方向 | 鉛直方向 |
| S_s -D1L | 正転 | 正転 | 303 | 693 |
| | 反転 | 正転 | 302 | 671 |
| | 正転 | 反転 | 346 | 688 |
| | 反転 | 反転 | 279 | 681 |
| S_s -11 | 正転 | 正転 | 284 | 722 |
| S_s -12 | 正転 | 正転 | 245 | 739 |
| S_s -13 | 正転 | 正転 | 223 | 712 |
| S_s -14 | 正転 | 正転 | 209 | 555 |
| S_s -21 | 正転 | 正転 | 287 | 699 |
| S_s -22 | 正転 | 正転 | 290 | 633 |
| S_s -31 | 正転 | 正転 | 281 | 275 |
| | 反転 | 正転 | 272 | 269 |

追而

表 6.9.1-3 応力評価に用いる S_s 地震荷重の最大静的震度

| 基準地震動 | 水平地震動 | 鉛直地震動 | 最大床応答加速度 (Gal) | | 水平震度 C_H | 鉛直震度 C_V |
|------------|-------|-------|-------------------|------|----------------------------|----------------------------|
| | | | 水平方向 | 鉛直方向 | | |
| S_s -D1L | 正転 | 反転 | 346 | 688 | <u>0.36</u> * ¹ | 0.71 |
| S_s -12 | 正転 | 正転 | 245 | 739 | 0.25 | <u>0.76</u> * ¹ |

注記 *1：下線部は応力評価に用いる静的震度を示す。

追而

地震荷重は以下のとおりとする。

$$W_{hk} = C_H \cdot (m_D + m_s) \cdot g$$

$$W_{vk} = C_V \cdot (m_D + m_s) \cdot g$$

$$w_{vk} = C_V \cdot (m_D + m_s) \cdot g/A$$

ここで、

W_{hk} : 水平地震荷重 (N)

W_{vk} : 鉛直地震荷重 (N)

w_{vk} : 鉛直地震等分布荷重 (MPa)

C_H : 設計水平震度 = 0.36

C_V : 設計鉛直震度 = 0.76

m_D : 蓋の質量 (設計値) (kg) = 1000 (蓋 1, 10)
= 2000 (蓋 2, 3, 4, 5, 6, 7, 8, 9)

m_s : 積雪荷重による質量 (kg) = 72.1091 (蓋 1, 10)
= 90.4456 (蓋 2, 3, 4, 5, 6, 7, 8, 9)

g : 重力加速度 (m/s^2) = 9.80665

A : 蓋の面積 (mm^2) = 3323400 = 3.323×10^6 (蓋 1, 10)
= 4167950 = 4.168×10^6 (蓋 2, 3, 4, 5, 6, 7, 8, 9)

以上より、

蓋 (1, 10)

$$W_{hk} = 0.36 \times (1000 + 72.1091) \times 9.80665 \\ = 3784.96 \text{ N}$$

$$W_{vk} = 0.76 \times (1000 + 72.1091) \times 9.80665 \\ = 7990.48 \text{ N}$$

$$w_{vk} = 0.76 \times (1000 + 72.1091) \times 9.80665 / 3.323 \times 10^6 \\ = 2.40460 \times 10^{-3} \text{ MPa}$$

蓋 (2, 3, 4, 5, 6, 7, 8, 9)

$$W_{hk} = 0.36 \times (2000 + 90.4456) \times 9.80665 \\ = 7380.09 \text{ N}$$

$$W_{vk} = 0.76 \times (2000 + 90.4456) \times 9.80665 \\ = 15580.2 \text{ N}$$

$$w_{vk} = 0.76 \times (2000 + 90.4456) \times 9.80665 / 4.168 \times 10^6 \\ = 3.73805 \times 10^{-3} \text{ MPa}$$

(ロ) 各部の応力計算

蓋に作用する鉛直荷重（鉛直下向き）は、コンクリート躯体に支持される。また、蓋に作用する水平地震力は蓋を介して基礎ボルトに伝達し、基礎ボルトを介してコンクリート躯体に伝達するものとする。

(a-1) 蓋

蓋は、蓋端間で等分布荷重を受ける両端単純支持ばりとして検討を行う。蓋の水平地震荷重による面内応力は、発生応力が微小なため無視する。

(a-1-1) 蓋 (1, 10)

(a-1-1-1) 発生荷重<S_s地震時>

蓋の固定荷重による鉛直等分布荷重 $w_D = 2.95114 \times 10^{-3}$ MPa

蓋の積雪荷重による鉛直等分布荷重 $w_S = 2.12804 \times 10^{-4}$ MPa

蓋に作用する鉛直地震等分布荷重 $w_{vk} = 2.40460 \times 10^{-3}$ MPa

蓋に作用する鉛直等分布荷重

$$\begin{aligned} w &= w_D + w_S + w_{vk} \\ &= 2.95114 \times 10^{-3} + 2.12804 \times 10^{-4} + 2.40460 \times 10^{-3} \\ &= 5.56854 \times 10^{-3} \text{ MPa} \end{aligned}$$

支点間距離

$$L = 0.87 \times 10^3 \text{ mm}$$

単位幅当たり曲げモーメント

$$\begin{aligned} M &= w \cdot L^2 / 8 \\ &= 5.56854 \times 10^{-3} \times (0.87 \times 10^3)^2 / 8 \\ &= 526.853 \text{ N} \cdot \text{mm} / \text{mm} \end{aligned}$$

単位幅当たりせん断力

$$\begin{aligned} Q &= w \cdot L / 2 \\ &= 5.56854 \times 10^{-3} \times 0.87 \times 10^3 / 2 \\ &= 2.42231 \text{ N} / \text{mm} \end{aligned}$$

(a-1-1-2) 断面性能

蓋の厚さ

$$t = 30 \text{ mm}$$

蓋の単位幅当たりの断面係数

$$\begin{aligned} Z &= t^2 / 6 \\ &= 30^2 / 6 \\ &= 150 \text{ mm}^3 / \text{mm} \end{aligned}$$

蓋の単位幅当たりのせん断断面積

$$\begin{aligned} A_s &= t \\ &= 30 \text{ mm}^2 / \text{mm} \end{aligned}$$

(a-1-1-3) 発生応力<S_s地震時>

単位幅当たり曲げモーメント

$$M = 526.853 \text{ N} \cdot \text{mm} / \text{mm}$$

単位幅当たりせん断力

$$Q = 2.42231 \text{ N} / \text{mm}$$

曲げ応力

$$\begin{aligned} \sigma_b &= M / Z \\ &= 526.853 / 150 \end{aligned}$$

$$\begin{aligned}
&= 3.51235 \text{ MPa} = 4 \text{ MPa} \\
\text{せん断応力} \quad \tau &= Q/A_s \\
&= 2.42231/30 \\
&= 0.0807436 \text{ MPa} = 1 \text{ MPa} \\
\text{組合せ応力 (垂直+せん断)} \quad \sigma &= \sqrt{(\sigma_b^2 + 3 \cdot \tau^2)} \\
&= \sqrt{(4^2 + 3 \times 1^2)} \\
&= 4.35889 \text{ MPa} = 5 \text{ MPa}
\end{aligned}$$

(a-1-2) 蓋 (2, 3, 4, 5, 6, 7, 8, 9)

(a-1-2-1) 発生荷重<S_s地震時>

蓋の固定荷重による鉛直等分布荷重 $w_D = 4.70568 \times 10^{-3} \text{ MPa}$

蓋の積雪荷重による鉛直等分布荷重 $w_S = 2.12804 \times 10^{-4} \text{ MPa}$

蓋に作用する鉛直地震等分布荷重 $w_{vk} = 3.73805 \times 10^{-3} \text{ MPa}$

蓋に作用する鉛直等分布荷重

$$w = w_D + w_S + w_{vk}$$

$$= 4.70568 \times 10^{-3} + 2.12804 \times 10^{-4} + 3.73805 \times 10^{-3}$$

$$= 8.65663 \times 10^{-3} \text{ MPa}$$

支点間距離 $L = 1.535 \times 10^3 \text{ mm}$

単位幅当たり曲げモーメント $M = w \cdot L^2/8$

$$= 8.65653 \times 10^{-3} \times (1.535 \times 10^3)^2/8$$

$$= 2549.59 \text{ N}\cdot\text{mm}/\text{mm}$$

単位幅当たりせん断力 $Q = w \cdot L/2$

$$= 8.65653 \times 10^{-3} \times 1.535 \times 10^3/2$$

$$= 6.64388 \text{ N}/\text{mm}$$

(a-1-2-2) 断面性能

蓋の厚さ $t = 50$

蓋の単位幅当たりの断面係数 $Z = t^2/6$

$$= 50^2/6$$

$$= 416.666 \text{ mm}^3/\text{mm}$$

蓋の単位幅当たりのせん断断面積 $A_s = t$

$$= 50 \text{ mm}^2/\text{mm}$$

(a-1-2-3) 発生応力<S_s地震時>

単位幅当たり曲げモーメント $M = 2549.59 \text{ N}\cdot\text{mm}/\text{mm}$

単位幅当たりせん断力 $Q = 6.64388 \text{ N}/\text{mm}$

曲げ応力 $\sigma_b = M/Z$

$$= 2549.59/416.666$$

| | |
|----------------|---|
| | $=6.11902 \text{ MPa} = 7 \text{ MPa}$ |
| せん断応力 | $\tau = Q/A_s$ |
| | $=6.64388/50$ |
| | $=0.132877 \text{ MPa} = 1 \text{ MPa}$ |
| 組合せ応力 (垂直+せん断) | $\sigma = \sqrt{(\sigma_b^2 + 3 \cdot \tau^2)}$ |
| | $= \sqrt{(7^2 + 3 \times 1^2)}$ |
| | $=7.21110 \text{ MPa} = 8 \text{ MPa}$ |

(a-2) 基礎ボルト

蓋に作用する水平地震力は、蓋を介して基礎ボルトに伝達するものとする。

(a-2-1) 蓋 (1, 10)

(a-2-1-1) 発生荷重<S_s地震時>

| | |
|---------------------|---|
| 蓋に作用する水平地震荷重 | $W_{hk} = 3784.96 \text{ N}$ |
| 基礎ボルトの本数 | $n = 32 \text{ 本}$ |
| 基礎ボルト 1 本に作用するせん断荷重 | $Q = W_{hk}/n$ $= 3784.96/32$ $= 118.280 \text{ N/本}$ |

(a-2-1-2) 断面性能

| | |
|-----------------|--|
| 基礎ボルトの呼び径 (M16) | $\phi = 16 \text{ mm}$ |
| 基礎ボルトの呼び径断面積 | $A_m = \pi/4 \cdot \phi^2$ $= 201.061 \text{ mm}^2$ |

(a-2-1-3) 発生応力<S_s地震時>

| | |
|-------|--|
| せん断応力 | $\tau = Q/A_m$ $= 118.280/201.061$ $= 0.588279 \text{ MPa}$ $= 1 \text{ MPa}$ |
|-------|--|

(a-2-2) 蓋 (2, 3, 4, 5, 6, 7, 8, 9)

(a-2-2-1) 発生荷重<S_s地震時>

| | |
|---------------------|---|
| 蓋に作用する水平地震荷重 | $W_{hk} = 7380.09 \text{ N}$ |
| 基礎ボルトの本数 | $n = 40 \text{ 本}$ |
| 基礎ボルト 1 本に作用するせん断荷重 | $Q = W_{hk}/n$ $= 7380.09/40$ $= 184.502 \text{ N/本}$ |

(a-2-2-2) 断面性能

| | |
|-----------------|--|
| 基礎ボルトの呼び径 (M16) | $\phi = 16 \text{ mm}$ |
| 基礎ボルトの呼び径断面積 | $A_m = \pi/4 \cdot \phi^2$ $= 201.061 \text{ mm}^2$ |

(a-2-2-3) 発生応力<S_s地震時>

| | |
|-------|---|
| せん断応力 | $\tau = Q/A_m$ $= 184.502/201.061$ $= 0.917641 \text{ MPa}$ |
|-------|---|

=1 MPa

(a-3) コンクリート躯体部基礎ボルト

蓋に作用する水平地震力は、蓋を介して基礎ボルトに伝達し、基礎ボルトを介してコンクリート躯体に伝達されるものとする。

(a-3-1) 蓋 (1, 10)

(a-3-1-1) 発生荷重<S₀地震時>

コンクリート躯体部基礎ボルトのせん断荷重 : $Q=118.280 \text{ N/本}$

$=1.183 \times 10^2 \text{ N/本}$

(a-3-2) 蓋 (2, 3, 4, 5, 6, 7, 8, 9)

(a-3-2-1) 発生荷重<S₀地震時>

コンクリート躯体部基礎ボルトのせん断荷重 : $Q=184.502 \text{ N/本}$

$=1.845 \times 10^2 \text{ N/本}$

二. 基準津波+S_d地震時

(イ) 荷重条件

(a-1) 固定荷重

固定荷重は基準津波荷重を緩和する方向に作用することから、考慮しない。

(a-2) 積雪荷重

積雪荷重は基準津波荷重を緩和する方向に作用することから、考慮しない。
ただし、水平地震力を求めるにあたっては、積雪荷重による質量を考慮する。
積雪荷重はS_s地震時と同じ値とする。

(a-3) 基準津波荷重

基準津波時と同じ値とする。

(a-4) S_d地震荷重

弾性設計用地震動 S_dに伴う最大床応答加速度を表 6.9.1-4 に、応力評価に用いる S_d地震荷重の最大静的震度を表 6.9.1-5 に示す。震度は水平方向及び鉛直方向の最大床応答加速度を採用する。

鉛直地震荷重は鉛直震度が 1G を超えないため、鉛直上向きは考慮しない。また、鉛直下向きに固定荷重及び積雪荷重が作用するが、基準津波荷重を緩和する方向に作用することから、考慮しない。

水平地震荷重は、固定質量及び積雪質量による水平地震慣性力を考慮する。

表 6.9.1-4 弾性設計用地震動 S_dに伴う最大床応答加速度

| 弾性設計用地震動 | 水平地震動 | 鉛直地震動 | 最大床応答加速度 (Gal) | |
|---------------------|-------|-------|-------------------|------|
| | | | 水平方向 | 鉛直方向 |
| S _d -D1L | 正転 | 正転 | 192 | 357 |
| | 反転 | 正転 | 187 | 371 |
| | 正転 | 反転 | 199 | 373 |
| | 反転 | 反転 | 332 | 551 |

追而

表 6.9.1-5 応力評価に用いる S_d地震荷重の最大静的震度

| 弾性設計用 地震動 | 水平地震動 | 鉛直地震動 | 最大床応答加速度 (Gal) | | 水平震度 C _H | 鉛直震度 C _V |
|---------------------|-------|-------|-------------------|------|------------------------|------------------------|
| | | | 水平方向 | 鉛直方向 | | |
| S _d -D1L | 反転 | 反転 | 332 | 551 | 0.34 ^{*1} | 0.57 |

注記 *1：下線部は応力評価に用いる静的震度を示す。

追而

水平地震荷重は以下のとおりとする。

$$W_{hk} = C_H \cdot (m_D + m_s) \cdot g$$

ここで,

W_{hk} : 水平地震荷重 (N)

C_H : 設計水平震度 = 0.34

m_D : 蓋の質量 (設計値) (kg) = 1000 (蓋 1, 10)
= 2000 (蓋 2, 3, 4, 5, 6, 7, 8, 9)

m_s : 積雪荷重による質量 (kg) = 72.1091 (蓋 1, 10)
= 90.4456 (蓋 2, 3, 4, 5, 6, 7, 8, 9)

g : 重力加速度 (m/s^2) = 9.80665

以上より,

蓋 (1, 10)

$$\begin{aligned} W_{hk} &= 0.34 \times (1000 + 72.1091) \times 9.80665 \\ &= 3574.69 \text{ N} \end{aligned}$$

蓋 (2, 3, 4, 5, 6, 7, 8, 9)

$$\begin{aligned} W_{hk} &= 0.34 \times (2000 + 90.4456) \times 9.80665 \\ &= 6970.09 \text{ N} \end{aligned}$$

(ロ) 各部の応力計算

蓋に作用する基準津波荷重（鉛直上向き）及び S_d 水平地震力は、蓋を介して基礎ボルトに伝達し、基礎ボルトを介してコンクリート躯体に伝達するものとする。

(a-1) 蓋

蓋は、蓋端間で等分布荷重を受ける両端単純支持ばりとして検討を行う。
蓋の水平地震荷重による面内応力は、発生応力が微小なため無視する。

(a-1-1) 蓋 (1, 10)

(a-1-1-1) 発生荷重<基準津波+ S_d 地震時>

| | |
|---------------|--|
| 基準津波波圧 | $w = P_{kt}$ $= 0.226359 \text{ MPa}$ |
| 支点間距離 | $L = 0.87 \times 10^3 \text{ mm}$ |
| 単位幅当たり曲げモーメント | $M = w \cdot L^2/8$ $= 0.226359 \times (0.87 \times 10^3)^2/8$ $= 21416.3 \text{ N}\cdot\text{mm}/\text{mm}$ |
| 単位幅当たりせん断力 | $Q = w \cdot L/2$ $= 0.226359 \times 0.87 \times 10^3/2$ $= 98.4661 \text{ N}/\text{mm}$ |

(a-1-1-2) 断面性能

J I Sによる蓋厚の製造公差 -0.25 mm を考慮する。

| | |
|-----------------|--|
| 蓋の厚さ | $t = 30 - 0.25$ $= 29.75 \text{ mm}$ |
| 蓋の単位幅当たりの断面係数 | $Z = t^2/6$ $= 29.75^2/6$ $= 147.510 \text{ mm}^3/\text{mm}$ |
| 蓋の単位幅当たりのせん断断面積 | $A_s = t$ $= 29.75 \text{ mm}^2/\text{mm}$ |

(a-1-1-3) 発生応力<基準津波+ S_d 地震時>

| | |
|-----------------|--|
| 単位幅当たり曲げモーメント | $M = 21416.3 \text{ N}\cdot\text{mm}/\text{mm}$ |
| 単位幅当たりせん断力 | $Q = 98.4661 \text{ N}/\text{mm}$ |
| 曲げ応力 σ_b | $\sigma_b = M/Z$ $= 21416.3/147.510$ $= 145.185 \text{ MPa} = 146 \text{ MPa}$ |
| せん断応力 τ | $\tau = Q/A_s$ $= 98.4661/29.75$ $= 3.30978 \text{ MPa} = 4 \text{ MPa}$ |

$$\begin{aligned}
\text{組合せ応力 (垂直+せん断)} \quad \sigma &= \sqrt{(\sigma_b^2 + 3 \cdot \tau^2)} \\
&= \sqrt{(146^2 + 3 \times 4^2)} \\
&= 146.164 \text{ MPa} = 147 \text{ MPa}
\end{aligned}$$

(a-1-2) 蓋 (2, 3, 4, 5, 6, 7, 8, 9)

(a-1-2-1) 発生荷重<基準津波+S_d地震時>

$$\begin{aligned}
\text{基準津波波圧} \quad w &= P_{kt} \\
&= 0.226359 \text{ MPa} \\
\text{支点間距離} \quad L &= 1.535 \times 10^3 \text{ mm} \\
\text{単位幅当たり曲げモーメント} \quad M &= w \cdot L^2/8 \\
&= 0.226359 \times (1.535 \times 10^3)^2/8 \\
&= 66669.0 \text{ N}\cdot\text{mm}/\text{mm} \\
\text{単位幅当たりせん断力} \quad Q &= w \cdot L/2 \\
&= 0.226359 \times 1.535 \times 10^3/2 \\
&= 173.730 \text{ N}/\text{mm}
\end{aligned}$$

(a-1-2-2) 断面性能

$$\begin{aligned}
&\text{J I Sによる蓋厚の製造公差}-0.25 \text{ mmを考慮する。} \\
\text{蓋の厚さ} \quad t &= 50 - 0.25 \\
&= 49.75 \text{ mm} \\
\text{蓋の単位幅当たりの断面係数} \quad Z &= t^2/6 \\
&= 49.75^2/6 \\
&= 412.510 \text{ mm}^3/\text{mm} \\
\text{蓋の単位幅当たりのせん断断面積} \quad A_s &= t \\
&= 49.75 \text{ mm}^2/\text{mm}
\end{aligned}$$

(a-1-2-3) 発生応力<基準津波+S_d地震時>

$$\begin{aligned}
\text{単位幅当たり曲げモーメント} \quad M &= 66669.0 \text{ N}\cdot\text{mm}/\text{mm} \\
\text{単位幅当たりせん断力} \quad Q &= 173.730 \text{ N}/\text{mm} \\
\text{曲げ応力} \quad \sigma_b &= M/Z \\
&= 66669.0/412.510 \\
&= 161.617 \text{ MPa} = 162 \text{ MPa} \\
\text{せん断応力} \quad \tau &= Q/A_s \\
&= 173.730/49.75 \\
&= 3.49206 \text{ MPa} = 4 \text{ MPa} \\
\text{組合せ応力 (垂直+せん断)} \quad \sigma &= \sqrt{(\sigma_b^2 + 3 \cdot \tau^2)} \\
&= \sqrt{(162^2 + 3 \times 4^2)} \\
&= 162.148 \text{ MPa} = 163 \text{ MPa}
\end{aligned}$$

(a-2) 基礎ボルト

蓋に作用する基準津波荷重及び S_d 水平地震力は、蓋を介して基礎ボルトに伝達するものとする。

(a-2-1) 蓋 (1, 10)

(a-2-1-1) 発生荷重<基準津波+S_d地震時>

(a-2-1-1-1) 支点間距離 $L=870$ mm (基礎ボルトの負担幅 249 mm)

(a-2-1-1-1-1) 基礎ボルトに作用する引張荷重

$$\begin{aligned} \text{基準津波波圧} \quad w &= P_{kt} \\ &= 0.226359 \text{ MPa} \end{aligned}$$

$$\text{支点間距離} \quad L = 0.87 \times 10^3 \text{ mm}$$

蓋の端部に生じる単位幅当たりのせん断力

$$\begin{aligned} Q &= w \cdot L/2 \\ &= 0.226359 \times 870/2 \\ &= 98.4661 \text{ N/mm} \end{aligned}$$

$$\text{基礎ボルトの負担幅(mm)} \quad b = 249 \text{ mm}$$

$$\begin{aligned} \text{基礎ボルトの引張荷重} \quad P_{tb} &= Q \cdot b \\ &= 98.4661 \times 249 \\ &= 24518.0 \text{ N} \end{aligned}$$

(a-2-1-1-1-2) 基礎ボルトに作用するせん断荷重

$$\text{蓋に作用する水平地震荷重} \quad W_{hk} = 3574.72 \text{ N}$$

$$\text{基礎ボルトの本数} \quad n = 32 \text{ 本}$$

$$\begin{aligned} \text{基礎ボルトに作用するせん断荷重} \quad Q &= W_{hk}/n \\ &= 3574.72/32 \\ &= 111.710 \text{ N} \end{aligned}$$

(a-2-1-1-2) 支点間距離 $L=870$ mm (基礎ボルトの負担幅 218 mm)

(a-2-1-1-2-1) 基礎ボルトに作用する引張荷重

$$\begin{aligned} \text{基準津波波圧} \quad w &= P_{kt} \\ &= 0.226359 \text{ MPa} \end{aligned}$$

$$\text{支点間距離} \quad L = 0.87 \times 10^3 \text{ mm}$$

蓋の端部に生じる単位幅当たりのせん断力

$$\begin{aligned} Q &= w \cdot L/2 \\ &= 0.226359 \times 870/2 \\ &= 98.4661 \text{ N/mm} \end{aligned}$$

$$\text{基礎ボルトの負担幅(mm)} \quad b = 218 \text{ mm}$$

$$\begin{aligned} \text{基礎ボルトの引張荷重} \quad P_{tb} &= Q \cdot b \\ &= 98.4661 \times 218 \\ &= 21465.6 \text{ N} \end{aligned}$$

(a-2-1-1-2-2) 基礎ボルトに作用するせん断荷重
 蓋に作用する水平地震荷重 $W_{hk} = 3574.72 \text{ N}$
 基礎ボルトの本数 $n = 32 \text{ 本}$
 基礎ボルトに作用するせん断荷重 $Q = W_{hk}/n$
 $= 3574.72/32$
 $= 111.710 \text{ N}$

(a-2-1-1-3) 支点間距離 $L = 870 \text{ mm}$ (基礎ボルトの負担幅 187 mm)

(a-2-1-1-3-1) 基礎ボルトに作用する引張荷重
 基準津波波圧 $w = P_{kt}$
 $= 0.226359 \text{ MPa}$
 支点間距離 $L = 0.87 \times 10^3 \text{ mm}$
 蓋の端部に生じる単位幅当たりのせん断力
 $Q = w \cdot L/2$
 $= 0.226359 \times 870/2$
 $= 98.4661 \text{ N/mm}$
 基礎ボルトの負担幅 (mm) $b = 187 \text{ mm}$
 基礎ボルトの引張荷重 $P_{tb} = Q \cdot b$
 $= 98.4661 \times 187$
 $= 18413.1 \text{ N}$

(a-2-1-1-3-2) 基礎ボルトに作用するせん断荷重
 蓋に作用する水平地震荷重 $W_{hk} = 3574.72 \text{ N}$
 基礎ボルトの本数 $n = 32 \text{ 本}$
 基礎ボルトに作用するせん断荷重 $Q = W_{hk}/n$
 $= 3574.72/32$
 $= 111.710 \text{ N}$

(a-2-1-2) 断面性能
 基礎ボルトの呼び径 (M16) $\phi = 16 \text{ mm}$
 基礎ボルトの呼び径断面積 $A_m = \pi/4 \cdot \phi^2$
 $= 201.061 \text{ mm}^2$

(a-2-1-3) 発生応力<基準津波+S_d地震時>

(a-2-1-3-1) 支点間距離 $L = 870 \text{ mm}$ (基礎ボルトの負担幅 249 mm)
 基礎ボルトの引張応力 $\sigma_t = P_{tb}/A_m$
 $= 24518.0/201.061$
 $= 121.943 \text{ MPa} = 122 \text{ MPa}$
 基礎ボルトのせん断応力 $\tau = Q/A_m$
 $= 111.710/201.061$

$$=0.555602 \text{ MPa}$$

$$=1 \text{ MPa}$$

(a-2-1-3-2) 支点間距離 $L=870 \text{ mm}$ (基礎ボルトの負担幅 218 mm)

$$\begin{aligned} \text{基礎ボルトの引張応力} \quad \sigma_t &= P_{tb}/A_m \\ &= 21465.6/201.061 \\ &= 106.761 \text{ MPa} = 107 \text{ MPa} \end{aligned}$$

$$\begin{aligned} \text{基礎ボルトのせん断応力} \quad \tau &= Q/A_m \\ &= 111.710/201.061 \\ &= 0.555602 \text{ MPa} = 1 \text{ MPa} \end{aligned}$$

(a-2-1-3-3) 支点間距離 $L=870 \text{ mm}$ (基礎ボルトの負担幅 187 mm)

$$\begin{aligned} \text{基礎ボルトの引張応力} \quad \sigma_t &= P_{tb}/A_m \\ &= 18413.1/201.061 \\ &= 91.5796 \text{ MPa} = 92 \text{ MPa} \end{aligned}$$

$$\begin{aligned} \text{基礎ボルトのせん断応力} \quad \tau &= Q/A_m \\ &= 111.710/201.061 \\ &= 0.555602 \text{ MPa} = 1 \text{ MPa} \end{aligned}$$

(a-2-2) 蓋 (2, 3, 4, 5, 6, 7, 8, 9)

(a-2-2-1) 発生荷重<基準津波+S_d地震時>

(a-2-2-1-1) 支点間距離 $L=1535 \text{ mm}$ (基礎ボルトの負担幅 140 mm)

(a-2-2-1-1-1) 基礎ボルトに作用する引張荷重

$$\begin{aligned} \text{基準津波波圧} \quad w &= P_{kt} \\ &= 0.226359 \text{ MPa} \end{aligned}$$

$$\text{支点間距離} \quad L = 1.535 \times 10^3 \text{ mm}$$

蓋の端部に生じる単位幅当たりのせん断力

$$\begin{aligned} Q &= w \cdot L/2 \\ &= 0.226359 \times 1535/2 \\ &= 173.730 \text{ N/mm} \end{aligned}$$

$$\text{基礎ボルトの負担幅(mm)} \quad b = 140 \text{ mm}$$

$$\begin{aligned} \text{基礎ボルトの引張荷重} \quad P_{tb} &= Q \cdot b \\ &= 173.730 \times 140 \\ &= 24322.2 \text{ N} \end{aligned}$$

(a-2-2-1-1-2) 基礎ボルトに作用するせん断荷重

$$\text{蓋に作用する水平地震荷重} \quad W_{hk} = 6970.08 \text{ N}$$

$$\text{基礎ボルトの本数} \quad n = 40 \text{ 本}$$

$$\begin{aligned} \text{基礎ボルトに作用するせん断荷重} \quad Q &= W_{hk}/n \\ &= 6970.08/40 \\ &= 174.252 \text{ N} \end{aligned}$$

(a-2-2-1-2) 支点間距離 $L=870$ mm (基礎ボルトの負担幅 249 mm)

(a-2-2-1-2-1) 基礎ボルトに作用する引張荷重

$$\begin{aligned} \text{基準津波波圧} \quad w &= P_{kt} \\ &= 0.226359 \text{ MPa} \end{aligned}$$

$$\text{支点間距離} \quad L = 0.87 \times 10^3 \text{ mm}$$

蓋の端部に生じる単位幅当たりのせん断力

$$\begin{aligned} Q &= w \cdot L/2 \\ &= 0.226359 \times 870/2 \\ &= 98.4661 \text{ N/mm} \end{aligned}$$

$$\text{基礎ボルトの負担幅(mm)} \quad b = 249 \text{ mm}$$

$$\begin{aligned} \text{基礎ボルトの引張荷重} \quad P_{tb} &= Q \cdot b \\ &= 98.4661 \times 249 \\ &= 24518.0 \text{ N} \end{aligned}$$

(a-2-2-1-2-2) 基礎ボルトに作用するせん断荷重

$$\text{蓋に作用する水平地震荷重} \quad W_{hk} = 6970.08 \text{ N}$$

$$\text{基礎ボルトの本数} \quad n = 40 \text{ 本}$$

$$\begin{aligned} \text{基礎ボルトに作用するせん断荷重} \quad Q &= W_{hk}/n \\ &= 6970.08/40 \\ &= 174.252 \text{ N} \end{aligned}$$

(a-2-2-1-3) 支点間距離 $L=870$ mm (基礎ボルトの負担幅 194.5 mm)

(a-2-2-1-3-1) 基礎ボルトに作用する引張荷重

$$\begin{aligned} \text{基準津波波圧} \quad w &= P_{kt} \\ &= 0.226359 \text{ MPa} \end{aligned}$$

$$\text{支点間距離} \quad L = 0.87 \times 10^3 \text{ mm}$$

蓋の端部に生じる単位幅当たりのせん断力

$$\begin{aligned} Q &= w \cdot L/2 \\ &= 0.226359 \times 870/2 \\ &= 98.4661 \text{ N/mm} \end{aligned}$$

$$\text{基礎ボルトの負担幅(mm)} \quad b = 194.5 \text{ mm}$$

$$\begin{aligned} \text{基礎ボルトの引張荷重} \quad P_{tb} &= Q \cdot b \\ &= 98.4661 \times 194.5 \\ &= 19151.6 \text{ N} \end{aligned}$$

(a-2-2-1-3-2) 基礎ボルトに作用するせん断荷重

$$\text{蓋に作用する水平地震荷重} \quad W_{hk} = 6970.08 \text{ N}$$

$$\text{基礎ボルトの本数} \quad n = 40 \text{ 本}$$

$$\begin{aligned} \text{基礎ボルトに作用するせん断荷重} \quad Q &= W_{hk}/n \\ &= 6970.08/40 \end{aligned}$$

$$=174.252 \text{ N}$$

(a-2-2-1-4) 支点間距離 $L=870 \text{ mm}$ (基礎ボルトの負担幅 165 mm)

(a-2-2-1-4-1) 基礎ボルトに作用する引張荷重

$$\begin{aligned} \text{基準津波波圧} \quad w &= P_{kt} \\ &= 0.226359 \text{ MPa} \end{aligned}$$

$$\text{支点間距離} \quad L = 0.87 \times 10^3 \text{ mm}$$

蓋の端部に生じる単位幅当たりのせん断力

$$\begin{aligned} Q &= w \cdot L/2 \\ &= 0.226359 \times 870/2 \\ &= 98.4661 \text{ N/mm} \end{aligned}$$

$$\text{基礎ボルトの負担幅(mm)} \quad b = 165 \text{ mm}$$

$$\begin{aligned} \text{基礎ボルトの引張荷重} \quad P_{tb} &= Q \cdot b \\ &= 98.4661 \times 165 \\ &= 16246.9 \text{ N} \end{aligned}$$

(a-2-2-1-4-2) 基礎ボルトに作用するせん断荷重

$$\text{蓋に作用する水平地震荷重} \quad W_{hk} = 6970.08 \text{ N}$$

$$\text{基礎ボルトの本数} \quad n = 40 \text{ 本}$$

$$\begin{aligned} \text{基礎ボルトに作用するせん断荷重} \quad Q &= W_{hk}/n \\ &= 6970.08/40 \\ &= 174.252 \text{ N} \end{aligned}$$

(a-2-2-2) 断面性能

$$\text{基礎ボルトの呼び径 (M16)} \quad \phi = 16 \text{ mm}$$

$$\begin{aligned} \text{基礎ボルトの呼び径断面積} \quad A_m &= \pi/4 \cdot \phi^2 \\ &= 201.061 \text{ mm}^2 \end{aligned}$$

(a-2-2-3) 発生応力<基準津波+S_d地震時>

(a-2-2-3-1) 支点間距離 $L=1535 \text{ mm}$ (基礎ボルトの負担幅 140 mm)

$$\begin{aligned} \text{基礎ボルトの引張応力} \quad \sigma_t &= P_{tb}/A_m \\ &= 24322.2/201.061 \\ &= 120.969 \text{ MPa} = 121 \text{ MPa} \end{aligned}$$

$$\begin{aligned} \text{基礎ボルトのせん断応力} \quad \tau &= Q/A_m \\ &= 174.252/201.061 \\ &= 0.866662 \text{ MPa} = 1 \text{ MPa} \end{aligned}$$

(a-2-2-3-2) 支点間距離 $L=870 \text{ mm}$ 箇所 (基礎ボルトの負担幅 249 mm 箇所)

$$\begin{aligned} \text{基礎ボルトの引張応力} \quad \sigma_t &= P_{tb}/A_m \\ &= 24518.0/201.061 \end{aligned}$$

$$=121.943 \text{ MPa}=122 \text{ MPa}$$

基礎ボルトのせん断応力

$$\tau = Q/A_m$$

$$=174.252/201.061$$

$$=0.866662 \text{ MPa}=1 \text{ MPa}$$

(a-2-2-3-3) 支点間距離 L=870 mm 箇所 (基礎ボルトの負担幅 194.5 mm 箇所)

基礎ボルトの引張応力

$$\sigma_t = P_{tb}/A_m$$

$$=19151.6/201.061$$

$$=95.2526 \text{ MPa}=96 \text{ MPa}$$

基礎ボルトのせん断応力

$$\tau = Q/A_m$$

$$=174.252/201.061$$

$$=0.866662 \text{ MPa}=1 \text{ MPa}$$

(a-2-2-3-4) 支点間距離 L=870 mm 箇所 (基礎ボルトの負担幅 165 mm 箇所)

基礎ボルトの引張応力

$$\sigma_t = P_{tb}/A_m$$

$$=16246.9/201.061$$

$$=80.8058 \text{ MPa}=81 \text{ MPa}$$

基礎ボルトのせん断応力

$$\tau = Q/A_m$$

$$=174.252/201.061$$

$$=0.866662 \text{ MPa}=1 \text{ MPa}$$

(a-3) コンクリート躯体部基礎ボルト

蓋に作用する基準津波荷重及び水平地震力は、蓋を介して基礎ボルトに伝達し、基礎ボルトを介してコンクリート躯体部に伝達されるものとする。

(a-3-1) 蓋 (1, 10)

(a-3-1-1) 発生荷重<基準津波+S_d地震時>

(a-3-1-1-1) 支点間距離 L=870 mm (基礎ボルトの負担幅 249 mm)

$$\begin{aligned} \text{コンクリート躯体部基礎ボルトの引張荷重 : } P_{tb} &= 24518.0 \text{ N} \\ &= 2.452 \times 10^4 \text{ N} \end{aligned}$$

$$\begin{aligned} \text{コンクリート躯体部基礎ボルトのせん断荷重 : } Q &= 111.710 \text{ N} \\ &= 1.117 \times 10^2 \text{ N} \end{aligned}$$

(a-3-1-1-2) 支点間距離 L=870 mm (基礎ボルトの負担幅 218 mm)

$$\begin{aligned} \text{コンクリート躯体部基礎ボルトの引張荷重 : } P_{tb} &= 21465.6 \text{ N} \\ &= 2.147 \times 10^4 \text{ N} \end{aligned}$$

$$\begin{aligned} \text{コンクリート躯体部基礎ボルトのせん断荷重 : } Q &= 111.710 \text{ N} \\ &= 1.117 \times 10^2 \text{ N} \end{aligned}$$

(a-3-1-1-3) 支点間距離 L=870 mm (基礎ボルトの負担幅 187 mm)

$$\begin{aligned} \text{コンクリート躯体部基礎ボルトの引張荷重 : } P_{tb} &= 18413.1 \text{ N} \\ &= 1.841 \times 10^4 \text{ N} \end{aligned}$$

$$\begin{aligned} \text{コンクリート躯体部基礎ボルトのせん断荷重 : } Q &= 111.710 \text{ N} \\ &= 1.117 \times 10^2 \text{ N} \end{aligned}$$

(a-3-2) 蓋 (2, 3, 4, 5, 6, 7, 8, 9)

(a-3-2-1) 発生荷重<基準津波+S_d地震時>

(a-3-2-1-1) 支点間距離 L=1535 mm (基礎ボルトの負担幅 140 mm)

$$\begin{aligned} \text{コンクリート躯体部基礎ボルトの引張荷重 : } P_{tb} &= 24322.2 \text{ N} \\ &= 2.432 \times 10^4 \text{ N} \end{aligned}$$

$$\begin{aligned} \text{コンクリート躯体部基礎ボルトのせん断荷重 : } Q &= 174.252 \text{ N} \\ &= 1.743 \times 10^2 \text{ N} \end{aligned}$$

(a-3-2-1-2) 支点間距離 L=870 mm (基礎ボルトの負担幅 249 mm)

$$\begin{aligned} \text{コンクリート躯体部基礎ボルトの引張荷重 : } P_{tb} &= 24518.0 \text{ N} \\ &= 2.452 \times 10^4 \text{ N} \end{aligned}$$

$$\begin{aligned} \text{コンクリート躯体部基礎ボルトのせん断荷重 : } Q &= 174.252 \text{ N} \\ &= 1.743 \times 10^2 \text{ N} \end{aligned}$$

(a-3-2-1-3) 支点間距離 L=870 mm (基礎ボルトの負担幅 194.5 mm)

$$\text{コンクリート躯体部基礎ボルトの引張荷重 : } P_{tb} = 19151.6 \text{ N}$$

$$=1.915 \times 10^4 \text{ N}$$

コンクリート躯体部基礎ボルトのせん断荷重 : $Q=174.252 \text{ N}$

$$=1.743 \times 10^2 \text{ N}$$

(a-3-2-1-4) 支点間距離 $L=870 \text{ mm}$ (基礎ボルトの負担幅 165 mm)

コンクリート躯体部基礎ボルトの引張荷重 : $P_{tb} = 16246.9 \text{ N}$

$$=1.625 \times 10^4 \text{ N}$$

コンクリート躯体部基礎ボルトのせん断荷重 : $Q=174.252 \text{ N}$

$$=1.743 \times 10^2 \text{ N}$$

(c) 許容応力

許容応力は、常時は供用状態 A とし、基準津波時、 S_s 地震時、基準津波 + S_d 地震時は、供用状態 C (許容応力状態 III_AS) として設定する。

イ. 蓋の許容応力

許容応力算定用基準値

$$\begin{aligned} F &= \min [S_y, 0.7 \cdot S_u] \\ &= \min [205, 0.7 \times 520] \\ &= \min [205, 364] \\ &= 205 \text{ MPa} \end{aligned}$$

(イ) 常時

(a-1) 許容曲げ応力

$$\begin{aligned} f_b &= F/1.5 \\ &= 205/1.5 \\ &= 136 \text{ MPa} \end{aligned}$$

(a-2) 許容せん断応力

$$\begin{aligned} f_s &= F / (1.5 \cdot \sqrt{3}) \\ &= 205 / (1.5 \times \sqrt{3}) \\ &= 78 \text{ MPa} \end{aligned}$$

(a-3) 許容引張応力

$$\begin{aligned} f_t &= F/1.5 \\ &= 205/1.5 \\ &= 136 \text{ MPa} \end{aligned}$$

(ロ) 基準津波時、 S_s 地震時、基準津波 + S_d 地震時

(a-1) 許容曲げ応力

$$\begin{aligned} 1.5 \cdot f_b &= (F/1.5) \cdot 1.5 \\ &= (205/1.5) \times 1.5 \\ &= 136 \times 1.5 \\ &= 204 \text{ MPa} \end{aligned}$$

(a-2) 許容せん断応力

$$\begin{aligned} 1.5 \cdot f_s &= \{F / (1.5 \cdot \sqrt{3})\} \cdot 1.5 \\ &= \{205 / (1.5 \times \sqrt{3})\} \times 1.5 \\ &= 78 \times 1.5 \\ &= 117 \text{ MPa} \end{aligned}$$

(a-3) 許容引張応力

$$\begin{aligned} 1.5 \cdot f_t &= (F/1.5) \cdot 1.5 \\ &= (205/1.5) \times 1.5 \\ &= 136 \times 1.5 \\ &= 204 \text{ MPa} \end{aligned}$$

ロ. 基礎ボルトの許容応力
許容応力算定用基準値

$$\begin{aligned} F &= \min [S_y, 0.7 \cdot S_u] \\ &= \min [205, 0.7 \times 520] \\ &= \min [205, 364] \\ &= 205 \text{ MPa} \end{aligned}$$

(イ) 基準津波時
許容引張応力

$$\begin{aligned} 1.5 \cdot f_t &= (F/2) \cdot 1.5 \\ &= (205/2) \times 1.5 \\ &= 153 \text{ MPa} \end{aligned}$$

(ロ) S_s 地震時
許容せん断応力

$$\begin{aligned} 1.5 \cdot f_s &= \{F / (1.5 \cdot \sqrt{3})\} \cdot 1.5 \\ &= \{205 / (1.5 \times \sqrt{3})\} \times 1.5 \\ &= 78 \times 1.5 \\ &= 117 \text{ MPa} \end{aligned}$$

(ハ) 基準津波 + S_d 地震時

(a-1) 許容引張応力

$$\begin{aligned} 1.5 \cdot f_t &= (F/2) \cdot 1.5 \\ &= (205/2) \times 1.5 \\ &= 153 \text{ MPa} \end{aligned}$$

(a-2) 許容せん断応力

$$\begin{aligned} 1.5 \cdot f_s &= \{F / (1.5 \cdot \sqrt{3})\} \cdot 1.5 \\ &= \{205 / (1.5 \times \sqrt{3})\} \times 1.5 \\ &= 78 \times 1.5 \\ &= 117 \text{ MPa} \end{aligned}$$

ハ. コンクリート躯体部基礎ボルトの許容力及び評価

(イ) コンクリート躯体部基礎ボルトの許容力

(a-1) 許容引張力

(a-1-1) 基準津波時, 基準津波+S_d地震時

コンクリート躯体部基礎ボルトの許容引張力は、「各種合成構造設計指針・同解説（（社）日本建築学会 2010年11月）」に基づき設定する。

コンクリート躯体部基礎ボルトの許容引張力については、コンクリート躯体部基礎ボルトの降伏により決まる場合の P_{a1} と、定着したコンクリート躯体のコーン状破壊により決まる場合の P_{a2} を比較し、値が小さい方を許容引張力として設定する。

$$P_a = \min [P_{a1}, P_{a2}]$$

ここで、

P_a : コンクリート躯体部基礎ボルトの許容引張力

P_{a1} : コンクリート躯体部基礎ボルトの降伏により決まる場合の許容引張力

$$P_{a1} = \phi_1 \cdot s \sigma_{pa} \cdot sc \alpha$$

ここで、

ϕ_1 : 低減係数（短期荷重用） $= 1.0$

$s \sigma_{pa}$: コンクリート躯体部基礎ボルトの規格降伏点強度 $= 205 \text{ N/mm}^2$

$sc \alpha$: コンクリート躯体部基礎ボルトの軸部断面積とねじ部有効断面積の小さい方の値

$$sc \alpha = \min [\text{軸部断面積}, \text{ねじ部有効断面積}]$$

$$= \min [166, 157]$$

$$= 157 \text{ mm}^2$$

よって、

$$P_{a1} = 1.0 \times 205 \times 157$$

$$= 32185.0 \text{ N}$$

P_{a2} : 定着したコンクリート躯体のコーン状破壊により定まる場合のコンクリート

躯体部基礎ボルトの許容引張力 (N)

$$P_{a2} = \phi_2 \cdot c \sigma_t \cdot A_c$$

ここで、

ϕ_2 : 低減係数（短期荷重用） $= 2/3$

$c \sigma_t$: コーン状破壊に対するコンクリートの引張強度

$$c \sigma_t = 0.31 \cdot \sqrt{F_c}$$

$$= 1.38636 \text{ N/mm}^2$$

ここで、

F_c : コンクリートの設計基準強度 $= 20 \text{ N/mm}^2$

A_c : コーン状破壊面の有効水平投影面積

複数本のコンクリート躯体部基礎ボルトを近接して設ける場合は重複する面積を累加しない。

へりあき、はしあき寸法による欠損面積を考慮する。

コンクリート躯体部基礎ボルトのコンクリート躯体への有効埋込み長さは次のとおりとする。

有効埋込み長さ (mm)

蓋 (1, 10)

支点間距離 870 mm : $l_e=175$ mm

蓋 (2, 3, 4, 5, 6, 7, 8, 9)

支点間距離 1535 mm : $l_e=185$ mm (西側)

: $l_e=155$ mm (東側)

支点間距離 870 mm : $l_e=155$ mm

コンクリート躯体部基礎ボルトの定着板の直径は次のとおりとする。

定着板の直径 (mm)

製造公差 -1 mm を考慮する。

$$D=48-1$$

$$=47 \text{ mm}$$

よって、コーン状破壊面の有効水平投影面積は次のとおりとなる。

蓋 (1, 10)

支点間距離 870 mm, 基礎ボルトの負担幅 249 mm

$$A_c = 84000 \text{ mm}^2$$

支点間距離 870 mm, 基礎ボルトの負担幅 218 mm

$$A_c = 73000 \text{ mm}^2$$

支点間距離 870 mm, 基礎ボルトの負担幅 187 mm

$$A_c = 63000 \text{ mm}^2$$

蓋 (2, 3, 4, 5, 6, 7, 8, 9)

支点間距離 1535 mm, 基礎ボルトの負担幅 140 mm

$$A_c = 35000 \text{ mm}^2 \text{ (西側)}$$

$$A_c = 44000 \text{ mm}^2 \text{ (東側)}$$

なお、許容引張力の算定には小さい方の値の有効水平投影面積を用いる。

支点間距離 870 mm, 基礎ボルトの負担幅 249 mm

$$A_c = 77000 \text{ mm}^2$$

支点間距離 870 mm, 基礎ボルトの負担幅 194.5 mm

$$A_c = 61000 \text{ mm}^2$$

支点間距離 870 mm, 基礎ボルトの負担幅 165 mm

$$A_c = 52000 \text{ mm}^2$$

よって、

蓋 (1, 10)

支点間距離 870 mm, 基礎ボルトの負担幅 249 mm

$$P_{a2} = 2/3 \times 1.38636 \times 84000 \\ = 77636.1 \text{ N}$$

支点間距離 870 mm, 基礎ボルトの負担幅 218 mm

$$P_{a2} = 2/3 \times 1.38636 \times 73000 \\ = 67469.5 \text{ N}$$

支点間距離 870 mm, 基礎ボルトの負担幅 187 mm

$$P_{a2} = 2/3 \times 1.38636 \times 63000 \\ = 58227.1 \text{ N}$$

蓋 (2, 3, 4, 5, 6, 7, 8, 9)

支点間距離 1535 mm, 基礎ボルトの負担幅 140 mm

$$P_{a2} = 2/3 \times 1.38636 \times 35000 \\ = 32348.4 \text{ N}$$

支点間距離 870 mm, 基礎ボルトの負担幅 249 mm

$$P_{a2} = 2/3 \times 1.38636 \times 77000 \\ = 71166.4 \text{ N}$$

支点間距離 870 mm, 基礎ボルトの負担幅 194.5 mm

$$P_{a2} = 2/3 \times 1.38636 \times 61000 \\ = 56378.6 \text{ N}$$

支点間距離 870 mm, 基礎ボルトの負担幅 165 mm

$$P_{a2} = 2/3 \times 1.38636 \times 52000 \\ = 48060.4 \text{ N}$$

以上より,

蓋 (1, 10)

支点間距離 870 mm, 基礎ボルトの負担幅 249 mm

$$P_a = \min [P_{a1}, P_{a2}] \\ = \min [32185.0, 77636.1] \\ = 32185.0 \text{ N} = 3.219 \times 10^4 \text{ N}$$

支点間距離 870 mm, 基礎ボルトの負担幅 218 mm

$$P_a = \min [P_{a1}, P_{a2}] \\ = \min [32185.0, 67469.5] \\ = 32185.0 \text{ N} = 3.219 \times 10^4 \text{ N}$$

支点間距離 870 mm, 基礎ボルトの負担幅 187 mm

$$P_a = \min [P_{a1}, P_{a2}] \\ = \min [32185.0, 58227.1] \\ = 32185.0 \text{ N} = 3.219 \times 10^4 \text{ N}$$

蓋 (2, 3, 4, 5, 6, 7, 8, 9)

支点間距離 1535 mm, 基礎ボルトの負担幅 140 mm

$$P_a = \min [P_{a1}, P_{a2}] \\ = \min [32185.0, 32348.4]$$

$$=32185.0 \text{ N}=3.219 \times 10^4 \text{ N}$$

支点間距離 870 mm, 基礎ボルトの負担幅 249 mm

$$\begin{aligned} P_a &= \min [P_{a1}, P_{a2}] \\ &= \min [32185.0, 71666.4] \\ &= 32185.0 \text{ N}=3.219 \times 10^4 \text{ N} \end{aligned}$$

支点間距離 870 mm, 基礎ボルトの負担幅 194.5 mm

$$\begin{aligned} P_a &= \min [P_{a1}, P_{a2}] \\ &= \min [32185.0, 56378.6] \\ &= 32185.0 \text{ N}=3.219 \times 10^4 \text{ N} \end{aligned}$$

支点間距離 870 mm, 基礎ボルトの負担幅 165 mm

$$\begin{aligned} P_a &= \min [P_{a1}, P_{a2}] \\ &= \min [32185.0, 48060.4] \\ &= 32185.0 \text{ N}=3.219 \times 10^4 \text{ N} \end{aligned}$$

(a-2) 許容せん断力

(a-2-1) S_s 地震時, 基準津波+ S_d 地震時

コンクリート躯体部基礎ボルトの許容せん断力は,「各種合成構造設計指針・同解説((社)日本建築学会 2010年11月)」に基づき設定する。

なお,コンクリート躯体部基礎ボルトの許容せん断力については,コンクリート躯体部基礎ボルトのせん断強度により決まる場合の q_{a1} ,コンクリート躯体部基礎ボルトの定着したコンクリート躯体の支圧強度により決まる場合の q_{a2} ,及び,定着したコンクリート躯体のコーン状破壊により決まる場合の q_{a3} を比較し,値が小さい方を許容せん断力として設定する。

$$q_a = \min [q_{a1}, q_{a2}, q_{a3}]$$

ここで,

q_a : コンクリート躯体部基礎ボルトの許容せん断力

q_{a1} : コンクリート躯体部基礎ボルトのせん断強度により決まる場合の許容せん断力

$$q_{a1} = \phi_1 \cdot s \sigma_{qa} \cdot s c \alpha$$

ここで,

$$\phi_1 : \text{低減係数 (短期荷重用)} = 1.0$$

$$s \sigma_{qa} : \text{コンクリート躯体部基礎ボルトのせん断強度} = 143 \text{ MPa}$$

$$\begin{aligned} s \sigma_{qa} &= 0.7 \cdot s \sigma_y \\ &= 0.7 \times 205 \\ &= 143.5 \text{ N/mm}^2 \end{aligned}$$

ここで,

$s \sigma_y$: コンクリート躯体部基礎ボルトの規格降伏点強度

$$s \sigma_y = 205 \text{ N/mm}^2$$

$s c \alpha$: コンクリート躯体部基礎ボルトの軸部断面積とねじ部有効断面積の小さい方の値

$$\begin{aligned} s c \alpha &= \min [\text{軸部断面積}, \text{ねじ部有効断面積}] \\ &= \min [166, 157] \\ &= 157 \text{ mm}^2 \end{aligned}$$

よって,

$$\begin{aligned} q_{a1} &= 1.0 \times 143.5 \times 157 \\ &= 22529.5 \text{ N} \end{aligned}$$

q_{a2} : 基礎ボルトの定着したコンクリート躯体の支圧強度により決まる場合の許容せん断力

$$q_{a2} = \phi_2 \cdot c \sigma_{qa} \cdot s c \alpha$$

ここで,

$$\phi_2 : \text{低減係数 (短期荷重用)} = 2/3$$

$c \sigma_{qa}$: コンクリートの支圧強度

$$c \sigma_{qa} = 0.5 \cdot \sqrt{F_c \cdot E_c}$$

$$=339.116 \text{ N/mm}^2$$

ここで、

$$F_c : \text{コンクリートの設計基準強度} = 20 \text{ N/mm}^2$$

$$E_c : \text{コンクリートのヤング係数} = 2.3 \times 10^4 \text{ N/mm}^2$$

${}_{sc}\alpha$: コンクリート躯体部基礎ボルトの軸部断面積とねじ部有効断面積の小さい方の値

$$\begin{aligned} {}_{sc}\alpha &= \min [\text{軸部断面積}, \text{ねじ部有効断面積}] \\ &= \min [166, 157] \\ &= 157 \text{ mm}^2 \end{aligned}$$

よって、

$$\begin{aligned} q_{a2} &= 2/3 \times 339.116 \times 157 \\ &= 35494.1 \text{ N} \end{aligned}$$

q_{a3} : 定着したコンクリート躯体のコーン状破壊により決まる場合の許容せん断力

$$q_{a3} = \phi_2 \cdot {}_c\sigma_t \cdot A_{qc}$$

ここで、

$$\phi_2 : \text{低減係数 (短期荷重用)} = 2/3$$

${}_c\sigma_t$: コーン状破壊に対するコンクリートの引張強度

$$\begin{aligned} {}_c\sigma_t &= 0.31 \cdot \sqrt{F_c} \\ &= 1.38636 \text{ N/mm}^2 \end{aligned}$$

ここで、

$$F_c : \text{コンクリートの設計基準強度} = 20 \text{ N/mm}^2$$

A_{qc} : せん断力方向の側面におけるコーン状破壊面の有効投影面積

$$A_{qc} = 0.5 \cdot \pi \cdot c^2$$

ここで、

c : へりあき寸法 (mm)

最も短いへりあき寸法と、隣接するコンクリート躯体部基礎ボルトの有効投影面積が重ならない範囲までの最も短いへりあき方向寸法との、小さい方の値を代表して用いる。

蓋 (1, 10)

$$\text{最も短いへりあき寸法} = 160 \text{ mm}$$

隣接するコンクリート躯体部基礎ボルトの有効投影面積が重ならない範囲までの最も短いへりあき方向寸法 = 93.5 mm

$$\begin{aligned} c &= \min [160, 93.5] \\ &= 93.5 \text{ mm} \end{aligned}$$

$$\begin{aligned} A_{qc} &= 0.5 \cdot \pi \cdot c^2 \\ &= 0.5 \times \pi \times 93.5^2 \\ &= 13732.2 \text{ mm}^2 \end{aligned}$$

蓋 (2, 3, 4, 5, 6, 7, 8, 9)

最も短いへりあき寸法 = 60 mm

隣接するコンクリート躯体部基礎ボルトの有効投影面積が重ならない範囲までの最も短いへりあき方向寸法 = 70 mm

$$c = \min [60, 70]$$

$$= 60 \text{ mm}$$

$$A_{qc} = 0.5 \cdot \pi \cdot c^2$$

$$= 0.5 \times \pi \times 60^2$$

$$= 5654.86 \text{ mm}^2$$

よって,

蓋 (1, 10)

$$q_{a3} = \phi_2 \cdot c \cdot \sigma_t \cdot A_{qc}$$

$$= 2/3 \times 1.38636 \times 13732.2$$

$$= 12691.8 \text{ N}$$

蓋 (2, 3, 4, 5, 6, 7, 8, 9)

$$q_{a3} = \phi_2 \cdot c \cdot \sigma_t \cdot A_{qc}$$

$$= 2/3 \times 1.38636 \times 5654.86$$

$$= 5226.44 \text{ N}$$

以上より,

蓋 (1, 10)

$$q_a = \min [q_{a1}, q_{a2}, q_{a3}]$$

$$= \min [22529.5, 35494.1, 12691.8]$$

$$= 12691.8 \text{ N} = 1.269 \times 10^4 \text{ N}$$

蓋 (2, 3, 4, 5, 6, 7, 8, 9)

$$q_a = \min [q_{a1}, q_{a2}, q_{a3}]$$

$$= \min [22529.5, 35494.1, 5226.44]$$

$$= 5226.44 \text{ N} = 5.226 \times 10^3 \text{ N}$$

(ロ) コンクリート躯体部基礎ボルトの評価

引張力とせん断力を同時に受けることから、組合せ荷重についての検討を行う。

$$(P/P_a)^2 + (q/q_a)^2 \leq 1$$

ここで、

P : コンクリート躯体部基礎ボルトの引張力 (N)

P_a : コンクリート躯体部基礎ボルトの許容引張力 (N)

q : コンクリート躯体部基礎ボルトのせん断力 (N)

q_a : コンクリート躯体部基礎ボルトの許容せん断力 (N)

(a-1) 基準津波+S_d地震時

(a-1-1) 蓋 (1, 10)

(a-1-1-1) 支点間距離 L=870 mm (基礎ボルトの負担幅 249 mm)

$$P = 24518.0 \text{ N} = 2.452 \times 10^4 \text{ N}$$

$$P_a = 32185.0 \text{ N} = 3.219 \times 10^4 \text{ N}$$

$$q = 111.710 \text{ N} = 1.117 \times 10^2 \text{ N}$$

$$q_a = 12691.8 \text{ N} = 1.269 \times 10^4 \text{ N}$$

以上より、

$$\begin{aligned} & (P/P_a)^2 + (q/q_a)^2 \\ &= (2.452 \times 10^4 / 3.219 \times 10^4)^2 + (1.117 \times 10^2 / 1.269 \times 10^4)^2 \\ &= 0.5803 \leq 1 \end{aligned}$$

(a-1-1-2) 支点間距離 L=870 mm (基礎ボルトの負担幅 218 mm)

$$P = 21465.6 \text{ N} = 2.147 \times 10^4 \text{ N}$$

$$P_a = 32185.0 \text{ N} = 3.219 \times 10^4 \text{ N}$$

$$q = 111.710 \text{ N} = 1.117 \times 10^2 \text{ N}$$

$$q_a = 12691.8 \text{ N} = 1.269 \times 10^4 \text{ N}$$

以上より、

$$\begin{aligned} & (P/P_a)^2 + (q/q_a)^2 \\ &= (2.147 \times 10^4 / 3.219 \times 10^4)^2 + (1.117 \times 10^2 / 1.269 \times 10^4)^2 \\ &= 0.4449 \leq 1 \end{aligned}$$

(a-1-1-3) 支点間距離 L=870 mm (基礎ボルトの負担幅 187 mm)

$$P = 18413.1 \text{ N} = 1.841 \times 10^4 \text{ N}$$

$$P_a = 32185.0 \text{ N} = 3.219 \times 10^4 \text{ N}$$

$$q = 111.710 \text{ N} = 1.117 \times 10^2 \text{ N}$$

$$q_a = 12691.8 \text{ N} = 1.269 \times 10^4 \text{ N}$$

以上より、

$$(P/P_a)^2 + (q/q_a)^2$$

$$= (1.841 \times 10^4 / 3.219 \times 10^4)^2 + (1.117 \times 10^2 / 1.269 \times 10^4)^2$$

$$= 0.3272 \leq 1$$

(a-1-2) 蓋 (2, 3, 4, 5, 6, 7, 8, 9)

(a-1-2-1) 支点間距離 L=1535 mm (基礎ボルトの負担幅 140 mm)

$$P = 24322.2 \text{ N} = 2.432 \times 10^4 \text{ N}$$

$$P_a = 32185.0 \text{ N} = 3.219 \times 10^4 \text{ N}$$

$$q = 174.252 \text{ N} = 1.743 \times 10^2 \text{ N}$$

$$q_a = 5226.44 \text{ N} = 5.226 \times 10^3 \text{ N}$$

以上より,

$$(P/P_a)^2 + (q/q_a)^2$$

$$= (2.432 \times 10^4 / 3.219 \times 10^4)^2 + (1.743 \times 10^2 / 5.226 \times 10^3)^2$$

$$= 0.5719 \leq 1$$

(a-1-2-2) 支点間距離 L=870 mm (基礎ボルトの負担幅 249 mm)

$$P = 24518.0 \text{ N} = 2.452 \times 10^4 \text{ N}$$

$$P_a = 32185.0 \text{ N} = 3.219 \times 10^4 \text{ N}$$

$$q = 174.252 \text{ N} = 1.743 \times 10^2 \text{ N}$$

$$q_a = 5226.44 \text{ N} = 5.226 \times 10^3 \text{ N}$$

以上より,

$$(P/P_a)^2 + (q/q_a)^2$$

$$= (2.452 \times 10^4 / 3.219 \times 10^4)^2 + (1.743 \times 10^2 / 5.226 \times 10^3)^2$$

$$= 0.5813 \leq 1$$

(a-1-2-3) 支点間距離 L=870 mm (基礎ボルトの負担幅 194.5 mm)

$$P = 19151.6 \text{ N} = 1.915 \times 10^4 \text{ N}$$

$$P_a = 32185.0 \text{ N} = 3.219 \times 10^4 \text{ N}$$

$$q = 174.252 \text{ N} = 1.743 \times 10^2 \text{ N}$$

$$q_a = 5226.44 \text{ N} = 5.226 \times 10^3 \text{ N}$$

以上より,

$$(P/P_a)^2 + (q/q_a)^2$$

$$= (1.915 \times 10^4 / 3.219 \times 10^4)^2 + (1.743 \times 10^2 / 5.226 \times 10^3)^2$$

$$= 0.3550 \leq 1$$

(a-1-2-4) 支点間距離 L=870 mm (基礎ボルトの負担幅 165 mm)

$$P = 16246.9 \text{ N} = 1.625 \times 10^4 \text{ N}$$

$$P_a = 32185.0 \text{ N} = 3.219 \times 10^4 \text{ N}$$

$$q = 174.252 \text{ N} = 1.743 \times 10^2 \text{ N}$$

$$q_a = 5226.44 \text{ N} = 5.226 \times 10^3 \text{ N}$$

以上より,

$$\begin{aligned} & (P/P_a)^2 + (q/q_a)^2 \\ &= (1.625 \times 10^4 / 3.219 \times 10^4)^2 + (1.743 \times 10^2 / 5.226 \times 10^3)^2 \\ &= 0.2560 \leq 1 \end{aligned}$$

(c) 応力評価結果

イ. 常時

常時の評価結果を表 6.9.1-6 に示す。

表 6.9.1-6 常時の応力評価結果

| 部位 | | 評価応力 | 発生応力 (MPa) | 許容応力 (MPa) | 判定 発生応力 ≤ 許容応力 |
|----|------------------------|-------|---------------|---------------|-------------------|
| 蓋 | 1, 10 | 曲げ | 3 | 136 | OK |
| | | せん断 | 1 | 78 | OK |
| | | 組合せ*1 | 4 | 136 | OK |
| | 2, 3, 4, 5, 6, 7, 8, 9 | 曲げ | 4 | 136 | OK |
| | | せん断 | 1 | 78 | OK |
| | | 組合せ*1 | 5 | 136 | OK |

注記 *1 : 曲げとせん断の組合せである。

ロ. 基準津波時

基準津波時の評価結果を表 6.9.1-7 及び表 6.9.1-8 に示す。

表 6.9.1-7 基準津波時の応力評価結果 (蓋, 基礎ボルト)

| 部位 | | 評価応力 | 発生応力 (MPa) | 許容応力 (MPa) | 判定 発生応力 ≤ 許容応力 | |
|-------|------------------------|-------------------------------------|---------------|---------------|-------------------|----|
| 蓋 | 1, 10 | 曲げ | 146 | 204 | OK | |
| | | せん断 | 4 | 117 | OK | |
| | | 組合せ*1 | 147 | 204 | OK | |
| | 2, 3, 4, 5, 6, 7, 8, 9 | 曲げ | 162 | 204 | OK | |
| | | せん断 | 4 | 117 | OK | |
| | | 組合せ*1 | 163 | 204 | OK | |
| 基礎ボルト | 1, 10 | 支点間距離 L=870 mm, 基礎ボルトの負担幅 249 mm | 引張 | 121 | 153 | OK |
| | | 支点間距離 L=870 mm, 基礎ボルトの負担幅 218 mm | 引張 | 107 | 153 | OK |
| | | 支点間距離 L=870 mm, 基礎ボルトの負担幅 187 mm | 引張 | 92 | 153 | OK |
| | 2, 3, 4, 5, 6, 7, 8, 9 | 支点間距離 L = 1535 mm, 基礎ボルトの負担幅 140 mm | 引張 | 121 | 153 | OK |
| | | 支点間距離 L=870 mm, 基礎ボルトの負担幅 249 mm | 引張 | 122 | 153 | OK |
| | | 支点間距離 L=870 mm, 基礎ボルトの負担幅 194.5 mm | 引張 | 96 | 153 | OK |
| | | 支点間距離 L=870 mm, 基礎ボルトの負担幅 165 mm | 引張 | 81 | 153 | OK |

注記 *1: 曲げとせん断の組合せである。

表 6.9.1-8 基準津波時の評価結果（コンクリート躯体部基礎ボルト）

| 部位 | | 評価力 | 発生力 (N) | 許容力 (N) | 比*1 (-) | 判定 ≤ 1 | |
|----------------------------|---|------------------------------------|------------|---------------------|---------------------|----------------|----|
| コンクリート 躯体部 基礎 ボルト | 1, 10 | 支点間距離 L=870 mm, 基礎ボルトの負担幅 249 mm | 引張 | 2.452×10^4 | 3.219×10^4 | 0.7617 | OK |
| | | 支点間距離 L=870 mm, 基礎ボルトの負担幅 218 mm | 引張 | 2.147×10^4 | 3.219×10^4 | 0.6670 | OK |
| | | 支点間距離 L=870 mm, 基礎ボルトの負担幅 187 mm | 引張 | 1.841×10^4 | 3.219×10^4 | 0.5719 | OK |
| | 2, 3, 4, 5, 6, 7, 8, 9 | 支点間距離 L=1535 mm, 基礎ボルトの負担幅 140 mm | 引張 | 2.432×10^4 | 3.219×10^4 | 0.7555 | OK |
| | | 支点間距離 L=870 mm, 基礎ボルトの負担幅 249 mm | 引張 | 2.452×10^4 | 3.219×10^4 | 0.7617 | OK |
| | | 支点間距離 L=870 mm, 基礎ボルトの負担幅 194.5 mm | 引張 | 1.915×10^4 | 3.219×10^4 | 0.5949 | OK |
| | | 支点間距離 L=870 mm, 基礎ボルトの負担幅 165 mm | 引張 | 1.625×10^4 | 3.219×10^4 | 0.5048 | OK |

注記 *1: 比=発生力/許容力である。

ハ. S_s地震時

S_s地震時の評価結果を表 6.9.1-9 及び表 6.9.1-10 に示す。

表 6.9.1-9 S_s地震時の応力評価結果（蓋，基礎ボルト）

| 部位 | | 評価応力 | 発生応力 (MPa) | 許容応力 (MPa) | 判定 発生応力 ≤ 許容応力 |
|-----------|------------------------|-------|---------------|---------------|-------------------|
| 蓋 | 1, 10 | 曲げ | 4 | 204 | OK |
| | | せん断 | 1 | 117 | OK |
| | | 組合せ*1 | 5 | 204 | OK |
| | 2, 3, 4, 5, 6, 7, 8, 9 | 曲げ | 7 | 204 | OK |
| | | せん断 | 1 | 117 | OK |
| | | 組合せ*1 | 8 | 204 | OK |
| 基礎 ボルト | 1, 10 | せん断 | 1 | 117 | OK |
| | 2, 3, 4, 5, 6, 7, 8, 9 | せん断 | 1 | 117 | OK |

注記 *1：曲げとせん断の組合せである。

追而

表 6.9.1-10 S_s地震時の評価結果（コンクリート躯体部基礎ボルト）

| 部位 | | 評価力 | 発生力 (N) | 許容力 (N) | 比*1 (-) | 判定 ≤1 | |
|----------------------------|---|-------------------------------------|------------|---------------------|---------------------|----------|----|
| コンクリート 躯体部 基礎 ボルト | 1, 10 | 支点間距離 L=870 mm, 基礎ボルトの負担幅 249 mm | せん断 | 1.183×10^2 | 1.269×10^4 | 0.009322 | OK |
| | | 支点間距離 L=870 mm, 基礎ボルトの負担幅 218 mm | せん断 | 1.183×10^2 | 1.269×10^4 | 0.009322 | OK |
| | | 支点間距離 L=870 mm, 基礎ボルトの負担幅 187 mm | せん断 | 1.183×10^2 | 1.269×10^4 | 0.009322 | OK |
| | 2, 3, 4, 5, 6, 7, 8, 9 | 支点間距離 L = 1535 mm, 基礎ボルトの負担幅 140 mm | せん断 | 1.845×10^2 | 5.226×10^3 | 0.03530 | OK |
| | | 支点間距離 L=870 mm, 基礎ボルトの負担幅 249 mm | せん断 | 1.845×10^2 | 5.226×10^3 | 0.03530 | OK |
| | | 支点間距離 L=870 mm, 基礎ボルトの負担幅 194.5 mm | せん断 | 1.845×10^2 | 5.226×10^3 | 0.03530 | OK |
| | | 支点間距離 L=870 mm, 基礎ボルトの負担幅 165 mm | せん断 | 1.845×10^2 | 5.226×10^3 | 0.03530 | OK |

注記 *1: 比=発生力/許容力である。

追而

二. 基準津波+S_d地震時

基準津波+S_d地震時の評価結果を表 6.9.1-11 及び表 6.9.1-12 に示す。

表 6.9.1-11 基準津波+S_d地震時の応力評価結果（蓋，基礎ボルト）

| 部位 | | 評価応力 | 発生応力 (MPa) | 許容応力 (MPa) | 判定 発生応力 ≤ 許容応力 | |
|-------|------------------------|-------------------------------------|---------------|---------------|-------------------|----|
| 蓋 | 1, 10 | 曲げ | 146 | 204 | OK | |
| | | せん断 | 4 | 117 | OK | |
| | | 組合せ*1 | 147 | 204 | OK | |
| | 2, 3, 4, 5, 6, 7, 8, 9 | 曲げ | 162 | 204 | OK | |
| | | せん断 | 4 | 117 | OK | |
| | | 組合せ*1 | 163 | 204 | OK | |
| 基礎ボルト | 1, 10 | 支点間距離 L=870 mm, 基礎ボルトの負担幅 249 mm | 引張 | 122 | 153 | OK |
| | | | せん断 | 1 | 117 | OK |
| | | 支点間距離 L=870 mm, 基礎ボルトの負担幅 218 mm | 引張 | 107 | 153 | OK |
| | | | せん断 | 1 | 117 | OK |
| | | 支点間距離 L=870 mm, 基礎ボルトの負担幅 187 mm | 引張 | 92 | 153 | OK |
| | | | せん断 | 1 | 117 | OK |
| | 2, 3, 4, 5, 6, 7, 8, 9 | 支点間距離 L = 1535 mm, 基礎ボルトの負担幅 140 mm | 引張 | 121 | 153 | OK |
| | | | せん断 | 1 | 117 | OK |
| | | 支点間距離 L=870 mm, 基礎ボルトの負担幅 249 mm | 引張 | 122 | 153 | OK |
| | | | せん断 | 1 | 117 | OK |
| | | 支点間距離 L=870 mm, 基礎ボルトの負担幅 194.5 mm | 引張 | 96 | 153 | OK |
| | | | せん断 | 1 | 117 | OK |
| | | 支点間距離 L=870 mm, 基礎ボルトの負担幅 165 mm | 引張 | 81 | 153 | OK |
| | | | せん断 | 1 | 117 | OK |

注記 *1：曲げとせん断の組合せである。

追而

表 6.9.1-12 基準津波+S_d地震時の評価結果（コンクリート躯体部基礎ボルト）

| 部位 | | 評価力 | 発生力* ³ (N) | 許容力* ⁴ (N) | 比* ¹ (-) | 判定 ≤1 | |
|--|---|--|--------------------------|--------------------------|------------------------|----------|----|
| コン ク リ ー ト 軀 体 部 基 礎 ボ ル ト | 1, 10 | 支点間距離 L=870 mm, 基礎ボルトの 負担幅 249 mm | 引張 | 2.452×10 ⁴ | 3.219×10 ⁴ | 0.7617 | OK |
| | | | せん断 | 1.117×10 ² | 1.269×10 ⁴ | 0.008802 | OK |
| | | | 組合せ* ² | 0.5803 | 1 | 0.5803 | OK |
| | | 支点間距離 L=870 mm, 基礎ボルトの 負担幅 218 mm | 引張 | 2.147×10 ⁴ | 3.219×10 ⁴ | 0.6670 | OK |
| | | | せん断 | 1.117×10 ² | 1.269×10 ⁴ | 0.008802 | OK |
| | | | 組合せ* ² | 0.4449 | 1 | 0.4449 | OK |
| | | 支点間距離 L=870 mm, 基礎ボルトの 負担幅 187 mm | 引張 | 1.841×10 ⁴ | 3.219×10 ⁴ | 0.5719 | OK |
| | | | せん断 | 1.117×10 ² | 1.269×10 ⁴ | 0.008802 | OK |
| | | | 組合せ* ² | 0.3272 | 1 | 0.3272 | OK |
| | 2, 3, 4, 5, 6, 7, 8, 9 | 支点間距離 L = 1535 mm, 基礎ボル トの負担幅 140 mm | 引張 | 2.432×10 ⁴ | 3.219×10 ⁴ | 0.7555 | OK |
| | | | せん断 | 1.743×10 ² | 5.226×10 ³ | 0.03335 | OK |
| | | | 組合せ* ² | 0.5719 | 1 | 0.5719 | OK |
| | | 支点間距離 L=870 mm, 基礎ボルトの 負担幅 249 mm | 引張 | 2.452×10 ⁴ | 3.219×10 ⁴ | 0.7617 | OK |
| | | | せん断 | 1.743×10 ² | 5.226×10 ³ | 0.03335 | OK |
| | | | 組合せ* ² | 0.5813 | 1 | 0.5813 | OK |
| | | 支点間距離 L=870 mm, 基礎ボルトの 負担幅 194.5 mm | 引張 | 1.915×10 ⁴ | 3.219×10 ⁴ | 0.5949 | OK |
| | | | せん断 | 1.743×10 ² | 5.226×10 ³ | 0.03335 | OK |
| | | | 組合せ* ² | 0.3550 | 1 | 0.3550 | OK |
| 支点間距離 L=870 mm, 基礎ボルトの 負担幅 165 mm | | 引張 | 1.625×10 ⁴ | 3.219×10 ⁴ | 0.5048 | OK | |
| | | せん断 | 1.743×10 ² | 5.226×10 ³ | 0.03335 | OK | |
| | | 組合せ* ² | 0.2560 | 1 | 0.2560 | OK | |

注記 *1：比=発生力/許容力である。

*2：引張とせん断の組合せである。

*3：組合せは、(引張力比)²+ (せん断力比)²の値である。

*4：組合せは、(引張力比)²+ (せん断力比)²の値が1以下であることの確認。

追
而

- b. 放水路ゲート点検用開口部浸水防止蓋の設計に関する補足説明
追而
- c. S A用海水ピット開口部浸水防止蓋の設計に関する補足説明
追而
- d. 緊急用海水ポンプピット点検用開口部浸水防止蓋の設計に関する補足説明
追而
- e. 緊急用海水ポンプ室人員用開口部浸水防止蓋の設計に関する補足説明
追而
- f. 緊急用海水ポンプ点検用開口部浸水防止蓋の設計に関する補足説明
追而

g. 格納容器圧力逃がし装置格納槽点検用水密ハッチの設計に関する補足説明

(a) 固有値解析

イ. 固有振動数の計算

上蓋は、全周囲を固定ボルトにより支持されていることから、周辺固定の長方形板モデルとする。周辺固定の長方形板モデルの一次固有振動数 f は、「機械工学便覧 (1986 年), 日本機械学会」より、次式を用いて算出する。

$$f = \frac{\lambda \cdot \pi \cdot \frac{h_p}{2}}{2 \cdot b^2} \cdot \sqrt{\frac{E \cdot g}{3 \cdot (1 - \nu^2) \cdot \rho}}$$

ここで、

a : モデル化に用いる蓋材の幅 (長辺) (m)

b : モデル化に用いる蓋材の長さ (短辺) (m)

f : 一次固有振動数 (Hz)

λ : 振動数係数 (a/b 及び振動系によって決まる係数) 「機械工学便覧 (1986 年), 日本機械学会」の周辺固定の長方形板モデルより, $a/b=1$ のとき $\lambda=3.65$, $a/b=1.5$ のとき $\lambda=2.74$, $a/b=2$ のとき $\lambda=2.49$

π : 円周率 = 3.14159

h_p : 上蓋の厚さ (m) (公称厚) = 0.030

E : 縦弾性係数 (MPa) = 1.93666×10^5

JSME S NC1-2005/2007 付録材料図表 Part6 表 1 を用いて計算する。温度 40 °C におけるオーステナイト系ステンレス鋼の縦弾性係数は、温度 20 °C の縦弾性係数 195000 MPa と、温度 50 °C の縦弾性係数 193000 MPa より、直線補間を用いて計算する。

$$\begin{aligned} E &= E_{20} - \frac{(t_{40} - t_{20}) \cdot (E_{50} - E_{20})}{(t_{50} - t_{20})} \\ &= 195000 - \frac{(40 - 20) \times (193000 - 195000)}{(50 - 20)} \\ &= 1.93666 \times 10^5 \text{ (MPa)} \end{aligned}$$

ここで、

t_{20} , t_{40} , t_{50} : 温度 (各 20°C, 40°C, 50°C)

E_{20} , E_{50} : 各温度時のオーステナイト系ステンレス鋼の縦弾性係数 (E_{20} : 20°C の時 195000MPa, E_{50} : 50°C の時 193000MPa)

g : 重力加速度 (m/s^2) = 9.80665

ν : ポアソン比 = 0.3

ρ : 材料の密度 (kg/m^3) オーステナイト系ステンレス鋼 = 7930

表3 上蓋の固有振動数の算出条件

| | モデル化に用いる 上蓋の幅 a (m) | モデル化に用いる 上蓋の長さ b (m) | 振動数係数 $\lambda^{※1※2}$ | 一次固有振動数 $f^{※1※2}$ (Hz) |
|--------|------------------------|-------------------------|---------------------------|----------------------------|
| 水密ハッチA | 2.580 | 2.320 | 2.74 | 35.8752 |
| 水密ハッチB | 2.620 | 2.130 | 2.74 | 42.5597 |

注記 ※1 水密ハッチAの振動数係数 λ は、 $a/b \doteq 1.1$ の場合の定数 λ が無いいため、より小さな値として算出される $a/b = 1.5$ の場合の定数 $\lambda = 2.74$ を用いた。

※2 水密ハッチBの振動数係数 λ は、 $a/b \doteq 1.2$ の場合の定数 λ が無いいため、より小さな値として算出される $a/b = 1.5$ の場合の定数 $\lambda = 2.74$ を用いた。

※3 水密ハッチAの一次固有振動数 f は以上より、

$$f = \frac{2.74 \times 3.14159 \times \frac{0.030}{2}}{2 \times 2.320^2} \sqrt{\frac{1.93666 \times 10^{11} \times 9.80665}{3 \times (1 - 0.3^2) \times 7930 \times 9.80665}}$$

$$= 35.8752$$

※4 水密ハッチBの一次固有振動数 f は以上より、

$$f = \frac{2.74 \times 3.14159 \times \frac{0.030}{2}}{2 \times 2.130^2} \sqrt{\frac{1.93666 \times 10^{11} \times 9.80665}{3 \times (1 - 0.3^2) \times 7930 \times 9.80665}}$$

$$= 42.5597$$

ロ. 固有値解析結果

水密ハッチA

固有振動数は 35 Hz であり、20 Hz 以上であることから、剛構造である。

水密ハッチB

固有振動数は 42 Hz であり、20 Hz 以上であることから、剛構造である。

(b) 応力計算

(イ) 荷重条件

(a-1) 常時作用する固定荷重 (D) <重畳時及び地震時>

固定荷重は以下のとおりとする。

$$D = m \cdot g$$

ここで、

D : 固定荷重 (N)

m : 上蓋の質量 (kg)

表 4 水密ハッチの質量及び固定荷重

| | 上蓋の質量m (kg) | 固定荷重D ^{※1※2} (N) |
|--------|-------------|---------------------------|
| 水密ハッチA | 1700 | 16671.3 |
| 水密ハッチB | 1600 | 15690.6 |

注記 ※1 水密ハッチAの固定荷重Dは以上より

$$D = 1700 \times 9.80665 \\ = 16671.3$$

※2 水密ハッチBの固定荷重Dは以上より

$$D = 1600 \times 9.80665 \\ = 15690.6$$

(a-2) 積雪荷重(P_s) <重畳時及び地震時>

積雪荷重 P_s については、30cmの積雪量を想定し、平均的な積雪荷重を与えるための係数0.35を考慮する。

積雪荷重による質量は次式を用いて算出する。

$$P_s = k \cdot \omega \cdot H$$

ここで、

P_s : 積雪荷重 (Pa)

k : 定数 (積雪荷重算出) = 0.35

ω : 積雪の単位荷重 (Pa/cm) = 20

H : 垂直積雪高さ (cm) = 30

以上より、

$$P_s = 0.35 \times 20 \times 30 \\ = 210$$

(a-3) 浸水津波荷重(P_h) <重畳時>

浸水津波荷重として、経路からの津波又は溢水に伴う水位を用いた静水圧を考慮し、次式を用いて算出する。

$$P_h = \rho_0 \cdot g \cdot h$$

ここで、

P_h : 浸水津波荷重による静水圧荷重 (Pa)

ρ_0 : 海水の密度 (kg/m^3) = 1030

港湾の施設の技術上の基準・同解説 ((社) 日本港湾協会 平成 19 年)
より

h : 水位差 (m) = 0.200

以上より,

$$P_h = 1030 \times 9.80665 \times 0.200 \\ = 2020.17$$

(a-4) 余震荷重(S_d) <重畳時>

余震荷重は、添付資料 V-1-1-2-2-5「津波防護に関する施設の設計方針」に示す津波荷重との重畳を考慮する弾性設計用地震動 S_d を入力して得られた地震応答解析に伴う格納容器圧力逃がし装置格納槽上版における最大応答加速度の最大値を静的震度として、水密ハッチに作用する余震による慣性力を考慮する。なお、静的震度は最大応答加速度を重力加速度で除して算出する。

水密ハッチの最大床応答加速度を表5に、応力評価に用いる S_d 地震荷重の最大静的震度を表6に示す。

表5 水密ハッチの最大床応答加速度

| 弾性設計用地震動 | 水平地震動 | 鉛直地震動 | 最大床応答加速度 (Gal) | |
|-----------|-------|-------|----------------|------|
| | | | 水平方向 | 鉛直方向 |
| S_d-D1L | 正転 | 正転 | 192 | 357 |
| | 反転 | 正転 | 187 | 371 |
| | 正転 | 反転 | 199 | 373 |
| | 反転 | 反転 | 332 | 551 |

追而

表6 応力評価に用いる最大静的震度

| 弾性設計用地震動 | 水平地震動 | 鉛直地震動 | 最大床応答加速度 (Gal) | | 水平震度 C_H | 鉛直震度 C_V |
|-----------|-------|-------|----------------|------|------------|------------|
| | | | 水平方向 | 鉛直方向 | | |
| S_d-D1L | 反転 | 反転 | 332 | 551 | 0.34 | 0.57 |

追而

地震荷重による水方向の静的地震荷重は常時作用する固定荷重(D)及び積雪荷重(P_s)を考慮し次式を用いて算出する。

$$P_{HSd} = C_H \cdot (D + P_s \cdot A)$$

ここで,

P_{HSd} : 水平方向の静的地震荷重 (N) 表7参照

A : 上蓋に積雪が載荷する面積 (上蓋端面積) (m^2) 表7参照

地震荷重による鉛直方向の静的地震荷重は常時作用する固定荷重(D)及び積雪荷重(P_s)を考慮し次式を用いて算出する。

$$P_{VSd} = C_V \cdot (D + P_s \cdot A)$$

ここで,

P_{Vsd} : 鉛直方向の静的地震荷重 (N) 表 7 参照

表 7 余震による地震荷重

| | 上蓋端 幅 (m) | 上蓋端 長さ(m) | 上蓋面積 A (m ²) | 水平地震荷重 ^{※1※2} P_{Hsd} (N) | 鉛直地震荷重 ^{※3※4} P_{Vsd} (N) |
|--------|--------------|--------------|-----------------------------|---|---|
| 水密ハッチA | 2.32 | 2.58 | 5.9856 | 6095.61 | 10219.1 |
| 水密ハッチB | 2.13 | 2.62 | 5.5806 | 5733.26 | 9611.64 |

注記 ※1 水密ハッチAの水平地震荷重 P_{Hsd} は以上より

$$P_{Hsd} = 0.34 \times (16671.3 + 210 \times 5.9856) \\ = 6095.61$$

※2 水密ハッチBの水平地震荷重 P_{Hsd} は以上より

$$P_{Vsd} = 0.34 \times (15690.6 + 210 \times 5.5806) \\ = 5733.26$$

※3 水密ハッチAの鉛直地震荷重 P_{Vsd} は以上より

$$P_{Vsd} = 0.57 \times (16671.3 + 210 \times 5.9856) \\ = 10219.1$$

※4 水密ハッチBの鉛直地震荷重 P_{Vsd} は以上より

$$P_{Vsd} = 0.57 \times (15690.6 + 210 \times 5.5806) \\ = 9611.64$$

(a-5) 地震荷重(S_s) <地震時>

水基準地震動 S_s による荷重を考慮する。

ここで、応力評価に用いる静的震度は格納容器圧力逃がし装置格納槽上版における最大加速度を重力加速度で除して算出し、各方向での最大値を用いる。表 8 に応力評価に用いる静的震度 (評価用震度) を示す。

表 8 設計用震度

| 設置場所 及び床面 高さ(m) | 水平方向 | | | 鉛直方向 | | |
|-----------------------|----------------------|-----|----------------------------------|----------------------|-----|----------------------------------|
| | 設計用地震動 (表 2-1 より) | 裕度 | 評価用震度 C_{HSS} ^{※1} | 設計用地震動 (表 2-2 より) | 裕度 | 評価用震度 C_{VSS} ^{※2} |
| 8.2 | 1.10 | 2.5 | 2.75 | 0.96 | 1.2 | 1.152 |

注記 ※1 水平方向の評価用震度 C_{HSS} は以上より

$$C_{HSS} = 1.10 \times 2.5 \\ = 2.75$$

※2 鉛直方向の評価用震度 C_{VSS} は以上より

$$C_{VSS} = 0.96 \times 1.2$$

=1.152

表 2-1 基準地震動 S_s による原子炉建屋内機器・配管系の
水平方向評価用震度 (1.2DAS_s × 「④地盤物性等のばらつき」1.5倍)

| 質点 番号 | 標高 EL (m) | 水平方向 評価用震度 (1.2DAS _s × 「④地盤物性等のばらつき」1.5倍) | | | | | | | | | | | | | | | | | |
|----------|-----------------|---|------|--------------------|------|--------------------|------|--------------------|------|--------------------|------|--------------------|------|--------------------|------|--------------------|------|-----------------|--|
| | | 基準地震動S _s | | | | | | | | | | | | | | | | | |
| | | S _s -D1 | | S _s -11 | | S _s -12 | | S _s -13 | | S _s -14 | | S _s -21 | | S _s -22 | | S _s -31 | | 評価用震度 (8波包絡) | |
| NS | EW | NS | EW | NS | EW | NS | EW | NS | EW | NS | EW | NS | EW | NS | EW | NS | EW | | |
| 1 | 63.65 | 2.15 | 2.19 | 1.49 | 1.43 | 1.74 | 1.11 | 1.70 | 1.14 | 0.99 | 1.10 | 2.40 | 2.01 | 2.34 | 2.45 | 2.09 | 2.33 | 2.45 | |
| 2 | 57.00 | 1.89 | 1.94 | 1.16 | 1.14 | 1.38 | 0.90 | 1.35 | 0.92 | 0.86 | 0.90 | 2.09 | 1.58 | 2.01 | 2.06 | 1.95 | 2.04 | 2.09 | |
| 3 | 46.50 | 1.56 | 1.55 | 0.59 | 0.63 | 0.71 | 0.65 | 0.72 | 0.65 | 0.59 | 0.51 | 1.61 | 0.77 | 1.58 | 1.29 | 1.74 | 1.71 | 1.74 | |
| 4 | 38.80 | 1.41 | 1.41 | 0.47 | 0.57 | 0.60 | 0.60 | 0.60 | 0.60 | 0.48 | 0.47 | 1.37 | 0.63 | 1.32 | 1.04 | 1.62 | 1.67 | 1.67 | |
| 5 | 34.70 | 1.35 | 1.32 | 0.41 | 0.54 | 0.54 | 0.57 | 0.54 | 0.60 | 0.45 | 0.45 | 1.17 | 0.59 | 1.28 | 0.95 | 1.62 | 1.64 | 1.64 | |
| 6 | 29.00 | 1.22 | 1.25 | 0.45 | 0.48 | 0.51 | 0.59 | 0.50 | 0.60 | 0.44 | 0.45 | 1.05 | 0.53 | 1.07 | 0.81 | 1.55 | 1.53 | 1.55 | |
| 7 | 20.30 | 1.07 | 1.07 | 0.45 | 0.53 | 0.50 | 0.57 | 0.54 | 0.59 | 0.45 | 0.44 | 0.89 | 0.56 | 0.89 | 0.75 | 1.26 | 1.34 | 1.34 | |
| 8 | 14.00 | 0.96 | 0.98 | 0.50 | 0.54 | 0.51 | 0.53 | 0.57 | 0.54 | 0.45 | 0.41 | 0.89 | 0.56 | 0.75 | 0.66 | 1.10 | 1.13 | 1.13 | |
| 10 | 2.00 | 0.80 | 0.80 | 0.48 | 0.51 | 0.51 | 0.42 | 0.57 | 0.44 | 0.44 | 0.36 | 0.78 | 0.53 | 0.68 | 0.60 | 0.95 | 0.96 | 0.96 | |
| 11 | -4.00 | 0.77 | 0.77 | 0.47 | 0.48 | 0.53 | 0.39 | 0.59 | 0.42 | 0.41 | 0.35 | 0.72 | 0.51 | 0.68 | 0.56 | 0.87 | 0.83 | 0.87 | |

追而

表 2-2 基準地震動 S_s による原子炉建屋内機器・配管系の
鉛直方向評価用震度 (1.2DAS_vs × 「④地盤物性等のばらつき」1.5倍)

| 質点 番号 | 標高 EL (m) | 鉛直方向 評価用震度 (1.2DAS _v s × 「④地盤物性等のばらつき」1.5倍) | | | | | | | | | |
|----------|-----------------|---|--------------------|--------------------|--------------------|--------------------|--------------------|--------------------|--------------------|-----------------|--|
| | | 基準地震動S _s | | | | | | | | | |
| | | S _s -D1 | S _s -11 | S _s -12 | S _s -13 | S _s -14 | S _s -21 | S _s -22 | S _s -31 | 評価用震度 (8波包絡) | |
| 25 | 63.65 | 4.14 | 2.25 | 2.87 | 3.11 | 1.86 | 3.30 | 3.57 | 2.18 | 4.14 | |
| 24 | 63.65 | 3.42 | 1.55 | 1.80 | 1.79 | 1.28 | 2.04 | 2.99 | 2.01 | | |
| 23 | 63.65 | 2.99 | 1.83 | 2.12 | 2.22 | 1.53 | 2.40 | 2.58 | 1.49 | | |
| 22 | 63.65 | 2.12 | 1.86 | 2.22 | 2.25 | 1.58 | 2.40 | 2.57 | 0.87 | | |
| 1 | 63.65 | 1.35 | 1.65 | 1.34 | 1.34 | 1.07 | 1.88 | 1.82 | 0.69 | 1.88 | |
| 2 | 57.00 | 1.31 | 1.55 | 1.26 | 1.29 | 0.98 | 1.77 | 1.71 | 0.66 | 1.77 | |
| 3 | 46.50 | 1.20 | 1.28 | 1.08 | 1.10 | 0.80 | 1.52 | 1.38 | 0.57 | 1.52 | |
| 4 | 38.80 | 1.16 | 1.19 | 1.07 | 1.07 | 0.75 | 1.44 | 1.29 | 0.54 | 1.44 | |
| 5 | 34.70 | 1.08 | 1.10 | 1.02 | 1.01 | 0.72 | 1.34 | 1.19 | 0.51 | 1.34 | |
| 6 | 29.00 | 0.99 | 0.98 | 0.93 | 0.92 | 0.71 | 1.17 | 1.08 | 0.45 | 1.17 | |
| 7 | 20.30 | 0.95 | 0.81 | 0.81 | 0.78 | 0.68 | 1.01 | 1.01 | 0.38 | 1.01 | |
| 8 | 14.00 | 0.93 | 0.75 | 0.78 | 0.75 | 0.65 | 0.93 | 0.99 | 0.35 | 0.99 | |
| 10 | 2.00 | 0.89 | 0.77 | 0.77 | 0.69 | 0.60 | 0.81 | 0.92 | 0.32 | 0.92 | |
| 11 | -4.00 | 0.84 | 0.77 | 0.74 | 0.71 | 0.60 | 0.77 | 0.90 | 0.32 | 0.90 | |

追而

地震荷重による水方向の静的地震荷重は常時作用する固定荷重 (D) 及び積雪荷重 (P_s) を考慮し次式を用いて算出する。

$$P_{HSS} = C_{HSS} \cdot (D + P_s \cdot A)$$

ここで、

P_{HSS} : 水平方向の静的地震荷重 (N) 表 9 参照

A : 上蓋に積雪が載荷する面積 (上蓋端面積) (m²) 表 9 参照

地震荷重による鉛直方向の静的地震荷重は常時作用する固定荷重 (D) 及び積雪荷重 (P_s) を考慮し次式を用いて算出する。

$$P_{VSS} = C_V \cdot (D + P_s \cdot A)$$

ここで、

P_{VSS} : 鉛直方向の静的地震荷重 (N) 表 9 参照

表 9 地震 (S_s) による地震荷重

| | 上蓋端幅 (m) | 上蓋端長さ (m) | 上蓋面積 A (m ²) | 水平地震荷重 ^{※1※2} P _{HSS} (N) | 鉛直地震荷重 ^{※3※4} P _{VSS} (N) |
|---------|----------|-----------|--------------------------|---|---|
| 水密ハッチ A | 2.32 | 2.58 | 5.9856 | 49302.8 | 20653.4 |
| 水密ハッチ B | 2.13 | 2.62 | 5.5806 | 46371.9 | 19425.6 |

注記 ※1 水密ハッチ A の水平地震荷重 P_{HSS} は以上より

$$P_{HSS} = 2.75 \times (16671.3 + 210 \times 5.9856) \\ = 49302.8$$

※2 水密ハッチ B の水平地震荷重 P_{HSS} は以上より

$$P_{HSS} = 2.75 \times (15690.6 + 210 \times 5.5806) \\ = 46371.9$$

※3 水密ハッチ A の鉛直地震荷重 P_{VSS} は以上より

$$P_{VSS} = 1.152 \times (16671.3 + 210 \times 5.9856) \\ = 20653.4$$

※4 水密ハッチ B の鉛直地震荷重 P_{VSS} は以上より

$$P_{VSS} = 1.152 \times (15690.6 + 210 \times 5.5806) \\ = 19425.6$$

(ロ) 各部の応力計算

(a-1) 上蓋

上蓋に作用する鉛直荷重（鉛直下向き方向）は、コンクリート躯体に支持されることから、上蓋には曲げ及びせん断力が作用する。

上蓋は固定ボルト間を支点とした等分布荷重を受ける周辺固定の長方形板モデルとして検討を行う。

尚、水平荷重（水平2方向）は固定ボルトに対するせん断力として評価を行う。

(a-1-1) 重畳時

(a-1-1-1) 曲げ応力<重畳時>

四辺を固定された長方形板に等分布荷重が作用した際に、上蓋に発生する曲げ応力は、「機械工学便覧（1986年）、日本機械学会」より次式を用いて算出する。

$$\sigma_b = \frac{\beta_2 \cdot \left(\frac{D + P_{vsd}}{A} + Ph + P_s \right) \cdot a'^2}{t^2}$$

ここで、

σ_b : 周辺固定の長方形板モデルに等分布荷重が作用する際の曲げ応力 (MPa)

表 10 参照

β_2 : 周辺固定の長方形板モデルに等分布荷重が作用する際の応力係数

「機械工学便覧（1986年）、日本機械学会 第4編材料力学 第37表及び 第160図」より求める。表 10 参照

t : 上蓋の厚さ（公称値） (m) = 0.030

a' : モデル化に用いる上蓋の短辺長さ (m) 表 10 参照

b' : モデル化に用いる上蓋の長辺長さ (m) 表 10 参照

表 10 上蓋の応力算出緒元及び曲げ応力

| | モデル化に用いる上蓋の短辺長さ a' (m) | モデル化に用いる上蓋の長辺長さ b' (m) | 応力係数 ^{*1*2} β_2 | 上蓋の厚さ t (m) | 上蓋の曲げ応力 ^{*3*4} σ_b (MPa) |
|--------|------------------------|------------------------|-----------------------------------|-------------|---|
| 水密ハッチA | 2.320 | 2.580 | 0.33 | 0.030 | 34 |
| 水密ハッチB | 2.130 | 2.620 | 0.45 | 0.030 | 39 |

注記 ※1 水密ハッチAの応力係数 β_2 は b' / a' から

$$b' / a' = 2.580 / 2.320$$

$$= 1.11207$$

第 160 図から

$$\beta_2 = 0.33$$

※2 水密ハッチ B の応力係数 β_2 は b' / a' から

$$b' / a' = 2.620 / 2.130$$

$$= 1.23004$$

第 160 図から

$$\beta_2 = 0.45$$

※3 水密ハッチ A の曲げ応力 σ_b は以上より

$$\sigma_b = \frac{0.33 \times \left(\frac{16671.3 + 10219.1}{5.9856} + 2020.17 + 210 \right) \times 2.320^2}{0.030^2} \cdot 10^{-6}$$

$$= 13.2675$$

小数点第一位切り上げより 14MPa

※4 水密ハッチ B の曲げ応力 σ_b は以上より

$$\sigma_b = \frac{0.45 \times \left(\frac{15690.6 + 9611.64}{5.5806} + 2020.17 + 210 \right) \times 2.130^2}{0.030^2} \cdot 10^{-6}$$

$$= 15.34401$$

小数点第一位切り上げより 16MPa

(a-1-1-2) せん断応力<重畳時>

四辺を固定された長方形板に等分布荷重が作用した際に、上蓋に発生するせん断応力は、すべての荷重が支持縁に作用するとして次式を用いて算出する。

$$\tau = \frac{D + P_{v,d} + (Ph + P_s) \cdot A}{t \cdot (a' + b') \cdot 2}$$

ここで、

τ : せん断応力 (MPa)

水密ハッチ A のせん断応力 τ は以上より

$$\tau = \frac{16671.3 + 10219.1 + (2020.17 + 210) \times 5.9856}{0.030 \times (2.320 + 2.580) \times 2} \cdot 10^{-6}$$

$$= 0.136868$$

小数点第一位切り上げより 1MPa

水密ハッチBのせん断応力 τ は以上より

$$\tau = \frac{15690.6 + 9611.64 + (2020.17 + 210) \times 5.5806}{0.030 \times (2.130 + 2.620) \times 2} \cdot 10^{-6}$$

$$= 0.132449$$

小数点第一位切り上げより 1MPa

(a-1-1-3) 組合せ応力<重畳時>

前項にて算出した垂直応力やせん断応力について、「J S M E S N C 1 - 2005/2007 SSB-3121.1」より次式を用いて算出する。

$$\sigma = \sqrt{\sigma_x^2 + \sigma_y^2 - \sigma_x \cdot \sigma_y + 3 \cdot \tau_{xy}^2}$$

ここで、

σ : 組合せ応力 (MPa) 表 11 参照

σ_x, σ_y : 互いに直交する垂直応力 (σ_b と同値) (MPa) 表 11 参照

τ_{xy} : σ_x, σ_y の作用する面内のせん断応力 (τ と同値) (MPa)
表 11 参照

表 11 組合せ応力

| | 垂直応力 σ_x (σ_b) (MPa) | 垂直応力 σ_y (σ_b) (MPa) | せん断応力 τ_{xy} (τ) (MPa) | 組合せ応力 ^{※1※2} σ (MPa) |
|--------|---|---|---------------------------------------|---|
| 水密ハッチA | 14 | 14 | 1 | 15 |
| 水密ハッチB | 16 | 16 | 1 | 17 |

注記 ※1 水密ハッチAの組合せ応力 σ は以上より

$$\sigma = \sqrt{14^2 + 14^2 - 14 \times 14 + 3 \times 1^2}$$

$$= 14.1067$$

小数点第一位切り上げより 15MPa

※2 水密ハッチBの組合せ応力 σ は以上より

$$\sigma = \sqrt{16^2 + 16^2 - 16 \times 16 + 3 \times 1^2}$$

$$= 16.0935$$

小数点第一位切り上げより 17MPa

(a-1-2) 地震時

(a-1-2-1) 曲げ応力<地震時>

四辺を固定された長方形板に等分布荷重が作用した際に、上蓋に発生する曲げ応力は、「機械工学便覧（1986年）、日本機械学会」より次式を用いて算出する。

$$\sigma_{bss} = \frac{\beta_2 \cdot \left(\frac{D + P_{Vss}}{A} + P_s \right) \cdot a'^2}{t^2}$$

ここで、

σ_{bss} : 周辺固定の長方形板モデルに等分布荷重が作用する際の曲げ応力 (MPa)

t : 上蓋の厚さの公称値 (m) = 0.030

水密ハッチAの曲げ応力 σ_{bss} は以上より

$$\sigma_{bss} = \frac{0.33 \times \left(\frac{16671.3 + 20653.4}{5.9856} + 210 \right) \times 2.320^2}{0.030^2} \cdot 10^{-6}$$
$$= 12.7210$$

小数点第一位切り上げより 13MPa

水密ハッチBの曲げ応力 σ_{bss} は以上より

$$\sigma_{bss} = \frac{0.45 \times \left(\frac{15690.6 + 19425.6}{5.5806} + 210 \right) \times 2.130^2}{0.030^2} \cdot 10^{-6}$$
$$= 14.7507$$

小数点第一位切り上げより 15MPa

(a-1-2-2) せん断応力<地震時>

四辺を固定された長方形板に等分布荷重が作用した際に、上蓋に発生するせん断応力は、すべての荷重が支持縁に作用するとして次式を用いて算出する。

$$\tau_{ss} = \frac{D + P_{Vss} + P_s \cdot A}{t \cdot (a' + b')} \cdot 2$$

ここで、

τ_{ss} : せん断応力 (MPa)

水密ハッチAのせん断応力 τ は以上より

$$\tau_{ss} = \frac{16671.3 + 20653.4 + 210 \times 5.9856}{0.030 \times (2.320 + 2.580)} \cdot 10^{-6}$$
$$= 0.131230$$

小数点第一位切り上げより 1MPa

水密ハッチBのせん断応力 τ は以上より

$$\tau_{SS} = \frac{15690.6 + 19425.6 + 210 \times 5.5806}{0.030 \times (2.130 + 2.620) \times 2} \cdot 10^{-6}$$

$$= 0.127327$$

小数点第一位切り上げより 1MPa

(a-1-2-3) 組合せ応力<地震時>

前項にて算出した垂直応力やせん断応力について、「J S M E S N C 1 - 2005/2007 SSB-3121.1」より次式を用いて算出する。結果を表 12 に示す。

$$\sigma_{SS} = \sqrt{\sigma_x^2 + \sigma_y^2 - \sigma_x \cdot \sigma_y + 3 \cdot \tau_{xy}^2}$$

表 11 組合せ応力

| | 垂直応力 σ_x (σ_{bSS}) (MPa) | 垂直応力 σ_y (σ_{bSS}) (MPa) | せん断応力 τ_{xy} (τ_{SS}) (MPa) | 組合せ応力 ^{※1※2} σ_{SS} (MPa) |
|--------|--|--|---|---|
| 水密ハッチA | 13 | 13 | 1 | 14 |
| 水密ハッチB | 15 | 15 | 1 | 16 |

注記 ※1 水密ハッチAの組合せ応力 σ は以上より

$$\sigma_{SS} = \sqrt{13^2 + 13^2 - 13 \times 13 + 3 \times 1^2}$$

$$= 13.1149$$

小数点第一位切り上げより 14MPa

※2 水密ハッチBの組合せ応力 σ は以上より

$$\sigma_{SS} = \sqrt{15^2 + 15^2 - 15 \times 15 + 3 \times 1^2}$$

$$= 15.0997$$

小数点第一位切り上げより 16MPa

(a-2) 固定ボルト

固定ボルトに作用する水平荷重（水平震度）は、上蓋を介して固定ボルトにせん断力が作用する。

尚、鉛直下向き方向の荷重は固定ボルトに作用しないこと及び余震による鉛直震度が 1G を超えないため上蓋の浮き上がりによる固定ボルトの引張が起これないことから、固定ボルトは引張の評価を行わない。地震時は鉛直震度が 1G を超えるため引張も考慮する。

(a-2-1) 重畳時

(a-2-1-1) せん断応力<重畳時>

余震による水平荷重が作用した際の固定ボルトのせん断応力は、以下の式より算出する。

$$\tau_k = \frac{P_{Hsd}}{n \cdot A_b}$$

ここで、

τ_k : 固定ボルトに作用するせん断応力 (MPa) 表 10 参照

n : 固定ボルトの本数 (本) 表 10 参照

A_b : 固定ボルトの呼び径の断面積 (mm²) 呼び径 M20mm より

$$\begin{aligned} A_b &= \pi \cdot 20^2 / 4 \\ &= 3.14159 \times 20^2 / 4 \\ &= 314.159 \end{aligned}$$

表 10 固定ボルトのせん断応力

| | 固定ボルト本数 n (本) | 固定ボルトの断面積 A_b (mm ²) | せん断応力 ^{※1※2} τ_k (MPa) |
|---------|--------------------|---------------------------------------|---|
| 水密ハッチ A | 20 | 314.159 | 1 |
| 水密ハッチ B | 22 | 314.159 | 1 |

注記 ※1 水密ハッチ A の固定ボルトせん断応力は以上より

$$\begin{aligned} \tau_k &= \frac{6095.61}{20 \times 314.159} \\ &= 0.970147 \end{aligned}$$

小数点第一位切り上げより 1MPa

※2 水密ハッチ B の固定ボルトせん断応力は以上より

$$\begin{aligned} \tau_k &= \frac{5733.26}{22 \times 314.159} \\ &= 0.829525 \end{aligned}$$

小数点第一位切り上げより 1MPa

(a-2-2) 地震時

(a-2-2-1) 引張応力<地震時>

地震 (S_s) による鉛直荷重が作用した際の固定ボルトの引張応力は、以下の式より算出する。

$$\sigma_{tss} = \frac{P_{vss} - D - P_s \cdot A}{n \cdot A_b}$$

ここで、

σ_{tss} : 鉛直方向の地震荷重 (S_s) による固定ボルトに作用する引張応力 (MPa)

水密ハッチAの固定ボルトの引張応力は以上より

$$\begin{aligned}\sigma_{tss} &= \frac{20653.4 - 16671.3 - 210 \times 5.9856}{20 \times 314.159} \\ &= 0.433717\end{aligned}$$

小数点第一位切り上げより 1MPa

水密ハッチBの固定ボルトの引張応力は以上より

$$\begin{aligned}\sigma_{tss} &= \frac{19425.6 - 15690.6 - 210 \times 5.5806}{22 \times 314.159} \\ &= 0.370842\end{aligned}$$

小数点第一位切り上げより 1MPa

(a-2-2-2) せん断応力<地震時>

地震 (S_s) による水平荷重が作用した際の固定ボルトのせん断応力は、以下の式より算出する。

$$\tau_{kss} = \frac{P_{HSS}}{n \cdot A_b}$$

ここで、

τ_{kss} : 水平方向の地震荷重 (S_s) による固定ボルトに作用するせん断応力 (MPa)

水密ハッチAの固定ボルトせん断応力は以上より

$$\begin{aligned}\tau_{kss} &= \frac{49302.8}{20 \times 314.159} \\ &= 7.84679\end{aligned}$$

小数点第一位切り上げより 8MPa

水密ハッチBの固定ボルトせん断応力は以上より

$$\begin{aligned}\tau_{ks} &= \frac{46371.9}{22 \times 314.159} \\ &= 6.70938\end{aligned}$$

小数点第一位切り上げより 7MPa

(a-2-2-3) 組合せ応力<地震時>

地震 (S_s) 荷重が作用した際の固定ボルトの引張応力とせん断応力を同時に受けるボルトは「J S M E S N C 1-2005/2007 SSB-3132」より、その影響を許容値にて考慮する。

(ハ) 許容応力

許容応力は、 S_s 地震時、浸水津波+ S_d 地震時は、供用状態C(許容応力状態Ⅲ ΔS)として設定する。

(a-1) 上蓋の許容応力

許容応力算定用基準値

$$\begin{aligned}F &= \min [S_y, 0.7 \cdot S_u] \\ &= \min [205, 0.7 \times 520] \\ &= \min [205, 364] \\ &= 205 \text{ MPa}\end{aligned}$$

(a-1-1) 許容曲げ応力

$$\begin{aligned}1.5 \cdot f_b &= (F/1.5) \cdot 1.5 \\ &= (205/1.5) \times 1.5 \\ &= 136 \times 1.5 \\ &= 204 \text{ MPa}\end{aligned}$$

(a-1-2) 許容せん断応力

$$\begin{aligned}1.5 \cdot f_s &= \{F / (1.5 \cdot \sqrt{3})\} \cdot 1.5 \\ &= \{205 / (1.5 \times \sqrt{3})\} \times 1.5 \\ &= 78 \times 1.5 \\ &= 117 \text{ MPa}\end{aligned}$$

(a-1-3) 許容引張応力

$$\begin{aligned}1.5 \cdot f_t &= (F/1.5) \cdot 1.5 \\ &= (205/1.5) \times 1.5 \\ &= 136 \times 1.5 \\ &= 204 \text{ MPa}\end{aligned}$$

(a-2) 基礎ボルトの許容応力
許容応力算定用基準値

$$\begin{aligned} F &= \min [S_y, 0.7 \cdot S_u] \\ &= \min [205, 0.7 \times 520] \\ &= \min [205, 364] \\ &= 205 \text{ MPa} \end{aligned}$$

(a-2-1) 許容引張応力

$$\begin{aligned} 1.5 \cdot f_t &= (F/2) \cdot 1.5 \\ &= (205/2) \times 1.5 \\ &= 153 \text{ MPa} \end{aligned}$$

(a-2-2) 許容せん断応力

$$\begin{aligned} 1.5 \cdot f_s &= \{F / (1.5 \cdot \sqrt{3})\} \cdot 1.5 \\ &= \{205 / (1.5 \times \sqrt{3})\} \times 1.5 \\ &= 78 \times 1.5 \\ &= 117 \text{ MPa} \end{aligned}$$

(a-2-3) 組合せを考慮した許容引張応力

$$\begin{aligned} f_{ts} &= 1.4 \cdot 1.5 \cdot f_t - 1.6 \tau \\ &= 1.4 \times 153 - 1.6 \times 8 \\ &= 201.4 \text{ MPa} \\ &> 1.5 \cdot f_t = 153 \text{ MPa より} \\ &\text{許容引張応力は } 1.5 \cdot f_t \text{ を使用する。} \end{aligned}$$

h. 常設低圧代替注水系格納槽可搬型ポンプ用水密ハッチの設計に関する補足説明

追而

i. 常設低圧代替注水系格納槽点検用水密ハッチの設計に関する補足説明

追而

j. 海水ポンプ室ケーブル点検口浸水防止蓋の設計に関する補足説明

(a) 固有値解析

イ. 固有振動数の計算

蓋は、たて方向に基礎ボルトにより支持されていることから、たて方向で支持された蓋端間の両端単純支持ばりとしてモデル化する。両端単純支持ばりの一次固有振動数は、「機械工学便覧(1986年)、日本機械学会」より、次のとおり与えられる。

$$f = \lambda^2 / (2\pi \cdot L^2) \cdot \sqrt{E \cdot I / (\rho \cdot A)}$$

ここで、

f : 一次固有振動数 (Hz)

λ : 振動数係数 $= \pi$

L : はりの長さ (m) $= 0.85$

E : 縦弾性係数 (Pa) $= 1.94 \times 10^{11}$

JSME S NC1-2005/2007 付録材料図表 Part6 表 1 を用いて計算する。

温度 40 °C におけるオーステナイト系ステンレス鋼の縦弾性係数は、温度 20 °C の縦弾性係数 195000 MPa と、温度 50 °C の縦弾性係数 193000 MPa より、比例法を用いて計算する。

$$195000 + (193000 - 195000) \times (40 - 20) / (50 - 20) = 193667 \\ = 1.94 \times 10^{11} \text{ MPa}$$

I : 断面二次モーメント (m⁴) $= 5.592 \times 10^{-7}$

$$I = b \cdot h^3 / 12$$

ここで、

b : はりの幅 (m) $= 1.2$

h : はりのせい (蓋の厚さ) (m) $= 0.01775$

J I S による蓋厚の製造公差 -0.25 mm を考慮する。

$$h = 0.018 - 0.00025 \\ = 0.01775 \text{ m}$$

以上より、

$$I = b \cdot h^3 / 12$$

$$= 1.2 \times 0.01775^3 / 12$$

$$= 5.59235 \times 10^{-7}$$

$$= 5.592 \times 10^{-7} \text{ m}^4$$

ρ : はりの単位体積質量 (kg/m³) $= 7.93 \times 10^3$

A : はりの断面積 (m²) $= 2.130 \times 10^{-2}$

$$A = b \cdot h$$

$$= 1.2 \times 0.01775$$

$$= 2.130 \times 10^{-2} \text{ m}^2$$

以上より,

$$\begin{aligned} f &= \pi^2 / (2\pi \cdot 0.85^2) \cdot \sqrt{(1.94 \times 10^{11} \times 5.592 \times 10^{-7} / (7.93 \times 10^3 \times 2.130 \times 10^{-2}))} \\ &= 55.0985 \\ &= 55 \text{ Hz} \end{aligned}$$

ロ. 固有値解析結果

固有振動数は 55 Hz であり, 20 Hz 以上であることから, 剛構造である。

(b) 応力計算

イ. 常時

(イ) 荷重条件

(a-1) 固定荷重

固定荷重は以下のとおりとする。

$$D = m_D \cdot g$$

ここで,

D : 固定荷重 (N)

m_D : 蓋の質量 (kg)

g : 重力加速度 (m/s^2)

$$m_D = A \cdot t \cdot \rho$$

ここで,

A : 蓋の面積 (mm^2)

t : 蓋の厚さ (mm) = 18

ρ : 蓋の単位体積質量 (kg/mm^3) = 7.93×10^{-6}

以上より,

$$\begin{aligned} A &= 850 \times 1200 \\ &= 1020000 \text{ mm}^2 \end{aligned}$$

$$\begin{aligned} m_D &= 1020000 \times 18 \times 7.93 \times 10^{-6} \\ &= 145.595 \text{ kg} \end{aligned}$$

保守的に 200 kg とする。

$$\begin{aligned} D &= 200 \times 9.80665 \\ &= 1961.33 \text{ N} \end{aligned}$$

(2) 風荷重及び積雪荷重

添付資料V-3-別添 3-1「津波への配慮が必要な施設の強度計算の方針」にて設定した荷重の組合せに基づき, 考慮しない。

(ロ) 各部の応力計算

(a-1) 蓋

常時は、蓋に応力は発生しない。

(a-2) 基礎ボルト

蓋は基礎ボルトにより、コンクリート躯体に固定される。

常時では、蓋の自重が基礎ボルトに、せん断力として作用する。

(a-2-1) 発生荷重<常時>

$$Q = m_D \cdot g / n$$

ここで、

Q : 基礎ボルト 1 本当たりのせん断力 (N/本)

m_D : 蓋の質量 (kg) = 200

g : 重力加速度 (m/s^2) = 9.80665

n : 基礎ボルト本数 = 6

以上より、

$$\begin{aligned} Q &= 200 \times 9.80665 / 6 \\ &= 326.888 \text{ N/本} \end{aligned}$$

(a-2-2) 断面性能

基礎ボルトの呼び径 (M16) $\phi = 16 \text{ mm}$

基礎ボルトの呼び径断面積 $A_m = \pi / 4 \cdot \phi^2$
 $= 201.061 \text{ mm}^2$

(a-2-3) 発生応力<常時>

基礎ボルトのせん断応力 $\sigma_s = Q / A_m$
 $= 326.888 / 201.061$
 $= 1.62581$
 $= 2 \text{ MPa}$

ロ. 溢水時

(イ) 荷重条件

(a-1) 固定荷重

蓋の自重が基礎ボルトに、せん断力として作用する。

(a-1-1) 発生荷重<溢水時>

$$Q = m_D \cdot g / n$$

ここで、

Q : 基礎ボルト 1 本当たりのせん断力 (N/本)

m_D : 蓋の質量 (kg) = 200

g : 重力加速度 (m/s^2) = 9.80665

n : 基礎ボルト本数 = 6

以上より、

$$Q = 200 \times 9.80665 / 6$$

$$= 326.888 \text{ N/本}$$

(a-2) 風荷重及び積雪荷重

添付資料 V-3-別添 3-1 「津波への配慮が必要な施設の強度計算の方針」にて設定した荷重の組合せに基づき、考慮しない。

(a-3) 溢水荷重

溢水荷重は以下のとおりとする。

$$P_h = \rho \cdot g \cdot h$$

ここで、

P_h : 溢水による静水圧荷重 (MPa)

ρ : 溢水の密度 (kg/m^3) = 1030

g : 重力加速度 (m/s^2) = 9.80665

h : 溢水水位 (m) = 8.2

以上より、

$$P_h = 1030 \times 9.80665 \times 8.2 / 10^6$$

$$= 0.0828270 \text{ MPa}$$

(ロ) 各部の応力計算

蓋に作用する溢水荷重（水平方向）は、蓋を介して基礎ボルトに伝達し、基礎ボルトを介してコンクリート躯体に伝達するものとする。

(a-1) 蓋

蓋は、蓋端間で等分布荷重を受ける両端単純支持ばりとして検討を行う。

(a-1-1) 発生荷重<溢水時>

| | |
|---------------|---|
| 溢水荷重 | $w = P_h$ $= 0.0828270 \text{ MPa}$ |
| 支点間距離 | $L = 0.85 \times 10^3 \text{ mm}$ |
| 単位幅当たり曲げモーメント | $M = w \cdot L^2/8$ $= 0.0828270 \times (0.85 \times 10^3)^2/8$ $= 7480.30 \text{ N}\cdot\text{mm}/\text{mm}$ |
| 単位幅当たりせん断力 | $Q = w \cdot L/2$ $= 0.0828270 \times 0.85 \times 10^3/2$ $= 35.2015 \text{ N}/\text{mm}$ |

(a-1-2) 断面性能

J I Sによる蓋厚の製造公差 -0.25 mm を考慮する。

| | |
|-----------------|--|
| 蓋の厚さ | $t = 18 - 0.25$ $= 17.75 \text{ mm}$ |
| 蓋の単位幅当たりの断面係数 | $Z = t^2/6$ $= 17.75^2/6$ $= 52.5104 \text{ mm}^3/\text{mm}$ |
| 蓋の単位幅当たりのせん断断面積 | $A_s = t$ $= 17.75 \text{ mm}^2/\text{mm}$ |

(a-1-3) 発生応力<溢水時>

| | |
|---------------|---|
| 単位幅当たり曲げモーメント | $M = 7480.31 \text{ N}\cdot\text{mm}/\text{mm}$ |
| 単位幅当たりせん断力 | $Q = 35.2015 \text{ N}/\text{mm}$ |
| 曲げ応力 | $\sigma_b = M/Z$ $= 7480.31/52.5104$ $= 142.454$ $= 143 \text{ MPa}$ |
| せん断応力 | $\tau = Q/A_s$ $= 35.2015/17.75$ $= 1.98318$ $= 2 \text{ MPa}$ |

組合せ応力（垂直+せん断）

$$\begin{aligned}\sigma &= \sqrt{(\sigma_b^2 + 3 \cdot \tau^2)} \\ &= \sqrt{(143^2 + 3 \times 2^2)} \\ &= 143.042 \\ &= 144 \text{ MPa}\end{aligned}$$

(a-2) 基礎ボルト

蓋に作用する溢水荷重は、蓋を介して基礎ボルトに伝達するものとする。

(a-2-1) 発生荷重<溢水時>

(a-2-1-1) 基礎ボルトに作用する引張荷重

$$\begin{aligned} \text{溢水荷重} & w = P_h \\ & P_h = 0.08282670 \text{ MPa} \\ \text{支点間距離} & L = 0.85 \times 10^3 \text{ mm} \\ \text{蓋の端部に生じる単位幅当たりのせん断力} & Q = w \cdot L/2 \\ & = 0.0828270 \times 0.85 \times 10^3 / 2 \\ & = 35.2015 \text{ N/mm} \\ \text{基礎ボルトの負担幅(mm)} & b = 450 \text{ mm} \\ \text{基礎ボルトの引張荷重} & P_{tb} = Q \cdot b \\ & = 35.2015 \times 450 \\ & = 15840.7 \text{ N} \end{aligned}$$

(a-2-1-2) 基礎ボルトに作用するせん断荷重

$$\begin{aligned} \text{蓋の質量} & m_D = 200 \text{ kg} \\ \text{基礎ボルト本数} & n = 6 \text{ 本} \\ \text{基礎ボルトに作用するせん断荷重} & Q = m_D \cdot g/n \\ & = 200 \times 9.80665 / 6 \\ & = 326.888 \text{ N/本} \end{aligned}$$

(a-2-2) 断面性能

$$\begin{aligned} \text{基礎ボルトの呼び径 (M16)} & \phi = 16 \text{ mm} \\ \text{基礎ボルトの呼び径断面積} & A_m = \pi/4 \cdot \phi^2 \\ & = 201.061 \text{ mm}^2 \end{aligned}$$

(a-2-3) 発生応力<溢水時>

$$\begin{aligned} \text{基礎ボルトの引張応力} & \sigma_t = P_{tb}/A_m \\ & = 15840.7/201.061 \\ & = 78.7855 \\ & = 79 \text{ MPa} \\ \text{基礎ボルトのせん断応力} & \tau = Q/A_m \\ & = 326.888/201.061 \\ & = 1.62581 \\ & = 2 \text{ MPa} \end{aligned}$$

(a-3) コンクリート躯体部基礎ボルト

蓋に作用する溢水荷重は、蓋を介してコンクリート躯体部基礎ボルトに伝達されるものとする。

(a-3-1) 発生荷重<溢水時>

| | |
|----------------------|---|
| コンクリート躯体部基礎ボルトの引張荷重 | $P_{tb} = 15840.7 \text{ N}$ $= 1.584 \times 10^4 \text{ N}$ |
| コンクリート躯体部基礎ボルトのせん断荷重 | $Q = 326.888 \text{ N/本}$ $= 3.269 \times 10^2 \text{ N/本}$ |

ハ. S_s 地震時

(イ) 荷重条件

(a-1) 固定荷重

固定荷重は以下のとおりとする。

$$D = m_D \cdot g$$

ここで、

D : 固定荷重 (N)

m_D : 蓋の質量 (kg)

g : 重力加速度 (m/s^2)

$$m_D = A \cdot t \cdot \rho$$

ここで、

A : 蓋の面積 (mm^2)

t : 蓋の厚さ (mm) = 18

ρ : 蓋の単位体積質量 (kg/mm^3) = 7.93×10^{-6}

以上より、

$$A = 850 \times 1200$$

$$= 1020000 \text{ mm}^2$$

$$m_D = 1020000 \times 18 \times 7.93 \times 10^{-6}$$

$$= 145.595 \text{ kg}$$

保守的に 200 kg とする。

$$D = 200 \times 9.80665$$

$$= 1961.33 \text{ N}$$

(a-2) 風荷重及び積雪荷重

添付資料V-3-別添3-1「津波への配慮が必要な施設の強度計算の方針」にて設定した荷重の組合せに基づき、考慮しない。

(a-3) S_s 地震荷重

基準地震動 S_s に伴う最大床応答加速度を表 6.9.1-13 に、応力評価に用いる S_s 地震荷重の最大静的震度を表 6.9.1-14 に示す。

震度は水平方向及び鉛直方向の最大床応答加速度を採用する。

鉛直地震荷重は、固定荷重と同じ方向の鉛直下向きの方を考慮する。

水平地震荷重は、固定質量による水平地震慣性力を考慮する。

表 6.9.1-13 基準地震動 S_s に伴う最大床応答加速度

| 基準地震動 | 水平地震動 | 鉛直地震動 | 最大床応答加速度 (Gal) | |
|------------|-------|-------|-------------------|------|
| | | | 水平方向 | 鉛直方向 |
| S_s -D1L | 正転 | 正転 | 299 | 1105 |
| | 反転 | 正転 | 280 | 1196 |
| | 正転 | 反転 | 335 | 1195 |
| | 反転 | 反転 | 247 | 1109 |
| S_s -11 | 正転 | 正転 | 250 | 1257 |
| S_s -12 | 正転 | 正転 | 265 | 1061 |
| S_s -13 | 正転 | 正転 | 273 | 993 |
| S_s -14 | 正転 | 正転 | 260 | 639 |
| S_s -21 | 正転 | 正転 | 372 | 1232 |
| S_s -22 | 正転 | 正転 | 348 | 1449 |
| S_s -31 | 正転 | 正転 | 239 | 656 |
| | 反転 | 正転 | 251 | 681 |

追而

表 6.9.1-14 応力評価に用いる S_s 地震荷重の最大静的震度

| 基準地震動 | 水平地震動 | 鉛直地震動 | 最大床応答加速度 (Gal) | | 水平震度 C_H | 鉛直震度 C_V |
|-----------|-------|-------|-------------------|------|----------------|----------------|
| | | | 水平方向 | 鉛直方向 | | |
| S_s -21 | 正転 | 正転 | 372 | 1232 | <u>0.38</u> *1 | 1.26 |
| S_s -22 | 正転 | 正転 | 348 | 1449 | 0.36 | <u>1.48</u> *1 |

注記 *1：下線部は応力評価に用いる静的震度を示す。

追而

地震荷重は以下のとおりとする。

$$W_{hk} = C_H \cdot m_D \cdot g$$

$$W_{vk} = C_V \cdot m_D \cdot g$$

$$w_{hk} = C_H \cdot m_D \cdot g / A$$

ここで、

$$C_H : \text{設計水平震度} = 0.38$$

$$C_V : \text{設計鉛直震度} = 1.48$$

$$W_{hk} : \text{水平地震荷重 (N)}$$

$$W_{vk} : \text{鉛直地震荷重 (N)}$$

$$w_{hk} : \text{水平地震等分布荷重 (MPa)}$$

$$m_D : \text{蓋の質量 (設計値) (kg)} = 200$$

$$g : \text{重力加速度 (m/s}^2\text{)} = 9.80665$$

$$A : \text{蓋の面積 (mm}^2\text{)} = 1020000$$

以上より、

$$W_{hk} = 0.38 \times 200 \times 9.80665$$

$$= 7.45305 \times 10^2 \text{ N}$$

$$W_{vk} = 1.48 \times 200 \times 9.80665$$

$$= 2.90277 \times 10^3 \text{ N}$$

$$w_{hk} = 0.38 \times 200 \times 9.80665 / 1020000$$

$$= 7.30692 \times 10^{-4} \text{ MPa}$$

(ロ) 各部の応力計算

蓋に作用する地震力（水平方向及び鉛直方向）は、蓋を介して基礎ボルトに伝達し、基礎ボルトを介してコンクリート躯体に伝達するものとする。

(a-1) 蓋

蓋は、蓋端間で等分布荷重を受ける両端単純支持ばりとして検討を行う。
蓋の鉛直地震荷重による面内応力は、発生応力が微小なため無視する。

(a-1-1) 発生荷重<S_s地震時>

$$\begin{aligned} \text{蓋に作用する水平地震等分布荷重 } w &= w_{hk} \\ &= 7.30692 \times 10^{-4} \text{ MPa} \\ \text{支点間距離 } L &= 0.85 \times 10^3 \text{ mm} \\ \text{単位幅当たり曲げモーメント } M &= w \cdot L^2/8 \\ &= 7.30692 \times 10^{-4} \times (0.85 \times 10^3)^2/8 \\ &= 65.9906 \text{ N}\cdot\text{mm}/\text{mm} \\ \text{単位幅当たりせん断力 } Q &= w \cdot L/2 \\ &= 7.30692 \times 10^{-4} \times 850/2 \\ &= 0.310544 \text{ N}/\text{mm} \end{aligned}$$

(a-1-2) 断面性能

$$\begin{aligned} \text{蓋の厚さ } t &= 18 \text{ mm} \\ \text{蓋の単位幅当たりの断面係数 } Z &= t^2/6 \\ &= 18^2/6 \\ &= 54 \text{ mm}^3/\text{mm} \\ \text{蓋の単位幅当たりのせん断断面積 } A_s &= t \\ &= 18 \text{ mm}^2/\text{mm} \end{aligned}$$

(a-1-3) 発生応力<S_s地震時>

$$\begin{aligned} \text{単位幅当たり曲げモーメント } M &= 65.9906 \text{ N}\cdot\text{mm}/\text{mm} \\ \text{単位幅当たりせん断力 } Q &= 0.310544 \text{ N}/\text{mm} \\ \text{曲げ応力 } \sigma_b &= M/Z \\ &= 65.9906/54 \\ &= 1.22205 \\ &= 2 \text{ MPa} \\ \text{せん断応力 } \tau &= Q/A_s \\ &= 0.310544/18 \\ &= 0.0172524 \\ &= 1 \text{ MPa} \end{aligned}$$

$$\begin{aligned}
\text{組合せ応力 (垂直+せん断)} \quad \sigma &= \sqrt{(\sigma_b^2 + 3 \cdot \tau^2)} \\
&= \sqrt{(2^2 + 3 \times 1^2)} \\
&= 2.64575 \\
&= 3 \text{ MPa}
\end{aligned}$$

(a-2) 基礎ボルト

蓋に作用する水平地震力及び鉛直地震力は、蓋を介して基礎ボルトに伝達するものとする。

(a-2-1) 発生荷重<S_s地震時>

(a-2-1-1) 基礎ボルトに作用する引張荷重

$$\begin{aligned}
\text{蓋の端部に生じる単位幅当たりのせん断力 } Q &= 0.310544 \text{ N/mm} \\
\text{基礎ボルトの負担幅(mm)} \quad b &= 450 \text{ mm} \\
\text{基礎ボルトの引張荷重} \quad P_{tb} &= Q \cdot b \\
&= 0.310544 \times 450 \\
&= 139.745 \text{ N}
\end{aligned}$$

(a-2-1-2) 基礎ボルトに作用するせん断荷重

$$\begin{aligned}
\text{蓋の質量} \quad m_D &= 200 \text{ kg} \\
\text{基礎ボルト本数} \quad n &= 6 \text{ 本} \\
\text{鉛直地震荷重} \quad W_{vk} &= 2.90277 \times 10^3 \text{ N} \\
\text{基礎ボルトに作用するせん断荷重} \quad Q &= (m_D \cdot g + W_{vk}) / n \\
&= (200 \times 9.80665 + 2.90277 \times 10^3) / 6 \\
&= 810.683 \text{ N/本}
\end{aligned}$$

(a-2-2) 断面性能

$$\begin{aligned}
\text{基礎ボルトの呼び径 (M16)} \quad \phi &= 16 \text{ mm} \\
\text{基礎ボルトの呼び径断面積} \quad A_m &= \pi / 4 \cdot \phi^2 \\
&= 201.061 \text{ mm}^2
\end{aligned}$$

(a-2-3) 発生応力<S_s地震時>

$$\begin{aligned}
\text{基礎ボルトの引張応力} \quad \sigma_t &= P_{tb} / A_m \\
&= 139.745 / 201.061 \\
&= 0.695037 \\
&= 1 \text{ MPa} \\
\text{基礎ボルトのせん断応力} \quad \tau &= Q / A_m \\
&= 810.683 / 201.061 \\
&= 4.03201 \\
&= 5 \text{ MPa}
\end{aligned}$$

(a-3) コンクリート躯体部基礎ボルト

蓋に作用する水平地震力及び鉛直地震力は、蓋を介して基礎ボルトに伝達し、基礎ボルトを介してコンクリート躯体に伝達されるものとする。

(a-3-1) 発生荷重<S_s地震時>

| | |
|----------------------|---|
| コンクリート躯体部基礎ボルトの引張荷重 | $P_{tb} = 139.745 \text{ N}$ $= 1.397 \times 10^2 \text{ N}$ |
| コンクリート躯体部基礎ボルトのせん断荷重 | $Q = 810.683 \text{ N/本}$ $= 8.107 \times 10^2 \text{ N/本}$ |

二. 溢水+S_d地震時

(イ) 荷重条件

(a-1) 固定荷重

固定荷重として蓋の質量を考慮する。

$$D = m_D \cdot g$$

ここで、

D : 固定荷重 (N)

m_D : 蓋の質量 (kg)

g : 重力加速度 (m/s²)

$$m_D = A \cdot t \cdot \rho$$

ここで、

A : 蓋の面積 (mm²)

t : 蓋の厚さ (mm) = 18

ρ : 蓋の単位体積質量 (kg/mm³) = 7.93 × 10⁻⁶

以上より、

$$A = 850 \times 1200$$

$$= 1020000 \text{ mm}^2$$

$$m_D = 1020000 \times 18 \times 7.93 \times 10^{-6}$$

$$= 145.595 \text{ kg}$$

保守的に 200 kg とする。

$$D = 200 \times 9.80665$$

$$= 1961.33 \text{ N}$$

(a-2) 風荷重及び積雪荷重

添付資料V-3-別添3-1「津波への配慮が必要な施設の強度計算の方針」にて設定した荷重の組合せに基づき、考慮しない。

(a-3) 溢水荷重

溢水荷重は以下のとおりとする。

$$P_h = \rho \cdot g \cdot h$$

ここで、

P_h : 溢水による静水圧荷重 (MPa)

ρ : 溢水の密度 (kg/m³) = 1030

g : 重力加速度 (m/s²) = 9.80665

h : 溢水水位 (m) = 8.2

以上より、

$$P_h = 1030 \times 9.80665 \times 8.2 / 10^6$$

$$= 0.0828270 \text{ MPa}$$

(a-4) S_d 地震荷重

弾性設計用地震動 S_d に伴う最大床応答加速度を表 6.9.1-15 に、応力評価に用いる S_d 地震荷重の最大静的震度を表 6.9.1-16 に示す。

震度は水平方向及び鉛直方向の最大床応答加速度を採用する。

鉛直地震荷重は、固定荷重と同じ方向の鉛直下向きの方を考慮する。

水平地震荷重は、固定質量による水平地震慣性力を考慮する。

表 6.9.1-15 弾性設計用地震動 S_d に伴う最大床応答加速度

| 弾性設計用地震動 | 水平地震動 | 鉛直地震動 | 最大床応答加速度 (Gal) | |
|------------|-------|-------|-------------------|------|
| | | | 水平方向 | 鉛直方向 |
| S_d -D1L | 正転 | 正転 | 183 | 514 |
| | 反転 | 正転 | 182 | 503 |
| | 正転 | 反転 | 179 | 529 |
| | 反転 | 反転 | 180 | 521 |

追而

表 6.9.1-16 応力評価に用いる S_d 地震荷重の最大静的震度

| 弾性設計用地震動 | 水平地震動 | 鉛直地震動 | 最大床応答加速度 (Gal) | | 水平震度 C_H | 鉛直震度 C_V |
|------------|-------|-------|-------------------|------|----------------|----------------|
| | | | 水平方向 | 鉛直方向 | | |
| S_d -D1L | 正転 | 正転 | 183 | 514 | <u>0.19</u> *1 | 0.53 |
| | 正転 | 反転 | 179 | 529 | 0.19 | <u>0.54</u> *1 |

注記 *1：下線部は応力評価に用いる静的震度を示す。

追而

地震荷重は以下のとおりとする。

$$W_{hk} = C_H \cdot m_D \cdot g$$

$$W_{vk} = C_V \cdot m_D \cdot g$$

$$w_{hk} = C_H \cdot m_D \cdot g / A$$

ここで、

W_{hk} ：水平地震荷重 (N)

W_{vk} ：鉛直地震荷重 (N)

w_{hk} ：水平地震等分布荷重 (MPa)

C_H ：設計水平震度 = 0.19

C_V ：設計鉛直震度 = 0.54

m_D ：蓋の質量 (設計値) (kg) = 200

g ：重力加速度 (m/s^2) = 9.80665

A ：蓋の面積 (mm^2) = 1020000

以上より,

$$\begin{aligned}W_{hk} &= 0.19 \times 200 \times 9.80665 \\ &= 3.72653 \times 10^2 \text{ N}\end{aligned}$$

$$\begin{aligned}W_{vk} &= 0.54 \times 200 \times 9.80665 \\ &= 1.05912 \times 10^3 \text{ N}\end{aligned}$$

$$\begin{aligned}w_{hk} &= 0.19 \times 200 \times 9.80665 / 1020000 \\ &= 3.65346 \times 10^{-4} \text{ MPa}\end{aligned}$$

(ロ) 各部の応力計算

蓋に作用する溢水荷重及び S_0 地震力は、蓋を介して基礎ボルトに伝達し、基礎ボルトを介してコンクリート躯体に伝達するものとする。

(a-1) 蓋

蓋は、蓋端間で等分布荷重を受ける両端単純支持ばりとして検討を行う。
蓋の鉛直地震荷重による面内応力は、発生応力が微小なため無視する。

(a-1-1) 発生荷重〈溢水+ S_0 地震時〉

$$\begin{aligned} \text{溢水荷重による水平等分布荷重} \quad w_h &= P_h \\ &= 0.0828270 \text{ MPa} \\ \text{蓋に作用する水平地震等分布荷重} \quad w_{hk} &= 3.65346 \times 10^{-4} \text{ MPa} \\ \text{蓋に作用する水平等分布荷重} \quad w &= w_h + w_{hk} \\ &= 0.0828270 + 3.65346 \times 10^{-4} \\ &= 0.0831923 \text{ MPa} \\ \text{支点間距離} \quad L &= 0.85 \times 10^3 \text{ mm} \\ \text{単位幅当たり曲げモーメント} \quad M &= w \cdot L^2 / 8 \\ &= 0.0831923 \times (0.85 \times 10^3)^2 / 8 \\ &= 7513.30 \text{ N}\cdot\text{mm}/\text{mm} \\ \text{単位幅当たりせん断力} \quad Q &= w \cdot L / 2 \\ &= 0.0831923 \times 0.85 \times 10^3 / 2 \\ &= 35.3567 \text{ N}/\text{mm} \end{aligned}$$

(a-1-2) 断面性能

J I Sによる蓋厚の製造公差 -0.25 mmを考慮する。

$$\begin{aligned} \text{蓋の厚さ} \quad t &= 18 - 0.25 \\ &= 17.75 \text{ mm} \\ \text{蓋の単位幅当たりの断面係数} \quad Z &= t^2 / 6 \\ &= 17.75^2 / 6 \\ &= 52.5104 \text{ mm}^3/\text{mm} \\ \text{蓋の単位幅当たりのせん断断面積} \quad A_s &= t \\ &= 17.75 \text{ mm}^2/\text{mm} \end{aligned}$$

(a-1-3) 発生応力<溢水+S₀地震時>

単位幅当たり曲げモーメント

$$M = 7513.30 \text{ N}\cdot\text{mm}/\text{mm}$$

単位幅当たりせん断力

$$Q = 35.3567 \text{ N}/\text{mm}$$

曲げ応力

$$\begin{aligned}\sigma_b &= M/Z \\ &= 7513.30/52.5104 \\ &= 143.082 \\ &= 144 \text{ MPa}\end{aligned}$$

せん断応力

$$\begin{aligned}\tau &= Q/A_s \\ &= 35.3567/17.75 \\ &= 1.99193 \\ &= 2 \text{ MPa}\end{aligned}$$

組合せ応力 (垂直+せん断)

$$\begin{aligned}\sigma &= \sqrt{(\sigma_b)^2 + 3 \cdot \tau^2} \\ &= \sqrt{144^2 + 3 \times 2^2} \\ &= 144.042 \\ &= 145 \text{ MPa}\end{aligned}$$

(a-2) 基礎ボルト

蓋に作用する溢水荷重及び S_d 地震力は、蓋を介して基礎ボルトに伝達するものとする。

(a-2-1) 発生荷重<溢水+ S_d 地震時>

(a-2-1-1) 基礎ボルトに作用する引張荷重

蓋の端部に生じる単位幅当たりのせん断力 $Q = 35.3567 \text{ N/mm}$

基礎ボルトの負担幅(mm) $b = 450 \text{ mm}$

基礎ボルトの引張荷重 $P_{tb} = Q \cdot b$
 $= 35.3567 \times 450$
 $= 15910.5 \text{ N}$

(a-2-1-2) 基礎ボルトに作用するせん断荷重

蓋の質量 $m_D = 200 \text{ kg}$

基礎ボルト本数 $n = 6 \text{ 本}$

鉛直地震荷重 $W_{vk} = 1.05912 \times 10^3 \text{ N}$

基礎ボルトに作用するせん断荷重

$$Q = (m_D \cdot g + W_{vk}) / n$$
$$= (200 \times 9.80665 + 1.05912 \times 10^3) / 6$$
$$= 503.408 \text{ N/本}$$

(a-2-2) 断面性能

基礎ボルトの呼び径 (M16) $\phi = 16 \text{ mm}$

基礎ボルトの呼び径断面積 $A_m = \pi / 4 \cdot \phi^2$
 $= 201.061 \text{ mm}^2$

(a-2-3) 発生応力<溢水+ S_d 地震時>

基礎ボルトの引張応力 $\sigma_t = P_{tb} / A_m$
 $= 15910.5 / 201.061$
 $= 79.1327$
 $= 80 \text{ MPa}$

基礎ボルトのせん断応力 $\tau = Q / A_m$
 $= 503.408 / 201.061$
 $= 2.50375$
 $= 3 \text{ MPa}$

(a-3) コンクリート躯体部基礎ボルト

蓋に作用する溢水荷重及び S_d 地震力は、蓋を介して基礎ボルトに伝達し、基礎ボルトを介してコンクリート躯体部に伝達されるものとする。

(a-3-1) 発生荷重<溢水+S_d地震時>

コンクリート躯体部基礎ボルトの引張荷重 $P_{tb} = 15910.5 \text{ N}$
 $= 1.591 \times 10^4 \text{ N}$

コンクリート躯体部基礎ボルトのせん断荷重 $Q = 503.408 \text{ N/本}$
 $= 5.034 \times 10^2 \text{ N/本}$

(c) 許容応力

許容応力は、常時は供用状態 A とし、溢水時、 S_s 地震時及び溢水+ S_d 地震時は、供用状態 C (許容応力状態Ⅲ_AS) として設定する。

イ. 蓋の許容応力

許容応力算定用基準値

$$\begin{aligned} F &= \min [S_y, 0.7 \cdot S_u] \\ &= \min [205, 0.7 \times 520] \\ &= \min [205, 364] \\ &= 205 \text{ MPa} \end{aligned}$$

(イ) 常時

(a-1) 許容曲げ応力

$$\begin{aligned} f_b &= F/1.5 \\ &= 205/1.5 \\ &= 136 \text{ MPa} \end{aligned}$$

(a-2) 許容せん断応力

$$\begin{aligned} f_s &= F / (1.5 \cdot \sqrt{3}) \\ &= 205 / (1.5 \times \sqrt{3}) \\ &= 78 \text{ MPa} \end{aligned}$$

(a-3) 許容引張応力

$$\begin{aligned} f_t &= F/1.5 \\ &= 205/1.5 \\ &= 136 \text{ MPa} \end{aligned}$$

(ロ) 溢水時、 S_s 地震時、溢水+ S_d 地震時

(a-1) 許容曲げ応力

$$\begin{aligned} 1.5 \cdot f_b &= (F/1.5) \cdot 1.5 \\ &= (205/1.5) \times 1.5 \\ &= 136 \times 1.5 \\ &= 204 \text{ MPa} \end{aligned}$$

(a-2) 許容せん断応力

$$\begin{aligned} 1.5 \cdot f_s &= \{F / (1.5 \cdot \sqrt{3})\} \cdot 1.5 \\ &= \{205 / (1.5 \times \sqrt{3})\} \times 1.5 \\ &= 78 \times 1.5 \\ &= 117 \text{ MPa} \end{aligned}$$

(a-3) 許容引張応力

$$\begin{aligned} 1.5 \cdot f_t &= (F/1.5) \cdot 1.5 \\ &= (205/1.5) \times 1.5 \\ &= 136 \times 1.5 \\ &= 204 \text{ MPa} \end{aligned}$$

ロ. 基礎ボルトの許容応力
設計基準強度

$$\begin{aligned} F &= \min [S_y, 0.7 \cdot S_u] \\ &= \min [205, 0.7 \times 520] \\ &= \min [205, 364] \\ &= 205 \text{ MPa} \end{aligned}$$

(イ) 常時
許容せん断応力

$$\begin{aligned} f_s &= F / (1.5 \cdot \sqrt{3}) \\ &= 205 / (1.5 \times \sqrt{3}) \\ &= 78 \text{ MPa} \end{aligned}$$

(ロ) 溢水時

(a-1) 許容引張応力

$$\begin{aligned} 1.5 \cdot f_t &= (F/2) \cdot 1.5 \\ &= (205/2) \times 1.5 \\ &= 153 \text{ MPa} \end{aligned}$$

(a-2) 許容せん断応力

$$\begin{aligned} 1.5 \cdot f_s &= \{F / (1.5 \cdot \sqrt{3})\} \cdot 1.5 \\ &= \{205 / (1.5 \times \sqrt{3})\} \times 1.5 \\ &= 78 \times 1.5 \\ &= 117 \text{ MPa} \end{aligned}$$

ハ. S_s 地震時

(a-1) 許容引張応力

$$\begin{aligned} 1.5 \cdot f_t &= (F/2) \cdot 1.5 \\ &= (205/2) \times 1.5 \\ &= 153 \text{ MPa} \end{aligned}$$

(a-2) 許容せん断応力

$$\begin{aligned} 1.5 \cdot f_s &= \{F / (1.5 \cdot \sqrt{3})\} \cdot 1.5 \\ &= \{205 / (1.5 \times \sqrt{3})\} \times 1.5 \\ &= 78 \times 1.5 \\ &= 117 \text{ MPa} \end{aligned}$$

(ニ) 溢水+ S_d 地震時

(a-1) 許容引張応力

$$\begin{aligned} 1.5 \cdot f_t &= (F/2) \cdot 1.5 \\ &= (205/2) \times 1.5 \end{aligned}$$

$$=153 \text{ MPa}$$

(a-2) 許容せん断応力

$$\begin{aligned} 1.5 \cdot f_s &= \{ F / (1.5 \cdot \sqrt{3}) \} \cdot 1.5 \\ &= \{ 205 / (1.5 \times \sqrt{3}) \} \times 1.5 \\ &= 78 \times 1.5 \\ &= 117 \text{ MPa} \end{aligned}$$

ハ. コンクリート躯体部基礎ボルトの許容力及び評価

(イ) コンクリート躯体部基礎ボルトの許容力

(a-1) 許容引張力

(a-1-1) 溢水時, S_s 地震時, 溢水+ S_d 地震時

コンクリート躯体部基礎ボルトの許容引張力は、「各種合成構造設計指針・同解説（（社）日本建築学会 2010年11月）」に基づき設定する。

コンクリート躯体部基礎ボルトの許容引張力については、コンクリート躯体部基礎ボルトの降伏により決まる場合の P_{a1} と、定着したコンクリート躯体のコーン状破壊により決まる場合の P_{a2} を比較し、値が小さい方を許容引張力として設定する。

$$P_a = \min [P_{a1}, P_{a2}]$$

ここで、

P_a : コンクリート躯体部基礎ボルトの許容引張力

P_{a1} : コンクリート躯体部基礎ボルトの降伏により決まる場合の許容引張力

$$P_{a1} = \phi_1 \cdot {}_s\sigma_{pa} \cdot {}_{sc}\alpha$$

ここで、

ϕ_1 : 低減係数（短期荷重用） = 1.0

${}_s\sigma_{pa}$: コンクリート躯体部基礎ボルトの規格降伏点強度 = 205 N/mm²

${}_{sc}\alpha$: コンクリート躯体部基礎ボルトの軸部断面積とねじ部有効断面積の小さい方の値

$$\begin{aligned} {}_{sc}\alpha &= \min [\text{軸部断面積}, \text{ねじ部有効断面積}] \\ &= \min [166, 157] \\ &= 157 \text{ mm}^2 \end{aligned}$$

よって、

$$\begin{aligned} P_{a1} &= 1.0 \times 205 \times 157 \\ &= 32185.0 \text{ N} \end{aligned}$$

P_{a2} : 定着したコンクリート躯体のコーン状破壊により定まる場合のコンクリート躯体部基礎ボルトの許容引張力 (N)

$$P_{a2} = \phi_2 \cdot {}_c\sigma_t \cdot A_c$$

ここで、

ϕ_2 : 低減係数（短期荷重用） = 2/3

${}_c\sigma_t$: コーン状破壊に対するコンクリートの引張強度

$$\begin{aligned} {}_c\sigma_t &= 0.31 \cdot \sqrt{F_c} \\ &= 1.38636 \text{ N/mm}^2 \end{aligned}$$

ここで、

F_c : コンクリートの設計基準強度 = 20 N/mm²

A_c : コーン状破壊面の有効水平投影面積 = 164000 mm²

複数本のコンクリート躯体部基礎ボルトを近接して設ける場合は重複する面積を累加しない。

へりあき，はしあき寸法による欠損面積を考慮する。

コンクリート躯体部基礎ボルトのコンクリート躯体への有効埋込み長さは次のとおりとする。

有効埋込み長さ：299 mm

コンクリート躯体部基礎ボルトの定着板の直径は次のとおりとする。

定着板の直径：製造公差-1 mm を考慮する。

$$D=48-1$$

$$=47 \text{ mm}$$

よって，

$$\begin{aligned} P_{a2} &= 2/3 \times 1.38636 \times 164000 \\ &= 151575 \text{ N} \end{aligned}$$

以上より，

$$\begin{aligned} P_a &= \min [P_{a1}, P_{a2}] \\ &= \min [32185.0, 151575] \\ &= 32185.0 \text{ N} \end{aligned}$$

(a-2) 許容せん断力

(a-2-1) 溢水時， S_s 地震時，溢水+ S_d 地震時

コンクリート躯体部基礎ボルトの許容せん断力は，「各種合成構造設計指針・同解説（（社）日本建築学会 2010年11月）」に基づき設定する。

なお，コンクリート躯体部基礎ボルトの許容せん断力については，コンクリート躯体部基礎ボルトのせん断強度により決まる場合の q_{a1} ，コンクリート躯体部基礎ボルトの定着したコンクリート躯体の支圧強度により決まる場合の q_{a2} ，及び，定着したコンクリート躯体のコーン状破壊により決まる場合の q_{a3} を比較し，値が小さい方を許容せん断力として設定する。

$$q_a = \min [q_{a1}, q_{a2}, q_{a3}]$$

ここで，

q_a : コンクリート躯体部基礎ボルトの許容せん断力

q_{a1} : コンクリート躯体部基礎ボルトのせん断強度により決まる場合の許容せん断力

$$q_{a1} = \phi_1 \cdot s \sigma_{qa} \cdot s c \alpha$$

ここで，

ϕ_1 : 低減係数（短期荷重用） = 1.0

$s \sigma_{qa}$: コンクリート躯体部基礎ボルトのせん断強度 = 143.5 N/mm²

$$\begin{aligned} {}_s\sigma_{qa} &= 0.7 \cdot {}_s\sigma_y \\ &= 0.7 \times 205 \\ &= 143.5 \text{ N/mm}^2 \end{aligned}$$

ここで、

$$\begin{aligned} {}_s\sigma_y &: \text{コンクリート躯体部基礎ボルトの規格降伏点強度} \\ {}_s\sigma_y &= 205 \text{ N/mm}^2 \end{aligned}$$

${}_{sc}\alpha$: コンクリート躯体部基礎ボルトの軸部断面積とねじ部有効断面積の小さい方の値

$$\begin{aligned} {}_{sc}\alpha &= \min [\text{軸部断面積}, \text{ねじ部有効断面積}] \\ &= \min [166, 157] \\ &= 157 \text{ mm}^2 \end{aligned}$$

よって、

$$\begin{aligned} q_{a1} &= 1.0 \times 143.5 \times 157 \\ &= 22529.5 \text{ N} \end{aligned}$$

q_{a2} : 基礎ボルトの定着したコンクリート躯体の支圧強度により決まる場合の許容せん断力

$$q_{a2} = \phi_2 \cdot {}_c\sigma_{qa} \cdot {}_{sc}\alpha$$

ここで、

$$\phi_2 : \text{低減係数 (短期荷重用)} = 2/3$$

${}_c\sigma_{qa}$: コンクリートの支圧強度

$$\begin{aligned} {}_c\sigma_{qa} &= 0.5 \cdot \sqrt{(F_c \cdot E_c)} \\ &= 339.116 \text{ N/mm}^2 \end{aligned}$$

ここで、

$$F_c : \text{コンクリートの設計基準強度} = 20 \text{ N/mm}^2$$

$$E_c : \text{コンクリートのヤング係数} = 2.3 \times 10^4 \text{ N/mm}^2$$

${}_{sc}\alpha$: コンクリート躯体部基礎ボルトの軸部断面積とねじ部有効断面積の小さい方の値

$$\begin{aligned} {}_{sc}\alpha &= \min [\text{軸部断面積}, \text{ねじ部有効断面積}] \\ &= \min [166, 157] \\ &= 157 \text{ mm}^2 \end{aligned}$$

よって、

$$\begin{aligned} q_{a2} &= 2/3 \times 339.116 \times 157 \\ &= 35494.1 \text{ N} \end{aligned}$$

q_{a3} : 定着したコンクリート躯体のコーン状破壊により決まる場合の許容せん断力

$$q_{a3} = \phi_2 \cdot {}_c\sigma_t \cdot A_{qc}$$

ここで、

$$\phi_2 : \text{低減係数 (短期荷重用)} = 2/3$$

${}_c\sigma_t$: コーン状破壊に対するコンクリートの引張強度

$${}_c\sigma_t = 0.31 \cdot \sqrt{F_c}$$

$$=1.38636 \text{ N/mm}^2$$

ここで,

$$F_c : \text{コンクリートの設計基準強度} = 20 \text{ N/mm}^2$$

A_{qc} : せん断力方向の側面におけるコーン状破壊面の有効投影面積

$$A_{qc} = 0.5 \cdot \pi \cdot c^2$$

$$= 0.5 \times \pi \times 75^2$$

$$= 8835.73 \text{ mm}^2$$

ここで,

$$c : \text{へりあき寸法 (mm)} = 75$$

よって,

$$q_{a3} = \phi \cdot c \cdot \sigma_t \cdot A_{qc}$$

$$= 2/3 \times 1.38636 \times 8835.73$$

$$= 8166.34 \text{ N}$$

以上より,

$$q_a = \min [q_{a1}, q_{a2}, q_{a3}]$$

$$= \min [22529.5, 35494.1, 8166.34]$$

$$= 8166.34 \text{ N}$$

(ロ) コンクリート躯体部基礎ボルトの評価

引張力とせん断力を同時に受けることから、組合せ荷重についての検討を行う。

$$(P/P_a)^2 + (q/q_a)^2 \leq 1$$

ここで、

P : コンクリート躯体部基礎ボルトの引張力 (N)

P_a : コンクリート躯体部基礎ボルトの許容引張力 (N)

q : コンクリート躯体部基礎ボルトのせん断力 (N)

q_a : コンクリート躯体部基礎ボルトの許容せん断力 (N)

(a-1) 溢水時

$$P = 1.584 \times 10^4 \text{ N}$$

$$P_a = 3.219 \times 10^4 \text{ N}$$

$$q = 3.269 \times 10^2 \text{ N}$$

$$q_a = 8.166 \times 10^3 \text{ N}$$

以上より、

$$\begin{aligned} & (P/P_a)^2 + (q/q_a)^2 \\ &= (1.584 \times 10^4 / 3.219 \times 10^4)^2 + (3.269 \times 10^2 / 8.166 \times 10^3)^2 \\ &= 0.2437 \leq 1 \end{aligned}$$

(a-2) S_s地震時

$$P = 1.397 \times 10^2 \text{ N}$$

$$P_a = 3.219 \times 10^4 \text{ N}$$

$$q = 8.107 \times 10^2 \text{ N}$$

$$q_a = 8.166 \times 10^3 \text{ N}$$

以上より、

$$\begin{aligned} & (P/P_a)^2 + (q/q_a)^2 \\ &= (1.397 \times 10^2 / 3.219 \times 10^4)^2 + (8.107 \times 10^2 / 8.166 \times 10^3)^2 \\ &= 0.009875 \leq 1 \end{aligned}$$

(a-3) 溢水+S_d地震時

$$P = 1.591 \times 10^4 \text{ N}$$

$$P_a = 3.219 \times 10^4 \text{ N}$$

$$q = 5.034 \times 10^2 \text{ N}$$

$$q_a = 8.166 \times 10^3 \text{ N}$$

以上より、

$$\begin{aligned} & (P/P_a)^2 + (q/q_a)^2 \\ &= (1.591 \times 10^4 / 3.219 \times 10^4)^2 + (5.034 \times 10^2 / 8.166 \times 10^3)^2 \\ &= 0.2481 \leq 1 \end{aligned}$$

(c) 応力評価結果

イ. 常時

常時の評価結果を表 6.9.1-17 に示す。

表 6.9.1-17 常時の応力評価結果

| 部位 | 評価応力 | 発生応力 (MPa) | 許容応力 (MPa) | 判定 発生応力 ≤ 許容応力 |
|-------|------|---------------|---------------|-------------------|
| 基礎ボルト | せん断 | 2 | 78 | OK |

ロ. 溢水時

溢水時の評価結果を表 6.9.1-18 及び表 6.9.1-19 に示す。

表 6.9.1-18 溢水時の応力評価結果（蓋，基礎ボルト）

| 部位 | 評価応力 | 発生応力 (MPa) | 許容応力 (MPa) | 判定 発生応力 ≤ 許容応力 |
|-------|-------|---------------|---------------|-------------------|
| 蓋 | 曲げ | 143 | 204 | OK |
| | せん断 | 2 | 117 | OK |
| | 組合せ*1 | 144 | 204 | OK |
| 基礎ボルト | 引張 | 79 | 153 | OK |
| | せん断 | 2 | 117 | OK |

注記 *1：曲げとせん断の組合せである。

表 6.9.1-19 溢水時の評価結果（コンクリート躯体部基礎ボルト）

| 部位 | 評価力 | 発生力*3 (N) | 許容力*4 (N) | 比*1 (-) | 判定 ≤1 |
|----------------|-------|---------------------|---------------------|------------|----------|
| コンクリート躯体部基礎ボルト | 引張 | 1.584×10^4 | 3.219×10^4 | 0.4921 | OK |
| | せん断 | 3.269×10^2 | 8.166×10^3 | 0.04003 | OK |
| | 組合せ*2 | 0.2437 | 1 | 0.2437 | OK |

注記 *1：比＝発生力/許容力である。

*2：引張とせん断の組合せである。

*3：組合せは、(引張力比)²+ (せん断力比)²の値である。

*4：組合せは、(引張力比)²+ (せん断力比)²の値が1以下であることの確認。

ハ. S_s地震時

S_s地震時の評価結果を表 6.9.1-20 及び表 6.9.1-21 に示す。

表 6.9.1-20 S_s地震時の応力評価結果（蓋，基礎ボルト）

| 部位 | 評価応力 | 発生応力 (MPa) | 許容応力 (MPa) | 判定 発生応力 ≤ 許容応力 |
|-------|-------|---------------|---------------|-------------------|
| 蓋 | 曲げ | 2 | 204 | OK |
| | せん断 | 1 | 117 | OK |
| | 組合せ*1 | 3 | 204 | OK |
| 基礎ボルト | 引張 | 1 | 153 | OK |
| | せん断 | 5 | 117 | OK |

注記 *1：曲げとせん断の組合せである。

追而

表 6.9.1-21 S_s地震時の評価結果（コンクリート躯体部基礎ボルト）

| 部位 | 評価力 | 発生力*3 (N) | 許容力*4 (N) | 比*1 (-) | 判定 ≤ 1 |
|----------------|-------|---------------------|---------------------|------------|-----------|
| コンクリート躯体部基礎ボルト | 引張 | 1.397×10^2 | 3.219×10^4 | 0.004340 | OK |
| | せん断 | 8.107×10^2 | 8.166×10^3 | 0.09928 | OK |
| | 組合せ*2 | 0.009875 | 1 | 0.009875 | OK |

注記 *1：比＝発生力/許容力である。

*2：引張とせん断の組合せである。

*3：組合せは、(引張力比)² + (せん断力比)²の値である。

*4：組合せは、(引張力比)² + (せん断力比)²の値が1以下であることの確認。

追而

二. 溢水+S_d地震時

溢水+S_d地震時の評価結果を表 6.9.1-22 及び表 6.9.1-23 に示す。

表 6.9.1-22 溢水+S_d地震時の応力評価結果 (蓋, 基礎ボルト)

| 部位 | 評価応力 | 発生応力 (MPa) | 許容応力 (MPa) | 判定 発生応力 ≤ 許容応力 |
|-------|-------|---------------|---------------|-------------------|
| 蓋 | 曲げ | 144 | 204 | OK |
| | せん断 | 2 | 117 | OK |
| | 組合せ*1 | 145 | 204 | OK |
| 基礎ボルト | 引張 | 80 | 153 | OK |
| | せん断 | 3 | 117 | OK |

注記 *1: 曲げとせん断の組合せである。

追而

表 6.9.1-23 溢水+S_d地震時の評価結果 (コンクリート躯体部基礎ボルト)

| 部位 | 評価力 | 発生力*3 (N) | 許容力*4 (N) | 比*1 (-) | 判定 ≤1 |
|----------------|-------|-------------------------|-------------------------|------------|----------|
| コンクリート躯体部基礎ボルト | 引張 | 1.591 × 10 ⁴ | 3.219 × 10 ⁴ | 0.4943 | OK |
| | せん断 | 5.034 × 10 ² | 8.166 × 10 ³ | 0.06165 | OK |
| | 組合せ*2 | 0.2481 | 1 | 0.2481 | OK |

注記 *1: 比=発生力/許容力である。

*2: 引張とせん断の組合せである。

*3: 組合せは、(引張力比)²+ (せん断力比)²の値である。

*4: 組合せは、(引張力比)²+ (せん断力比)²の値が1以下であることの確認。

追而

- k. 海水ポンプグラウンドドレン排出口逆止弁の設計に関する補足説明
追而

- l. 取水ピット空気抜き配管逆止弁の設計に関する補足説明
追而

- m. 緊急用海水ポンプグラウンドドレン排出口逆止弁の設計に関する補足説明
追而

- n. 緊急用海水ポンプ室床ドレン排出口逆止弁の設計に関する補足説明
追而

- o. 貫通部止水処置の設計に関する補足説明
追而

- p. 水密扉の設計に関する補足説明
追而